



الجمهورية العربية السورية
وزارة التعليم العالي والبحث العلمي
جامعة حماة
كلية الطب البيطري
قسم التشريح المرضي

التغيرات التشريحية المرضية الناتجة عن التذيفن الدموي المعوي المسبب بالمطثية الحاطمة عند أغنام العواس

رسالة أعدت لنيل درجة الماجستير في العلوم الطبية البيطرية
اختصاص التشريح المرضي

إعداد طالبة الدراسات العليا

الدكتورة البيطرية

لولو غالب شعيرة

الهيئة العامة للبحوث العلمية الزراعية

بإشراف:

د. أشرف الصالح

(مشرفاً مشاركاً)

مدرس في قسم الأحياء الدقيقة
كلية الطب البيطري - جامعة حماة

د. واصف الوسوف

(مشرفاً علمياً)

أستاذ مساعد في قسم التشريح المرضي
كلية الطب البيطري - جامعة حماة

١٤٤٦ م - ٢٠٢٥ هـ



الأستاذ الدكتور عميد كلية الطب البيطري

بعد الاطلاع على الأطروحة المعدلة من رسالة الماجستير المقدمة من قبل المرشحة لنيل درجة الماجستير في العلوم الطبية البيطرية الطبية طالبة الدراسات العليا لولو شعيرة في قسم التشريح المرضي اختصاص (التشريح المرضي) بعنوان:

/ التغيرات التشريحية المرضية الناتجة عن التذيفن الدموي المعاوي المسبب بالمطثية الحاطمة عند
أغنام العواس /

نفيدكم بأن الأطروحة بشكلها الحالي قد استوفت التعديلات التي أشارت لها لجنة الحكم والمناقشة التي عقدت يوم الاثنين بتاريخ 20/1/2025 لمناقشة الرسالة، ونعتبر أن الرسالة بهذه الصورة جاهزة للطباعة بشكلها النهائي.

2025 /

يرجى الاطلاع

وتفضلوا بقبول فائق الاحترام والتقدير

رئيس اللجنة

أ. د. سامر إبراهيم

عضو

أ. د. وديع شديد

عضو

أ.م. د. واصف الوسوف

رئيس قسم التشريح المرضي

أ.م. د. واصف الوسوف

مصدق





قرار لجنة الحكم والمناقشة

استناداً إلى قرار مجلس الشؤون العلمية رقم (62) المتخد بالجلسة رقم (4) للعام الدراسي 2024/2025 الممعقدة بتاريخ /3/ جمادى الأولى / 1446هـ الموافق 2024/11/5 م القاضى بتشكيل لجنة الحكم والمناقشة لرسالة الماجستير للطالبة **لولو شعيره** بعنوان:

/ التغيرات التشريحية المرضية الناتجة عن التقديف الدموي المعيوي المسبب بالملوثية العاطمة عند
اغدام العواص /

وبعد عرض الرسالة ومرداتها ومناقشتها، اجتمعت لجنة الحكم والمناقشة بتاريخ 20/1/2025 وبعد المداوله
قررت اللجنة ترشيح طالبة الدراسات العليا **لولو شعيره** لlevel درجة الماجستير في العلوم الطبية البيطرية -
اختصاص (التشريح المرضي) بقدر عام (جيد جداً) وبدرجة (75.21) .
وتوصي اللجنة بصرف تكاليف طباعة الأطروحة على نفقة الجامعة نظراً للجهد الذي بذلتة الطالبة والتكاليف
التي تكبدتها إضافة إلى تناولها موضوعاً حساساً من الناحية الاقتصادية في القطر .

التوفيق

أعضاء اللجنة:

أ. د. سامر ابراهيم
اختصاص تشخيص مخبرى
كلية الطب البيطري - جامعة حماة

أ. د. دينيس شداد
اختصاص التشريح المرضي
كلية الطب البيطري - جامعة حماة

أ.م.د. واصف الوسوف
اختصاص تشريح مرضي
كلية الطب البيطري - جامعة حماة

شُكْر وَتَقْدِيرٌ

بسم الله والحمد والشكر لله العلي القدير الذي أسبغ نعمه ظاهره وباطنه، والذي شرح بنوره الصدور وأقر بفضلاته العيون، الحمد لله في البدء على ما كان في البدء، والحمد لله على ما أتم فبلغت بفضلاته حسن مختتم.

وإنني لأشكر والدي من بعد شكري لله لما أتبع فريضة عبادته بأن تتخذ بالوالدين إحساناً.

والصلوة والسلام على من بعثه هادياً ومبشراً ونذيراً داعياً إلى الحق بإذنه وسراجاً منيراً.

وإنني أستدرك على ما سبق فأقدم الشكر إلى السيد العميد الأستاذ الدكتور عبد الكريم قلب اللوز والنائب العلمي الدكتور عبد الكريم حلاق، وكذا الشكر موصول إلى الأساتذة الأفاضل أعضاء الهيئة التدريسية في كلية الطب البيطري والسادة المشرفين على البحث الدكتور واصف الوسوف والدكتور أشرف الصالح والدكتور عماد الحوراني.

كما يوازي ذلك خالص الشكر والتقدير إلى الهيئة العامة للبحوث العلمية الزراعية ممثلةً بالسيد المدير العام الدكتور أسامة العبد الله.

ثم أخص بالشكر أعضاء لجنة الحكم والمناقشة كلّ باسمه وكلّ بمقامه:

الأستاذ الدكتور سامر إبراهيم اختصاص التشخيص المخبري في كلية الطب البيطري - جامعة حماة. رئيساً

الأستاذ الدكتور وديع شديد اختصاص التشريح المرضي عميد كلية الطب البيطري فرع درعا. جامعة دمشق. عضواً

الأستاذ المساعد واصف الوسوف اختصاص التشريح المرضي رئيس قسم التشريح المرضي في كلية الطب البيطري في جامعة حماة. مشرفاً وعضوأ

إمداد

مع خالص الامتنان وفائق الاحترام والتقدير أهدي هذا العمل إلى من قدم لي العون والمساندة وكان الكف

النابت الذي لا يُهين، وهو أشخاص كثيرون أضافت لي حسرة، وكثيرون دفعوا ثمنها على طول مسيرتي البحثية.

وهم من كل بستان زهرة.

إلى عائلتي الكريمة وعلى رأسها والدي العزيز المحب الفاضل الأستاذ غالب شعيره أطال الله في عمره وأسieux عليه

من فاسع فضله.

إلى كلية الطب السطري وعميد الكلية الأستاذ الدكتور عبد الكريم قلب اللوز حفظه الله ورفع درجاته.

إلى الهيئة العامة للبحوث العلمية الزراعية

شهادة

أشهد بأن العمل الموصوف في هذه الأطروحة هو نتاج بحث قام به المرشح طالبة

الدراسات العليا الطبية البيطرية في الهيئة العامة للبحوث العلمية الزراعية لولو غالب

ثورة إنشاء مزرعة زراعية في قرية التلبيسي - البصرى - إقليم البصرى - المحافظات - العراق

تصریح

**أصرح بأن هذا البحث الموسوم بعنوان:
التغيرات التشريحية المرضية الناتجة عن التذيفن الدموي المعاوي المسبب**

**لم يسبق أن قبل للحصول على أي شهادة ولا هو مقدم حالياً للحصول على
شهادة أخرى.**

**المرشح
لولو شعيرة**

DECLARATION

**It is hereby declared that this work under title:
"Histopathological Changes Resulting from Enterotoxemia
Caused by *Clostridium perfringens* in Awssi sheep"
has not already been accepted for any degree, nor is being
submitted concurrently for any other degree.**

Candidate

إلى كلية الطب البيطري

مقدمه : مديحة محمد جمال صوي الحاصلة على درجة الإجازة في اللغة العربية وأدابها وذلك
بنتيجة امتحانات العام الدراسي 2014-2015 أود إعلامكم أنني قد أتممت تدقيق بحث
الماجستير العائد لطالبة الماجستير لولو شعيرة الموسوم بعنوان:
التغيرات التشريحية المرضية الناتجة عن التذيفن الدموي المعاوي المسبب بالمطثية الحاطمة عند
أغنام العواس

يرجى الاطلاع

مقدمه:

مديحة صوي



فهرس المحتويات

الموضوع	الصفحة
الغلاف	i
قرار لجنة الحكم والمناقشة بجاهزية الأطروحة بعد التعديلات المطلوبة	ii
قرار لجنة الحكم والمناقشة بنيل درجة الماجستير	iii
شكر وتقدير	iv
إهداء	v
شهادة	vi
تصريح	vii
كتاب اللغة العربية	viii
فهرس المحتويات	xiii
فهرس الصور	xv
فهرس الجداول	xvi
فهرس المخططات	xvii
الملخص باللغة العربية	xviii
- المقدمة	1
- أهداف البحث	2
- الدراسة المرجعية	5
- لمحة تاريخية عن المرض	6
- تاريخ تسمية المطثيات	6
- العوامل المهيئه للإصابة بمرض التذيفن الدموي المعوي	6
- العامل المسبب لمرض التذيفن الدموي المعوي	8
- تصنیف المطثيات	8
- أنواع الممرضات الكبرى ضمن جنس المطثيات	10
- الصفات الرئيسية للمطثية الحاطمة	11
- عيوشية المطثية الحاطمة	12
- الخواص الجينية للمطثية الحاطمة	13
- ذيقات المطثية الحاطمة	14
- الذيفان ألفا	14
- الذيفان بيتا	15

15	3-8-2- الذيفان إبسيلون
15	4-8-2- الذيفان أيوتا
16	5-8-2- الذيفان المعوي
16	6-8-2- الذيفان بيتا2
16	7-8-2- الذيفان ثيتا
17	9-2- عوامل الفوعة للمطية الحاطمة
17	1-9-2- ذيفان كابا
17	2-9-2- ذيفان لامبدا
18	3-9-2- ذيفان NetB
18	4-9-2- ذيفان Tpel
18	5-9-2- ذيفان ميو
18	6-9-2- ذيفان نيو
18	7-9-2- ذيفان السياليداز
18	8-9-2- ذيفان الكلوستربين والكولاجيناز
19	10-2- السرالية والحوالم والنواقل للمطية الحاطمة
20	11-2- الآلية الإمبراضية لجراثيم المطية الحاطمة ودورها في الإصابة بمرض التذيفن الدموي المعوي
21	12-2- العلامات الأكلينيكية والصفات التشريحية العيانية والنسيجية لأنماط المطية الحاطمة عند أغنام العواس
21	1-12-2- التذيفن الدموي المعوي من النمط A
23	2-12-2- التذيفن الدموي المعوي من النمط B
23	3-12-2- التذيفن الدموي المعوي من النمط C
25	4-12-2- التذيفن الدموي المعوي من النمط D
28	5-12-2- التذيفن الدموي المعوي من النمط E
28	6-12-2- التذيفن الدموي المعوي من النمط F
28	7-12-2- التذيفن الدموي المعوي من النمط G
29	13-2- التشخيص
29	1-13-2- الأعراض الأكلينيكية والصفة التشريحية
30	2-13-2- تشخيص ردود الفعل الالتهابية الخلوية

32	13-2- وجود الخلايا البدنية في الأنسجة
34	3- مواد وطرائق البحث
35	1-3- المواد
35	1-1-3- بيئة العمل
35	2-1-3- الأغnam المدرسة
36	3-1-3- المواد المستخدمة في الفحص الجرثومي
36	1-3-1-3- المنايات المستخدمة في الفحص الجرثومي
36	1-1-3-1-3- وسط الثيوغليكولات
37	2-1-3-1-3- وسط SPS
37	3-1-3-1-3- وسط الآغار الدموي
37	4-1-3-1-3- وسط ماء البeton
37	5-1-3-1-3- المواد والوسائل المستخدمة في الاختبارات الكيمياحيوجية
37	3-2-3-1-3- الصبغات المستخدمة في الفحص الجرثومي
37	1-2-3-1-3- صبغة غرام
38	2-2-3-1-3- صبغة راكت
38	4-1-3- المواد المستخدمة في العمل المخبري النسيجي
38	1-4-1-3- المحاليل اللازمة للعمل المخبري النسيجي
38	1-1-4-1-3- الفورمالين
38	2-1-4-1-3- كحول إيتيلي مطلق
38	3-1-4-1-3- الزايلول
38	2-4-1-3- شمع البرافين
38	3-4-1-3- صبغة الهيماتوكسيلين
38	4-4-1-3- صبغة الأيوزين
39	5-4-1-3- صبغة أزرق التلودين
39	2-3- طرائق
39	2-1-3- طرائق العمل للفحص الجرثومي
39	1-1-2-3- طريقة أخذ العينات
40	2-1-2-3- المسحات المباشرة
40	2-1-2-3- تحضير الأوساط الزرعية المستخدمة في الفحص الجرثومي

40	1-3-1-2-3- تحضير وسط ماء البeton
40	2-3-1-2-3- تحضير وسط الشيوغليكولات
40	3-3-1-2-3- تحضير وسط الآغار الدموي
41	4-3-1-2-3- تحضير وسط SPS
41	4-1-2-3- تحضير الأوساط والمواد اللازمة للاختبارات البيوكيميائية
41	1-4-1-2-3- اختبار الكاتالاز
41	2-4-1-2-3- اختبار الأوكسيداز
41	3-4-1-2-3- اختبار الإندول
41	4-4-1-2-3- اختبار تخمر السكاكر
41	5-1-2-3- إجراءات زرع وعزل المطثية الحاطمة
44	1-5-1-2-3- دراسة الخواص الشكلية والتلوينية
45	2-5-1-2-3- دراسة الخواص البيوكيميائية لمستعمرات المطثية الحاطمة المعزولة
46	2-2-3- طرائق فحص التغيرات التشريحية المرضية
46	2-2-3- الأعراض الأكلينيكية والصفات العيانية
46	2-2-3- تحضير المقاطع النسيجية للفحص النسيجي
49	3-3- التحليل الاحصائي
50	4- النتائج
51	1-4- نتائج العزل الجريئومي
53	1-1-4- نتائج التحليل الاحصائي للعزل الجريئومي
54	2-4- العلامات الأكلينيكية التي ظهرت على الأغنام المصابة
54	2-2-4- التغيرات التشريحية المرضية العيانية الخارجية
55	2-2-4- الوصف التشريحي العياني لأغنام الشاهد السليم
55	2-2-4- الصفات التشريحية المرضية العيانية الداخلية للأغنام المصابة
62	3-4- نتائج التغيرات التشريحية المرضية النسيجية المجهرية
62	3-4-1- الوصف التشريحي والعياني للعينات في مجموعة أغنام الشاهد
62	3-4-2- وجود الخلايا الالتهابية والخلايا البدنية في المقاطع النسيجية لأغنام الشاهد
62	3-4-2- نتائج التغيرات التشريحية المرضية النسيجية للأغنام المصابة
62	3-4-2-1- نتائج التغيرات التشريحية المرضية في نسيج الأمعاء
63	1-1-2-3-4- ردود الفعل الالتهابية الخلوية في نسيج الأمعاء

67	- وجود الخلايا البدنية في نسيج الأمعاء
67	- التغيرات التشريحية المرضية النسيجية في الكبد
68	- ردود الفعل الالتهابية في نسيج الكبد
70	- وجود الخلايا البدنية في نسيج الكبد
71	- التغيرات التشريحية المرضية النسيجية في الكلية
71	- ردود الفعل الالتهابية الخلوية في نسيج الكلية
74	- وجود الخلايا البدنية في نسيج الكلية
75	- نتائج التحليل الاحصائي النسيجي في الأعضاء المدروسة
78	- المناقشة
89	- الاستنتاجات
91	- التوصيات والمقترنات
93	- المراجع
102	الملخص باللغة الإنكليزية

فهرس الصور

الصفحة	عنوان الصورة
31	1-2- صورة توضيحية للخلايا المحببة والخلايا وحيدة النواة
31	2- الخلايا الالتهابية في الكبد عند الأغنام
32	3-2- مقطع نسيجي-الخلايا البلعمية في الكبد
32	4-2- الاثني عشر عند الأغنام-خلايا التهابية مختلفة
43	1-3- مغلفات الزرع اللاهوائي-أنابيب الثيوغليوكولات-التحضين اللاهوائي
44	2- تحضير أطباق الآغار المدمى
44	3- تحضير أطباق وسط SPS
45	4-3- الزرع والتنتقية
47	5-3- العينات المثبتة في الفورمالين
48	6-3- تمرير العينات في الكحول والزيلول
48	7-3- الإدماج بشمع البرافين
48	8-3- صبغة أزرق التلودين
52	1-4- مستعمرات رمادية على وسط SPS
52	2-4- تحلل دموي ثانى النطاق على الآغار الدموي
52	3-4- مستعمرات المطثية الحاطمة سلبية الأوكسييداز
52	4-4- عصيات المطثية الحاطمة إيجابية الغرام
53	5-4- اختبار تخمر السكاكر
55	6-4- نزف دموي من الأنف والفم عند الأغنام المصابة
55	7-4- الصفات التشريحية العيانية لأغنام الشاهد
61-60-59	8-4- التغيرات التشريحية المرضية العيانية للأغنام المصابة
64	9-4- احتقان الأوعية الدموية المعاوية
64	10-4- تنكس مائي في نسيج معوي
64	11-4- تآكل في الزغابات المعاوية- نخر في الأمعاء
64	12-4- نخر في الأمعاء -لطخ باير
65	13-4- وجود كثيف للخلايا العدلة في نسيج معوي
65	14-4- خلايا التهابية في نسيج معوي
66	15-4- خلايا التهابية-تنكس بروتيني في نسيج معوي

67	16- خلية بدينة في نسيج أمعاء شاهد
67	17- خلايا بدينة في نسيج أمعاء لأنعام مصابة
69	18- احتقان الجيوبات الكبدية - تغوط الأنوية
69	19- تنكس بروتيني في الكبد
69	20- تورم غيمي - تنكس فجوي - تنكس دهني في الكبد
69	21- نخر في خلايا الكبد
70	22- خلايا التهابية-تنكس-احتقان في الخلايا الكبدية
70	23- خلايا التهابية السائد عليها العدلات-تنكس دهني في الكبد
70	24- خلية بدينة في نسيج الكبد-شاهد
70	25- الخلايا البدنية في نسيج الكبد لأنعام نافق
72	26- احتقان - تغوط الأنوية في نسيج الكلية
72	27- تنكس مائي فجوي في ظهارة النبيبات الكلوية
72	28- خضاب الدم في لمعة الأنابيب الكلوية والأوعية الدموية الكلوية
72	29- نخر في بطانة النبيبات الكلوية
72	30- احتقان شديد-نزف شديد-نخر شديد-خضاب الدم في لمعة النبيبات الكلوية
73	31- خلايا التهابية في نسيج الكلية لأنعام مصابة
73	32- وجود كثيف للعدلات في وعاء دموي في الكلية
73	33- نخر في الكلية مع وجود كثيف للعدلات
73	34- نخر - اتساع في فراغ بومان-وجود كثيف للعدلات
74	35- خلية بدينة في نسيج الكلية-شاهد
74	36- خلايا بدينة في نسيج الكلية-أغنام مصابة
88	1- تظهر خلية قاعدية إلى جانب خلية بدينة بصبغة أزرق التلودين

فهرس الجداول

عنوان الجدول	الصفحة
2-1- الأنواع الخمس الأكثر خطورة من الممرضات الكبرى من جنس المطثيات	11
2-2- الظيفانات الأكثر أهمية في التأثير الإمراضي لجرائم المطثية الحاطمة	17
2-3- عوامل الفوعة الأكثر أهمية لبعض ذراري المطثية الحاطمة	19
3-1- الحالات المشتبهة المدروسة وجنسها وعمرها وزنها وشهر النفوق ولقاح الحاطمة	36
3-2- الاختبارات الكيميابحوية للمطثية الحاطمة	43
4-1- نتائج الفحص الجريئي للعينات من الشاهد والعينات من الأغنام المشتبهة	51
4-2- التغيرات التشريحية المرضية العيانية في الأغنام المشتبهة	57-56
4-3- أنواع الخلايا الالتهابية في مقاطع نسيج الأمعاء للأغنام المصابة	63
4-3- أنواع الخلايا الالتهابية في مقاطع نسيج الكبد للأغنام المصابة	68
4-3- أنواع الخلايا الالتهابية في مقاطع نسيج الكلية للأغنام المصابة	71

محتوى المخطط

عنوان المخطط	الصفحة
١-٤- النتائج الإحصائية للزرع الجرثومي	54
٢-٤- النتائج الإحصائية للتغيرات المرضية العيانية	75
٣-٤- النتائج الإحصائية للتغيرات المرضية العيانية	75
٤-٤- النتائج الإحصائية لوجود الخلايا الالتهابية والتنكس والنخر في الأمعاء	76
٥-٤- النتائج الإحصائية لوجود الخلايا الالتهابية والتنكس والنخر في الكبد	76
٦-٤- النتائج الإحصائية لوجود الخلايا الالتهابية والتنكس والنخر في الكلية	77
٧-٤- النتائج الإحصائية لوجود الخلايا البدنية في الأنسجة المدروسة	77

التغيرات التشريحية المرضية الناتجة عن التذيفن الدموي المعيدي المسبب بالمطثية الحاطمة عند أغنام العواس

الملخص:

يُعد مرض التذيفن الدموي المعيدي المسبب بجراثيم المطثية الحاطمة أحد أهم الأمراض المعدية التي تصيب قطعان الأغنام وبخاصة الأغنام في سوريا وهو يسبب خسائر اقتصادية فادحة نتيجة النفوق المفاجئ للأغنام وارتفاع تكاليف الوقاية والسيطرة، ومن هنا كان هذا البحث الذي هدف إلى دراسة التغيرات التشريحية المرضية العيانية والمجهرية وردود الفعل الالتهابية الناتجة عن الاصابة بجراثيم المطثية الحاطمة عند أغنام العواس المدرosa.

جمعت العينات من (16) رأس من الأغنام الناقفة بشكل مفاجئ من قطعات التربية المحسنة في مركز البحوث العلمية الزراعية بحماة ضمن نظام تربية شبه مكتبة في حظائر نصف مفتوحة، واستكملت الدراسة في جامعة حماة- كلية الطب البيطري.

تم عزل وتحديد هوية جراثيم المطثية الحاطمة من جميع العينات المأخوذة من الحالات الناقفة المشتبهة بالمرض، وقد أظهرت الحالات المدرosa أعراضًا إكلينيكيةً كان أهمها الاختلاجات العصبية والانفلونزا على الأرض والدفع بالقوائم الأربع للأمام والرأس إلى الخلف. كما لوحظ صفات تشريحية مرضية عيانيةً كان أهمها التهاب الأمعاء النخري والتزفي، وامتلاء الحويصل الصفراوي واحتقان الأعضاء الداخلية، وقد لوحظ نزف على الكبد والكليتين والقلب وأعضاء أخرى، كما لوحظ شحوب الكبد والكليتين وهشاشة في قوامها، وسوائل مصلية إلى دموية في تجاويف الجسم في أغلب الحالات، كما وجدت الكليتين بلون قاتم بقואم عجيني رخو (الكليية الرخوة) في بعض الحالات. سجلت التغيرات التشريحية المرضية المجهرية في الأمعاء والكبد والكليتين، حيث وجد تأكل في الطبقات النسيجية للأمعاء وتنكس فجوي وبروتيني في خلايا الأنسجة المدرosa، كما وجد نخر في بطانة النبيات الكلوية، ولوحظ في المقاطع النسيجية للكبد احتقان الجيوبات الكبدية والأوردة المركزية ونزف في بعض الحالات. شوهد في جميع العينات ارتشاح شديد للخلايا الالتهابية السائد عليها الخلايا العدلات، بالإضافة إلى وجود بعض البلاعم في بعض الحالات وبعض الخلايا المصورية في بعضها الآخر وبعض المفاويات في أخرى. كما لوحظ وجود كثيف لخلايا التهابية متعددة تحت محفظة الكلية، وتنكس ونخر في بطانة النبيات والجيوبات الكلوية مع وجود كثيف للعدلات، والتهاب في النسيج الخلالي الكلوي مع تجمعات لخلايا التهابية من عدلات وحمضات ولمفاويات وبلاعم. كما وجد تنكس ونخر في الخلايا الكبدية مع كثافة لخلايا العدلة والمصورية في بعض الحالات، وقد ترافق مع كثافة في الخلايا العدلة كثافة الخلايا البلعمية في أخرى، ووجود كثيف للعدلات في أشباه الجيوب الكبدية وبعض الخلايا المصورية في أخرى، كما لوحظ تنكس مع وجود لخلايا التهابية السائد عليها العدلات مع بعض الحمضات والبلاعم في أخرى. لوحظ زيادة الخلايا البدينية بالإضافة إلى ما سبق، حيث وجد زيادة في أعدادها التي تراوحت ما بين 2 إلى 70 خلية في المقطع النسيجي الواحد من العينات المأخوذة من الحالات الناقفة.

تبين هذه النتائج أهمية دراسة الصفات التشريحية العيائية والنسيجية في تشخيص الإصابة بالتدفين الدموي المعوي بالإضافة إلى إجراء الفحص الجرثومي للتأكد من هوية المسبب وملحوظة الأعراض الظاهرة قبل النفوق.

الكلمات المفتاحية: التغيرات التشريحية المرضية، ردود الفعل الالتهابية، التدفين الدموي المعوي، أغذام العواس، المطشية الحاطمة.

المقدمة

Introduction

1- المقدمة :Introduction

يتمتع قطاع الانتاج الحيواني بأهمية مميزة في الاقتصاد السوري حيث يسهم بشكل كبير في الناتج الوطني ويعد أحد الدعامات الأساسية في الاكتفاء الذاتي لما يؤديه من دور أساسي في توفير المواد الغذائية للمجتمع السكاني سواء من الحليب أو اللحوم حيث يتراوح عدد سكان سوريا / 28525333 / نسمة، حسب المكتب المركزي للإحصاء (28/11/2023).

تعد تربية الأغنام والأبقار والماعز عماد الانتاج الحيواني في سوريا حيث تم احصاء أكثر من 17847163 / رأس من الأغنام وأكثر من 1190000 / رأس من الماعز في سوريا وذلك في عام 2022 (المجموعة الإحصائية لعام 2022_ وزارة الزراعة (2022)).

إنّ من أهم العوامل التي تعيق تطور الثروة الحيوانية هي الأمراض المعدية وما تسببه من خسائر اقتصادية كبيرة نتيجة النفوق وانخفاض كفاءة الإنتاج، كما تساهم أدوات السيطرة ومعالجة الأمراض في زيادة تلك الخسائر (Senthilkumar et al., 2008) ويعد مرض التذيفن الدموي المعوي Enterotoxemia Clostridial المسبب للفاجئ والتي تصيب قطعان الأغنام والماعز محدثة خسائر اقتصادية كبيرة سواء بارتفاع تكاليف العلاج والسيطرة والوقاية أو بمعدل النفوق المرتفع والذي قد يصل إلى 100% في الحالات الحادة للمرض (Songer, 2006).

تسبب جراثيم المطية الحاطمة *Clostridium perfringens* مرض التذيفن الدموي المعوي وما تفرزه من ذيفانات خارجية، حيث تمتلك جراثيم المطية الحاطمة سبع أنماط مصلية وهي (A, B, C, D, E, F, G) وبدورها تفرز العديد من الذيفانات الخارجية والأنزيمات والتي تعدّ أهم عوامل إمراضيتها، حيث يرتبط الذيفان ألفا *Clostridium Alpha toxin* تفرزه المطية الحاطمة من النّمط A ومن جميع الأنماط مع الأمراض المعدية للإنسان والعديد من الحيوانات الثديّة، كما يسبب الذيفان بيتا *Clostridium Beta toxin* والذيفان إبسيلون *Clostridium Epsilon toxin* تفرزهما المطية الحاطمة من النّمط Bالتهاب الأمعاء التّخري التّرقي عند الأغنام في أغلب الحالات، إلا أنه قد بيّنت بعض الدراسات أن هذه الأنماط قد تتسبّب في مرض التّصلّب المتعدد لدى الإنسان.

ويسبّب الذيفان (CPA) والذيفان (CPB) المفرزان من النّمط C التهاب الأمعاء التّخري عند الإنسان وعنده الحيوانات، في حين تترافق الذراي من النّمط D الذيفانات (CPA)، (CPB) (ETX) تسمم الدّم المعوي عند الأغنام والماعز والماشية، ولكن من غير المثبت أنها تسبّب مرضًا لدى البشر.

كما يعمل الذيفان أيوتا (ITX) الذي يفرزه النّمط E بالإضافة إلى الذيفان ألفا بالتنسب في مرض التّذيفن الدّموي المعوي عند العجول والأرانب، والتهاب القولون عند الخيول والتهاب الأمعاء التّخري عند الخنازير.

أما النّمط F الذي يُدرس حديثاً فيفرز الذيفان ألفا (CPA) والذيفان المعوي (CPE) ويسبّب التسمم الغذائي عند الإنسان.

كما يفرز النمط G الذيفان (NetB) بالإضافة إلى الذيفان ألفا (CPA) ويسبب التهاب الأمعاء التّخري لدى الطيور، إلا أنه لم يثبت ارتباطه بالإصابة لدى البشر (Uzal *et al.*, 2019; Johansson, 2006).

تصيب هذه الجراثيم جميع أنواع الحيوانات، كما يتسبّب النمط F بالإصابة لدى الإنسان، ويرتبط كل نمط منها بمتلازمات مرضية محددة ترتبط بشكل مباشر أو غير مباشر بنوع الذيفانات التي تنتجه، تتصف الأعراض الإكلينيكية ببداية مفاجئة ونسبة نفوق مرتفعة حيث تظهر على الأغنام المصابة الارتجاف والاستنقاء على الأرض والدفع بالأرجل والرأس إلى الخلف ونخر في الغشاء المخاطي للأمعاء ونضح لسوائل التهابية في تجاويف الجسم. (Navarro and Uzal, 2020; Fleming, 1985). تحدث المطثية الخطيرة إصابات عند الإنسان من خلال إفرازها للذيفانات المسيبة التّخري، حيث تفرز ذيفانات معوية enterotoxin في لحظة التبوغ والتي يمكن أن تؤدي إلى حدوث الأمراض المتفولة بالغذاء foodborne disease عند الإنسان (Uzal *et al.*, 2019; Shimizu *et al.*, 2002). أما عند الأغنام فينشأ تذيفن الدم المعوي المطثي Clostridial Enterotoxemia في الأمعاء، يتّصف بأنه مرض تسممي حاد مميت يصيب الأغنام في جميع الأعمار (الحملان الرّضيعة، حملان التّسنين، الأغنام البالغة)، ويُتّصف بالنّفوق المفاجئ (Simpson *et al.*, 2017; Jubb, 1993) ويظهر المرض بعدة أشكال اعتماداً على الأنماط المصالية الخمسة الشائعة للجرثوم المسبب في الأغنام وهي: تذيفن الدم المعوي أو مرض الحمل الأصفر Lamb Dysentery Yellow Lamb Disease (النمط A)، مرض زحار الحملان (النمط B)، مرض الضربة أو الصدمة Shock (النمط C)، ومرض الكلية الرخوة Kidney Overeating Disease (النمط D) أو ما يسمى بمرض التخمة (Navarro and McClane, 2001). Uzal, 2020)

تنتشر المطثيات بشكل واسع في التربة والماء وفي الرواسب البحرية Marine وهي تعد من النبات الطبيعي المتعايش في الأمعاء، وهي عصيات إيجابية الغرام Gram Positive كبيرة الحجم متبوّجة والأبواغ بيضاوية الشكل حجمها أكبر من حجم العصية الأم وتوضعها تحت نهائى Subterminal مسبيّة انتفاخ الخلية الأم، غير متحركة، مغلفة بمحفظة مكونة من عيد سكريد، تحتاج هذه الجراثيم حتى تنمو لظرف لا هوائية ولمنابت غنية (Quinn *et al.*, 2003; McClane, 2001).

نظراً لانتشار العيد من أنواع جراثيم المطثيات في البيئة وكثبيّت جرثومي طبيعي متعايش وانتهازي في أماء البشر وكذلك الحيوانات فإن الإصابة بأمراض المطثيات تمثل تهديداً مستمراً، وكون مرض التذيفن الدموي المعوي من الأمراض المستوطنة والذي يهدّد قطعان الأغنام وخاصة في نظم التربية المكثفة... لذلك أجريت هذه الدراسة على الأغنام العواس بهدف دراسة التغيرات التّشريحية المرضية والآفات النسيجية في الناتجة عن التذيفن الدموي المعوي عند أغنام العواس والتي تخضع لنظام التربية (شبه مكثفة) في حظائر نصف مفتوحة، بغية الوصول إلى العلامات

التشخيصية للمرض ليتسنى دراسة الحلول الناجعة للحد من هذا المرض عند هذه السلالة من الأغنام.

2-1 أهداف البحث:

- 1- عزل وتحديد هوية العامل المسبب من عينات أخذت من أغنام ناقفة ومشتبه بإصابتها بالتدفيف الدموي المعوي.
- 2- دراسة التغيرات التشريحية المرضية في العينات من الأمعاء والكبد والكلية من الأغنام المشتبه.
- 3- دراسة ردود الفعل الالتهابية والخلايا البدنية في العينات من الأغنام المشتبه.

الدراسات المرجعية

Literature review

2- الدراسة المرجعية Literature Review

2-1- لمحّة تاريخية عن المرض :History

ذكر الباحث McGinley، 1998 بأن المطثيّة الحاطمة ترتبط بالكثير من الأمراض الحيوانية والبشرية والانسماں Intoxication مثل تذيفن الدم المعوي في الحيوانات والأكال أو الموات الغازي في البشر، حيث اعتقد أثناء الحرب العالمية الأولى أن مئات الآلاف من الجنود ماتت بسبب الموات الغازي كنتيجة لإصابات ساحة المعركة.

تعتبر المطثيّات من منظور تطوري أولى الجراثيم الموجودة على كوكب الأرض حيث أنه قبل حوالي 2.7 مليون سنة وقبل التكون الأولي للأوكسجين ظهرت المطثيّات كصنف بارز (Johansson, 2006; Kubo and Watas, 1985).

وُجِدَت عزلات المطثيّة الحاطمة في العينات المأخوذة من القناة المعوية لرجل الثلج تايرولين Tyrolean Iceman الذي عاش قبل أكثر من 5000 سنة (Cano *et al.*, 2000).

تارِيخياً يعود الفضل إلى العالم بولنجر Bollinger عام 1875 كونه أول من وصف أحد أنواع المطثيّات المرضيّة وهي المطثيّة الشوفويّة *C. chauvoei*. ثم توالى توصيف الأنواع الأخرى، بينما لم توصّف المطثيّة الحالّة للدم وتُميّز إلا من قبل العالم فاوتر Vawter عام 1926 (Johansson, 2006; Niilo, 1988).

2-2- تاريخ تسمية المطثيّات:

المطثيّات كلمة إغريقية بمعنى المغزليات الصغيرة (Titbal *et al.*, 2003).

وقد عرفت المطثيّة الحاطمة في المؤلفات القديمة بالعصوبية المرياحية المحفوظة *Bacillus aerognes* حيث قام بعزلها العالم الأمريكي Welch في عام 1892م على شكل عصيّات إيجابيّة الغرام من الجروح النّخّرة من البشر، ثمّ سميت لاحقاً بالعصوبية الحاطمة *C. welchii*، كما سميت بعد ذلك بالمطثيّة الولشية *Bacillus perfringens* نسبة لمكتشفها العالم ويليام ويلش William Welch من الجروح الغنغربيّة (Johansson, 2006).

2-3- العوامل المهيأة للإصابة بمرض التذيفن الدموي المعوي Enterotoxemia

يساعد في حدوث الإصابة بالتذيفن الدموي المعوي عدد من العوامل الهامة منها البيئيّة أو التربويّة Husbandry مثل التغييرات الفجائيّة في العليقة والتخصّة Overeating والشهّر Voracity على غذاء ذو نسبة بروتين عالية وغني بالطاقة، غالباً ما تتعرّض الأغنام للإصابة بجميع الأعمار الأمر الذي يسبّب النّفوق، ويحدث النّفوق عادة لدى الأغنام التي تستهلك كميات كبيرة من الكربوهيدرات أو نسبة عالية منها في العليقة فيعمل ذلك على التسبّب في تباطؤ حركة الأمعاء Peristalsis وبالتالي عدم هضم جيد للكربوهيدرات وركود

مكونات الأمعاء مع جراثيم المطثية الحاطمة المتعايشة في الأمعاء الغليظة Larg Intestine في الحيوانات السّوية animal و توفير الوسط الغني لنمو وتكاثر تلك الجراثيم، وتستمر المطثية الحاطمة في النّمو بشكل سريع ومفرط Overgrowth ما يعمل على انتشارها Spill باتجاه الأعلى إلى الأمعاء الدقيقة بالترافق مع إنتاج كميات كبيرة من الذيفانات وبالتالي امتصاصها إلى الدم ونتيجة ذلك يحدث تذيفن الدم المعوي (Nazki *et al.*, 2021; Quinn *et al.*, 2003)

كما أنَّ الأغذام المعتمدة في غذائهما على نظام الرّعي المتنقل الأمر الذي يعرضها للإصابة بالمرض بدرجة كبيرة وبشكل خاص عندما تكون المراعي خصبة وكذلك عند الإسراف في الرّعي أو تغيير المراعي بشكل فجائي، أو تغيير العلقة بشكل مفاجئ (Van Metre, 2006)، كما أنَّ هناك عوامل أخرى تتبع إلى المواليد الحديثة حيث يتاخر لديها بيولوجياً إفراز أنزيمات التربسين من البنكرياس، وذلك بهدف تكويني الغرض منه المحافظة على الأضداد التي يتناولها الحمل الرّضيع مع السرسوب، إلا أنَّ الجانب الآخر لتلك الظاهرة هو أنهما تعمل بذلك على الحفاظ على البنية الجزيئية البروتينية للذيفانات من التفكك باستثناء الذيفان Epsilon فهو بخلاف الذيفانات الأخرى يحتاج إلى التربسين لتنشيطه، وبآلية مشابهة فإن السرسوب الذي تتناوله الحملان من أمهاتها يحتوي على مواد مثبطة للتربسين (Kimberley *et al.*, 2020).

وقد صُنِّفَ كـWomen وأخرون العوامل المهيأة للإصابة بالتذيفن الدموي المعوي إلى ثلاثة أقسام رئيسية (Quinn *et al.*, 2003):

A- غياب الفاعلية الأنزيمية المحللة لأنزيمات أو انخفاض في مستوياتها في أمعاء الحيوانات حديثة الولادة ويرجع ذلك إلى:

1- عدم نضوج غدة البنكرياس لإفراز الأنزيمات وبشكل خاص أنزيمات التربسين والبروتيازات.

2- رضاعة هذه المواليد السرسوب وما يحتويه من مثبطة التربسين Inhibiter Trypsin

B- عدم التوازن في البيئة الميكروبوبية (الفلورا المعوية) للجراثيم المتعايشة في معى الحيوانات حديثة الولادة.

C- بما يخص الحيوانات البالغة منها فتتضمن العوامل الغذائية ما يلي:

- 1- الإفراط في تناول علقة غنية بالطاقة أو البروتين.
- 2- بطء في الحركة المعوية عند تناول كميات كبيرة من الغذاء كنتيجة للشره والتتخمة.
- 3- التغيير المفاجئ إلى المراعي الخصبة أو التغيير المفاجئ إلى علقة مركزة.

ومن العوامل المهيأة الأخرى انخفاض الكفاءة المناعية الطبيعية بعد الشفاء من المرض، أو الإصابة بأمراض تؤدي إلى تباطؤ في الحركة المعوية، أو عوامل الإجهاد أو العدوى الطفيلي

الشديدة للسائل المعوي عند الأغذام مثل الديدان الأسطوانية والأكريات (Coccidia, Nematoda)

4-2 العامل المسبب :Etiology

أشارت الكثير من الدراسات إلى أن المطثية الحاطمة تسبب مرضًا معويًا يسمى تذيفن الدم المعوي الذي يربك القائمين على قطuan الأغذام والماشية والأطباء البيطريين حول العالم، ومنهم الباحث (McGinley, 1998) وقد ذكر بأن المطثية الحاطمة ترتبط بالكثير من الأمراض الحيوانية والبشرية وأمراض التسمم مثل تذيفن الدم المعوي، كما تسبب في حدوث حالات التسمم الغذائي عند الإنسان بسبب قدرتها على إنتاج الديفان المعوي (McClane et al., 2000) Enterotoxin.

كما تسبب هذه الجراثيم أمراضًا معوية بشرية غير محمولة على الغذاء مثل الإسهال (McClane, 2001).

وقد صنفت تقارير مراكز مراقبة السيطرة ومنع المرض المطثية الحاطمة كأحد أبرز المسببات شيوعاً للمرض المحمولة على الغذاء في الولايات المتحدة الأمريكية (Smedley et al., 2004).

تعتبر جراثيم المطثية الحاطمة نوع من جنس المطثيات (*Clostridium* genus) حيث يضم هذا الجنس عصيات لاهوائية، إيجابية الغرام، متبوّغة، توجد في البيئة وفي القناة المعوية للبشر والحيوانات الأليفة والبرية.

توجد معظم أنواع المطثيات كجراثيم رمية في الطبيعة غير ممرضة في الحيوانات والنباتات.

4-1-2- تصنيف المطثيات :Clostridium Phylogeny and taxonomy

يضم جنس المطثيات *Clostridium* حاليًا 209 نوع موصوف بشكله النظامي (Kiu et al., 2023; Johansson, 2006)

ويتنتمي جنس المطثيات Genus *Clostridium* إلى:

Phylum: Firmicutes

Class: Clostridia

Order: Clostridiales

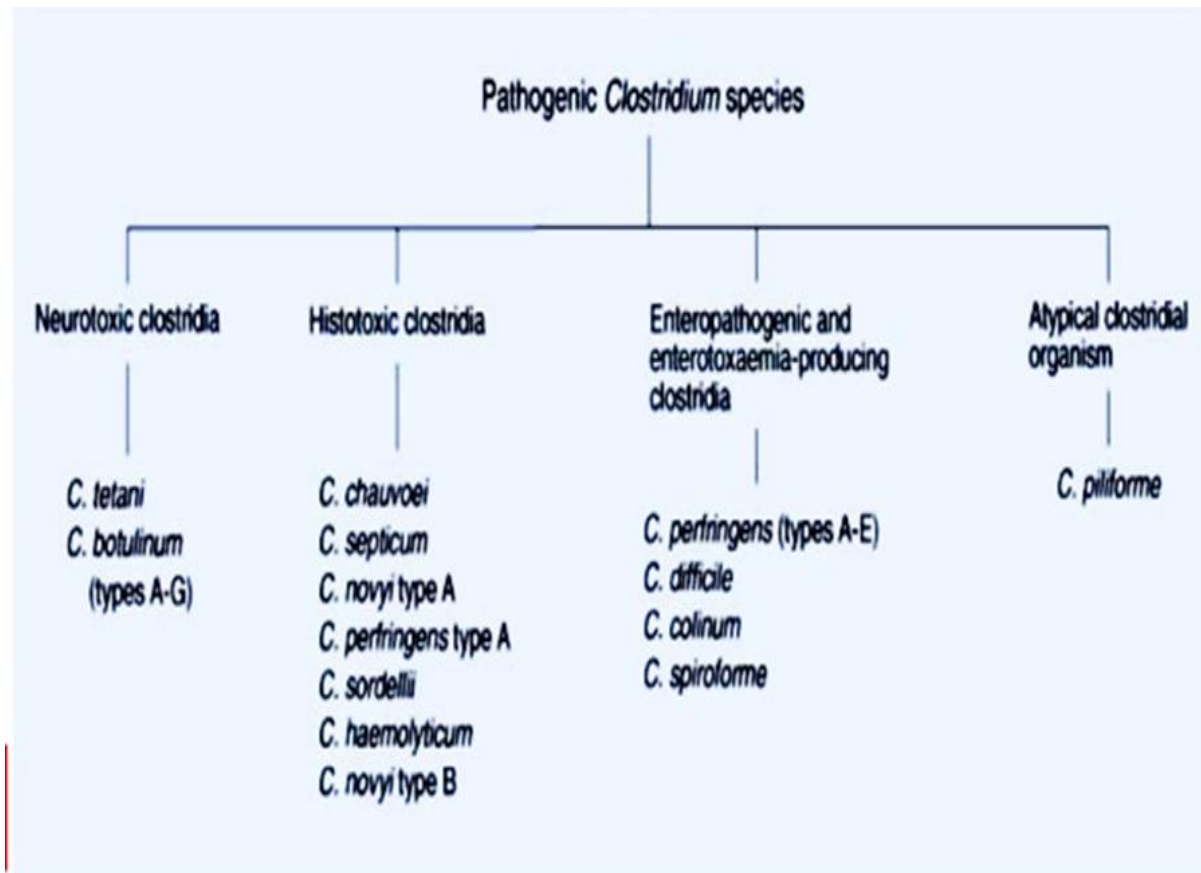
Family: Clostridiaceae

Genus: *Clostridium*

Species: *perfringens*

تعد المطثية الحاطمة من أهم الأنواع والتي تضم 7 أنماط مصلية وهي (A,B,C,D,E,F,G)، والتي تسبب طيفاً واسعاً من الأمراض عند الإنسان والحيوانات (Navarro and Uzal, 2020; Browne *et al.*, 2007).

تحدث المرضيات الرئيسية والممرضيات الصغرى الأمراض اعتماداً على قدرتها على إفراز الذيفانات التي تشمل ذيفانات معوية، وذيفانات عصبية، وذيفانات نسيجية، وذيفانات مميتة.



(Kiu *et al.*, 2023)

اعتمد في تصنيف جنس المطثية على سلسلة مورث rDNA كما هو موصوف بحسب العديد من الدراسات (Stackebrandt and Rainey, 1997; Stackebrandt *et al.*, 1999; Colline *et al.*, 1994).

C. absonum, *C. argentines*, *C. baratii*, *C. beijerinckii*, *C. bife-rmentans*, *C. butyricum*, *C. cadaveris*, *C. camis*, *C. clostridia-forme*, *C. fallax*, *C. going*, *C. glycolicom*, *C. hastiforme*, *C. indolis*, *C. innocuum*, *C. irregular*, *C. limosum*, *C. maleno-minatum*, *C. paraputrificum*, *C. ramosum*, *C. sphenoides*, *C. sporogenes*, *C. subterminale*, *C. symbiosum* and *C. tertium*.

كما يوجد 13 نوعاً آخر تصنف من المرضات الرئيسية Major pathogens، التي تنتج حوالي 59 نوعاً من الديفانات الجرثومية المختلفة، وهي:

2-4-2- أنواع الممرضات الكبرى ضمن جنس المطثيات :*Clostridium* spp.

تسبّب الديفانات المختلفة التي تنتجه المطثيات العديد من الأمراض لدى البشر وعند أنواع مختلفة من الحيوانات، من بينها 5 أنواع من المطثيات الأكثر شهرة كما هي موضحة في الجدول (2-1)، وهي: (*C. botulinum*, *C. tetani*, *C. perfringens*, *C. difficile* and *C. chauvoei*)

جدول (2-1) الأنواع الخمس الأكثر خطورة من الممرضات الكبرى من جنس المطثيات (Quinn *et al.*, 1994; Johansson, 2006)

العوائل	الأمراض التي تسببها	تأثير الديفان	الذيفانات التي تفرزها	نوع المطثية
المجررات والخيول والطيور واللواحم والخنازير والأسماك، نادراً لدى البشر.	شلل عصبي رخو	شلل عصبي	الديفان الوسيقي (BoNT)	الوسيقية <i>Botulinum</i>
الفئران والخيول، والإنسان	من أقوى الذيفانات- مميت	عصبي تام تحفيزي	ذيفان الكراز (TeNT)	
الخيول وبشكل أقل الحيوانات العاشرة ونادراً اللواحم، والإنسان 1000,000 - 800,000 سنويًّا	مرض الكراز- شلل تشنجي	عصبي تام تحفيزي	ذيفان الكراز (TeNT)	الكرازية <i>Titani</i>
الخيول وبعض الحيوانات والإنسان	الإسهال المرتبط بالعلاج بالمضادات الحيوية	الإسهال الإفرازي وتلف الغشاء المخاطي للأمعاء والتهاب القولون الغشائي	الديفان المعوي (toxin A)	العصيرية <i>Difficil</i>
	التهاب القولون الدفتريائي الكاذب	الكاف	الديفان السام للخلايا (toxin B)	
الأبقار والأغنام وغيرها من الحيوانات الأخرى	القائمة السوداء Blackleg	تموت العضلات	ألفا الناشر 'alpha بيتا	شوفاي <i>Chauvoei</i>
البشر والحيوانات	تدفيف دموي	حال للخلايا	alpha	الحاطمة <i>Perfringens</i>
البشر والحيوانات	تدفيف دموي	نخر الأغشية المخاطية	beta	
البشر والحيوانات	تحلل الكريات الحمر	حال للخلايا	theta	
الأغنام	تدفيف الدمقاتل	ناشر ومميت	Epsilon	
الأغنام، العجل، الأرانب	تدفيف الدم	ناخر للخلايا البطانية	iota	
الخنازير، الخيول	إسهال	ناخر للخلايا	² beta ²	
الحملان، العجل، الأرانب	إسهال	نخر الموصلات الخلوية	ذيفان معوي	
الدواجن	التهاب أمعاء نخري	ناخر للخلايا	(NetB) Beta	

5-2. الصفات الرئيسية للمطثية الحاطمة Basic Characteristics for *C. perfringens*

جراثيم إيجابية الغرام Gram Positive لاهوائية شكل عصيات كبيرة نسبياً $2.4 \times 1.3-9.0$ ميكرون متباينة والأبواغ بيضاوية Oval شبه طرفية Subterminal تسبيب انتفاخ الخلية الأم، متحملة للهواء Aero motile، غير متحركة Non tolerant، مغافنة بمحفظة مكونة من (Quinn *et al.*, 2003; McClane, 2001). Polysaccharide Capsule عيد سكريد

تشكل مستعمرات مستديرة ملساء لامعة على الأوساط المغذية، وتحيط بها منطقة تحل دموي ثبائي Double-Zone Hemolysis، منطقة تحل دموي كامل داخلية بفعل الـ*ذيفان ثيتا-theta*-toxin، ومنطقة تحل جزئي خارجيّة ناجمة عن تأثير الـ*ذيفان ألفا Alpha-toxin* على آغار دم الأغذام Blood Agar، تصنف المطثية الحاطمة على أنها جراثيم لا هوائية وأحياناً تنمو بوجود الأوكسجين (دقيقة الهواء).

تستطيع النمو بدرجة حرارة تتراوح بين 12-50°C، تنمو بشكل بطيء عندما تنخفض درجة الحرارة دون 20°C، بينما تنمو في ظروف مثالية عند الحرارة ما بين (43-47)°C بنشاط عالي مع زمن تضاعف time generation سريع يقدر بـ 8-10 دقائق لكل جيل بالترافق مع إنتاج وفيه للغاز، ولها القدرة لتكون محورة جينياً (Quinn *et al.*, 2003).

يتطلب نمو المطثية الحاطمة 13 حمضًا أمينيًّا أساسياً، تتراوح درجة PH الوسط لنمو الحاطمة بين 5-8 درجة الشاط المائي water activity بين (0.93-0.97)، تستطيع الحاطمة العيش في ظروف قاسية ويرجع ذلك إلى قدرتها على التمايز من خلايا إنباتيّة vegetative cells إلى أبواغ كامنة ذات مقاومة عالية، وما تمتلك الأبواغ الجرثوميّة من صفات مقاومة كونها أكثر أنواع الخلايا البيولوجية المعروفة مقاومةً للحرارة والجفاف والحموض والعديد من المطهرات الكيميائيّة (Simpson *et al.*, 2017; Kiu *et al.*, 2023).

6-2- عيوشية المطثية الحاطمة Survival of *C. perfringens*

توجد جراثيم المطثية الحاطمة في البيئة بشكل شائع، وفي الفناء المعموي للبشر والحيوانات الأليفة والبرية والكائنات الحية الممرضة، وقد تكون من مصدر خارجي Exogenous Source، إلا أنه غالباً ما تكون داخلية المنشأ، وتمثل الجراثيم الأكثر عزلًا والمسبب الأكثر أهمية للأمراض المطثية في الحيوانات الأليفة (Songer, 2006).

كما قد توجد في البيئات القاسية على شكل جراثيم شديدة مقاومة لدرجات الحرارة المنخفضة أو المرتفعة، والضغط الأسموزي، والمواد الحافظة والكيميائية، ودرجات PH مرتفعة أو منخفضة عن الدرجة المثلثة.

وقد أبدت ذراري المطثية الحاطمة التي تحوي البلازميدات *cpb1*, *cpb2*, *etx* الحاملة للجينات استقراراً عند التعرض بشكل متكرر للأوكسجين في المختبر (Johansson, 2006).

وظهر جراثيم الحاطمة مقاومة شديدة عند تخزينها مثلاً في درجات حرارة منخفضة من 4 إلى -20 درجة مئوية في المجمدات لمدة 6-3 أشهر (Gohari *et al.*, 2021).

كما ظهر الأبواغ مقاومة شديدة ضد المواد الحافظة مثل الترتير وتغييرات الضغط الأسموزي ودرجات PH المتفاوتة والمواد الكيميائية والأشعة فوق البنفسجية ودرجات الحرارة المرتفعة جداً أو المنخفضة جداً (Gohari *et al.*, 2021).

7-2- الخواص الجينية للمطثية الحاطمة :Genetic Properties of C.P

عند مقارنة جينوم المطثية الحاطمة مع جينوم نوع آخر من جراثيم المطثيات الغير ممرضة مثل المطثية الأسيتوبوتيلية *Acetobutylicum*. يلاحظ الفرق الواضح بما يتعلق بالجينات المرمرة لفوعة الإمبراقيّة virulence-associated genes حيث أنها توجد في الحاطمة وغير موجودة في الأخرى، وقد وجد Kiu وزملاؤه العديد من الجينات المرتبطة بالفوعة بالإضافة إلى جينات الفوعة المعروفة في جينوم المطثية الحاطمة. (Shimizu *et al.*, 2002; Kiu *et al.*, 2023).

وقد تم التعرف على الجينوم genome الكامل للمطثية الحاطمة في عام 2002 الذريّة 13 (strain 13)، حيث يتكون كروموسوم chromosome المطثية الحاطمة (13) من منطقة لتشغير البروتين و10 جينات للرنا rRNA genes (3.031.430 زوج من القواعد الأزوتية و 2660). تتميز المطثية الحاطمة بأنها المموج الأوضاع للدراسات الوراثيّة بالنسبة لأنواع المطثيّة الأخرى المنتجة للذيفانات بسبب تحملها للأوكسجين وبسبب خاصيّة معدل النمو المرتفع وإمكانية التداول الوراثي Genetic manipulation.

(Shimizu *et al.*, 2002)

يظهر التسلسل الخاص بمجين الذريّة 13 (strain 13) للمطثية الحاطمة أن الجينات المسؤولة عن الفوعة virulence genes غير متجمعة في الجزر الإمبراقيّة pathogenicity islands، حيث يمكن اكتشاف عدد قليل فقط من العناصر الجينية المحمولة mobile genetic elements، وإن علامات الجينات المكتسبة أفقياً horizontally acquired genes بالكاد يمكن كشفها في جينوم المطثية الحاطمة (Johansson, 2006).

وبحسب ذلك فمن المتوقع أن نماذج الذيفانات المختلفة للمطثية الحاطمة قد تطورت من النمط A (type A) عن طريق الحصول على عناصر وراثيّة خارج الصبغي مثل البلازميدات plasmids أو الينقولات transposons (Johansson, 2006).

حيث تقع الجينات التي ترمّز الذيفان ألفا والذيفان بيّا على الصبغي، وتقع العديد من الجينات التي ترمّز الذيفانات الأخرى على البلازميدات الكبيرة large plasmids، وإن جين الذيفان المعوي (cpe) يمكن أن يوجد إما في الصبغيات أو مرمزًا على البلازميدات plasmid encoded، وقد وجد أن هذا الجين يقع على الصبغي في عزلات التسمم الغذائي، وقد وجد أيضًا أن عزلات أمراض الجهاز الهضمي للتسمم غير الغذائي عند البشر والعزلات من مصادر حيوانيّة كانت تحمل جين (cpe) على الصبغيات الكبيرة (Kiu *et al.*, 2023).

يتم التعبير Expression عن الذيفان ألفا والذيفان وبيتا عن طريق نظام نقل الإشارة الثنائي VirR /VirS ويكون هذا النظام من عنصرين: استشعار هستدين كيناز VirS وعنصر الرد VirR حيث يحدث التنظيم على مستوى النسخ كما وإن وجود الطفرات قد يغيّر من إنتاج كلٍّ منها (Lee and Lillehoj., 2021).

8-2- ذيفانات المطثية الحاطمة *Clostridium perfringens* toxins

أشار عدد من الباحثين إلى أن جراثيم المطثية الحاطمة تفرز ما يقارب 17-18 ذيفان خارجي Exotoxins، لكن البعض منها فقط يمتلك دور رئيس في التسبب بالمرض (Songer *et al.*, 2006).

الدور الرئيس للذيفانات بالإضافة إلى الأنزيمات التي تفرزها المطثية هو تكثيـك أنسجة المضـيف المختلفة والعمل على تحـلـلـها إلى جـزيـئـاتـها الأولـيـة من الأـحـمـاضـ الأمـيـنـيـةـ الـاـسـاسـيـةـ الـلـازـمـةـ لـنـموـهـاـ وـتـكـاثـرـهـاـ وـتـكـوـيـنـ خـلـاـيـاـ جـرـثـومـيـةـ جـدـيـدةـ فـهـيـ تـقـنـقـرـ إـلـىـ الـآـلـيـةـ الـمـوـرـبـيـةـ الـلـازـمـةـ لـإـنـتـاجـهـاـ،ـ كـمـاـ يـتـمـ توـفـيرـ الطـاقـةـ لـتـكـاثـرـ الجـرـاثـيمـ عـنـ طـرـيقـ الـمـوـادـ السـكـرـيـةـ النـاتـجـةـ مـنـ تـحلـلـ الـأـنـسـجـةـ أوـ مـنـ مـحـتوـيـ الـعـلـيـقـةـ (Lee and Lillehoj., 2021; Shimizu *et al.*, 2002).

تصـنـفـ المـطـثـيـةـ الـحـاطـمـةـ إـلـىـ خـمـسـةـ أـنـمـاطـ رـئـيـسـيـةـ (A,B,C,D and E)ـ وـذـلـكـ بـحـسـبـ قـدـرـتـهـاـ عـلـىـ إـنـتـاجـ أـرـبـعـةـ ذـيـفـانـاتـ رـئـيـسـيـةـ (alpha, beta, epsilon, and iota)ـ وـقـدـ تـبـيـنـ ذـلـكـ عـنـ طـرـيقـ اـخـتـبـارـاتـ التـعـادـلـ فـيـ الـفـئـرانـ وـخـنـازـيرـ غـيـنـيـاـ،ـ تـعـدـ الـأـنـمـاطـ (A, B, C, D)ـ هـيـ الـمـسـؤـولـةـ عـنـ الإـصـابـةـ بـالـتـذـيفـنـ الدـمـوـيـ الـمـعـوـيـ عـنـدـ الـأـغـنـامـ فـيـ جـمـيعـ الـأـعـمـارـ (Songer, 1996; Uzal *et al.*, 2019).

تعـتـبـرـ الـذـيـفـانـاتـ الـتـيـ تـفـرـزـهـاـ الـمـطـثـيـةـ الـحـاطـمـةـ ذاتـ سـمـيـةـ عـالـيـةـ وـنـشـاطـهـاـ مـمـيـتـ غالـبـاـ،ـ كـمـاـ تـصـنـفـ بـتـوـعـهـاـ وـتـعـدـدـهـاـ وـاـخـتـلـافـ خـصـائـصـهـاـ مـاـ يـصـعـبـ السـيـطـرـةـ وـالـوقـاـيـةـ وـالـعـلاـجـ،ـ الـأـمـرـ الـذـيـ تـتـفـرـدـ بـهـ جـرـاثـيمـ الـمـطـثـيـةـ الـحـاطـمـةـ.

وـبـيـنـ الـجـدـولـ (2-2)ـ الـذـيـفـانـاتـ الـأـكـثـرـ أـهـمـيـةـ الـتـيـ تـسـبـبـ الإـصـابـةـ بـمـرـضـ التـذـيفـنـ الدـمـوـيـ الـمـعـوـيـ.

2-1- الذيفان الفا :Alpha Toxin

ذـيـفـانـ مـتـعـدـدـ الـوـظـائـفـ يـنـتـجـ بـكـمـيـاتـ مـقـاـوـنـةـ مـنـ عـزـلـاتـ الـمـطـثـيـةـ الـحـاطـمـةـ تـكـمـنـ آـلـيـةـ عـلـهـ بـتـأـثـيرـهـ فـيـ حـلـمـهـةـ الـدـهـونـ الـفـوسـفـاتـيـةـ لـأـغـشـيـةـ الـخـلـاـيـاـ الـمـخـتـلـفـةـ مـاـ يـؤـدـيـ إـلـىـ تـحلـلـ الـأـغـشـيـةـ الـخـلـوـيـةـ وـبـالـتـالـيـ تـفـجـيـ الـخـلـيـةـ وـتـوـسـفـ لـحـطـامـ خـلـويـ كـبـيرـ فـيـ وـقـتـ قـصـيرـ (Titball *et al.*, 2003; Hussein, 2013).

وـهـوـ ذـيـفـانـ قـاتـلـ رـئـيـسيـ تـفـرـزـهـاـ الـمـطـثـيـةـ وـمـنـ كـلـ الـأـنـمـاطـ،ـ يـعـتـرـرـ أـوـلـ ذـيـفـانـ جـرـثـومـيـ تـمـ تـشـخـصـ طـرـيقـةـ عـلـهـ الـبـيـولـوـجـيـةـ عـلـىـ الـمـسـتـوـيـ الـجـزـئـيـ (Titball *et al.*, 2003)،ـ وـهـوـ عـبـارـةـ عـنـ أـنـزـيمـ الـلـيـسيـثـينـازـ Lecithinaseـ وـلـهـ تـأـثـيرـ الـفـوسـفـولـيـبـازـ Cـ Phospholipaseـ وـلـهـ تـأـثـيرـ الـفـوسـفـولـيـبـازـ PLCـ (Kiu *et al.*, 2023), (SMase)ـ Sphingomyelinaseـ السـفـنـغـوـمـاـيلـينـ.

يـهـاجـمـ الـذـيـفـانـ أـغـشـيـةـ الـخـلـاـيـاـ مـسـبـبـاـ مـوتـ الـخـلـيـةـ death Cellـ وـتـحـطـمـهـاـ،ـ كـمـاـ يـسـبـبـ تمـيـهـ Hydrolysisـ الـشـحـومـ الـمـفـرـفـةـ Phospholipidsـ فـيـ غـشـاءـ كـرـيـاتـ الـدـمـ الـحـمـراءـ وـالـصـفـيـحـاتـ الـدـمـويـةـ Plateletـ،ـ وـكـرـيـاتـ الـدـمـ الـبـيـضـاءـ Leukocytesـ،ـ وـالـخـلـاـيـاـ erythrocytesـ وـالـبـطـانـيـةـ endothelialـ الـخـلـاـيـاـ الـعـضـلـيـةـ مـسـبـبـاـ تـحـلـلـاـ lysisـ فـيـهـاـ أوـ أـشـكـالـ أـخـرـىـ لـلـتـسـمـ الـخـلـوـيـ (Songer, 2006)ـ (cytotoxicity)ـ،ـ يـسـبـبـ تـحـلـلـ دـمـ جـزـئـيـ splitـ (PLC)ـ (أـوـ SMaseـ)ـ (Kiu *et al.*, 2023; Russell, 1987).

:Beta Toxin بيتا-الذيفان 2-8-2

هو عامل ذو أهمية في التسبب بالتدفيف الدموي المعاوي الناتج عن النمط B كما يفرز من النمط C أيضاً، وبالإضافة إلى خواصه القاتلة، فهو مسؤول عن التهاب الأمعاء وحدوث نخر بؤري للمخاطية mucosal لدى الإنسان والأغنام والماشية، كما يمكن أن يسبب إصابات في الجهاز العصبي المركزي في الحيوانات المستأنسة كما يسبب زيادة نفاذية الشعيرات الدموية، حيث كمية صغيرة أقل من 2 ng تحدث نخراً جلدياً Dermonecrosis في خنازير غينيا، بالرغم من أن الـتدفيف بيّنا ذيفان قاتل Lethal Necrotizing ونآخر trypsin- sensitive protein (Gohari *et al.*, 2021; Niilo, 1988) neonates.

3-8-2: Epsilon toxin إبسيلون

يعتبر كذيفان معوي Enterotoxin وكذيفان عصبي Neurotoxin يفرز من قبل ذراري الأنماط B,D، حيث يفرز بشكل خامل Protoxin ذو سمية ضعيفة كما ذكر الباحثان بون وحبيب Habeeb عام 1977 (cited by Songer, 1996)، إلا أن هذا الذيفان ينشط في الأمعاء حيث يتحول إلى الشكل السام بأكثر من 1.000 ضعف عن طريق إزالة أحماض أمينية طرفية (Proteolytic enzymes) مثل التربسين Trypsin والببسين Pepsin، بالإضافة إلى تلك الأنزيمات المنتجة من قبل جراثيم الحاطمة نفسها (Gohari *et al.*, 2021; Kappa and Lambda). هو ذيفان ناخر ومميت ويعتبر الأقوى بين ذيفانات جميع أنواع المطثيات بعد الذيفان الوشيقى وذيفان الكراز (Johansson, 2000; Gohari *et al.*, 2021).

4-8-2 الذيفان أيوتا :Iota toxin

:Enterotoxin 5-8-2 الذيفان المعي

إن إنتاج الذيفان المعي مرتبط بعملية التسough للجراثيم حيث يتحرر الذيفان عندما تتعرض الخلية الإنباتية للتحلل lysis، تعتبر آلية عمل الذيفان المعي الآلية الأكثر فهماً لذيفانات الحاطمة ويعمل بالتزامن مع الذيفانات الرئيسية حيث يتفاعل مع البروتينات الرابطة في الخلايا الظهارية epithelial cell tight junction proteins ويسبب تفكك leakage الماء والأيونات الروابط مما يؤدي إلى الإسهال وتقلصات معاوية ناجمة عن تسرب الماء والأيونات.(MaClane, 2001).

:Beta2 toxin 6-8-2 الذيفان بيتا

يشبه هذا الذيفان من الناحية الوظيفية وليس من الناحية الهيكلية أو التركيبية الذيفان بيتا (β) ومن المعروف أنه سام للخلايا cytotoxic وقاتل للفقران، أشارت إحدى الدراسات التي هدفت لتحديد أنماط المطثية الحاطمة الحاملة للجين المشفر لذيفان $\beta 2$ من بين أنواع الحيوانات فكانت الغالبية العظمى من الذاري الجرثومي المعزولة من الأمهار والخنازير والحملان كانت من النمط A، وان 50% من هذه الذاري كانت حاملة للجين المشفر لذيفان $\beta 2$ وقد أشارت تلك الدراسة بالدور الذي قد يؤديه هذا الذيفان في إمراضية جراثيم الحاطمة (Garmory *et al.*, 2000).

7-8-2 الذيفان ثيتا: Theta toxin

يفرز من الأنماط الخامسة المطثية الحاطمة (A-E) يعمل حالاً لخلايا Cytolysis حيث يساهم في التخريب السريع للنسج بعده آليات في موقع الخمج، وهو ذيفان حال للدم انحللاً تماماً ومهيئ للأذى الوعائي المباشر، كما يعمل بترابيزه المنخفضة على تنشيط الكريات البيضاء مخصوصة النوى Leukocytes Polymorphonuclear وخلايا البطانية ما ينتج عن ذلك ركود الكريات البيضاء Leukocytosis، تخثر، نقص تروية، نقص أكسجة Hypoxia، كما يتوازن لعملية الصدمة shock عن طريق الحث على تنشيط وسائل الالتهاب مثل عامل تنشيط الصفائح الدموية PAF، العامل الناشر للورم ألفا TNF، انترلوكين 1 (1) Interleukin (Rood *et al.*, 1997; Navarro and Uzal, 2020) (Interleukin 6) وانترلوكين 6.

الجدول. (2-2) الظيفات الأكثر أهمية في التأثير الإمراضي لجراثيم المطثية الحاطمة .(Rood *et al.*, 1997; Navarro and Uzal, 2020; Johansson, 2000; Gohari *et al.*, 2021)

التأثير الإمراضي	موقع المورث	يفرز من النمط	الذيفان
ناخر للجلد dermonecrotic، مميت lathal، حال للخلايا cytolytic	الصبعي	A,B,C,D,E	الذيفان ألفا Alpha toxin
ناخر للجلد، مميت، حال للخلايا	البلازميد	B,C	الذيفان بيتا Beta toxin
ناخر للخلايا العصبية، والخلايا البطانية الوعائية، وذمة في مختلف أنسجة الجسم.	البلازميد	B,D	الذيفان إبسيلون Epsilon toxin
ناخر للجلد، مميت، يسبب نفاذية في الأوعية الدموية، خلل في الهيكل الخلوي للأكتين actin cytoskeleton	البلازميد	E	الذيفان أيوتا Iota toxin laandlb
سام، قاتل للقفران، أمراض معوية في الحيوانات المستأنسة وبخاصة الخنازير والخيول، الإسهال المرتبط بالصادات الحيوية	البلازميد	A غالباً	الذيفان بيتا 2 Beta2 toxin
حال لخلايا، مميت، يهاجم البروتينات الرابطة للخلايا الظهارية، إسهال، تسرب سوائل خارج الأنسجة	الصبعي/ البلازميد	يفرز أثناء عملية التبوغ	الذيفان المعوي Enterotoxin
حال للكريات الحمراء، يشكل مسام، ملزناً للصفائح الدموية، محرض للاستجابة الالتهابية للمضيق	الصبعي	A,B,C,D,E	الذيفان ثيتا Theta toxin

9-2- عوامل الفوهة للمطثية الحاطمة :*Virulence Factor for Clostridium perfringens* بالإضافة إلى الظيفات الأكثر أهمية التي تفرزها المطثية الحاطمة فهي تفرز ظيفات أخرى تساعد في الفوهة المرضية وتعمل على تحطيم الأنسجة Tissue Damage كما تحدث الكثير من الآثار الجانبية الأخرى (Quinn *et al.*, 2004).

ويبين الجدول. (2-3) عوامل الفوهة الأكثر أهمية لبعض ذراري المطثية الحاطمة.

9-2-1- ذيفان كابا (Kappa toxin (Collagenase

هو عبارة عن إنزيم حال للبروتينات Proteolytic Enzyme يفرز من جميع أنماط الحاطمة، يحل الكولاجين، ف بذلك يكون العامل المسؤول عن تلين Softening ورخاوة أو تعجن pulping العضلات المتأثرة (Songer, 1997) .

9-2-2- ذيفان لامبدا : Lambda toxin

إنزيم حال للبروتينات إلا أنه يختلف عن الذيفان كابا الحال للكولاجين الطبيعي بأنه يهاجم الجيلاتين والكازين والهيمو غلوبين، يفرز من الذراري B,E وبعض ذراري D للمطثية الحاطمة .(Quinn *et al.*, 2004)

3-9-2- ذيفان NetB :NetB toxin

يشابه الذيفان بيتاً من حيث تسلسل الأحماض الأمينية (38%)، كما يشابه الذيفان ألفا لجراثيم المكورات العقدية (31%)، تم وصفه حديثاً ويعتقد أنه يساهم في حدوث المرض من قبل أغلب ذراري المطية الحاطمة المسئولة لالتهاب الأمعاء التكززي لدى الدواجن والطيور .(Cooper and Songer, 2009; Lee and Lillehoj, 2021)

4-9-2- ذيفان Tpel toxin: Tpel toxin

ذيفان سام للخلايا جيد ويشابه بتأثيره الذيفانات السامة للخلايا Clostridial cytotoxic الرئيسية، ميّز حديثاً في رشاحة الإببات Culture Supernatant للمطية الحاطمة النّمط (C)، وأطلق عليه اسم Tpel، تمت تتفيقه باستعمال (mab-based affinity chromatography) لدّيه نشاط قاتل من 62 g μ للجرعة الدنيا (MLD) في الفئران وفعالية سامة للخلايا (CU) (Amimoto *et al.*, 2007) في خلايا الفيرو Vero [6.2 \times 10⁵] cytotoxic units.

5-9-2- ذيفان ميو: Mu toxin (Hyaluronidase)

يفرز من قبل أغذى ذراري الأنماط A,B,C,D وبغض ذراري Hyaluronic acid كما يعرف بيوكيميائياً فعالية حالة لحمض الهيالورونيك Hyaluronidase في المختبر بعامل الانتشار Spreading factor الذي يعمل على انخفاض مستوى لزوجة المادة الأساسية في السّيّج الضام والتغيير في سلاسل الكربون الطرفيّة للمهيالورونيدازات التي قد تمثل ركيزتهم التّوعية ضد مختلف عديد السكريّدات للمضيّف (Shimizu *et al.*, 2002).

6-9-2- ذيفان نيو: Nu toxin (DNase)

يفرز هذا الذيفان من قبل الذراري لجميع الأنماط ماعدا النّمط B، ذيفان له خاصيّة تحليل الدنا DNA، لا يعتبر تأثير هذا الذيفان ذو أهميّة في إحداث المرض (Quinn *et al.*, 2004).

7-9-2- السّياليّداز: Sialidase

يساهم السّياليّداز في تحليل حمض السّياليك sialic acid لأنسجة وخلايا المضيّف (Gohari *et al.*, 2021).

8-9-2- الكلوستربين-الكولاجيناز: Clostripain-Collagenase

أنزيمات حالة proteinases تحول الجزيئات البروتينية المحررة والجزيئات البروتينية البنويّة للمضيّف وذلك بعد تحطيم الأنسجة من قبل الذيفانات الحالة والناشرة لجراثيم الحاطمة مثل الذيفان ألفا، ثيتا، والذيفانات المعلوّية (Gohari *et al.*, 2021)

وقد أظهرت الدراسات الحديثة وجود عشرين جين، ميّزت حديثاً كعوامل فوّعة للمطية الحاطمة (Shimizo *et al.*, 2002) ومن هذه الجينات:

alpha-toxin (*plc*), theta-toxin (*pfoA*), kappa-toxin (*colA*), 2', 3', -cyclic nucleotide phosphodiesterase (*cpd*), protein tyrosine phosphatase (*ptp*), hypothetical 7-kDa protein (*kyp7*), cysteine synthase (*cysK*), and cystathionine gamma-synthase (*metB*).

كما أن البيئة المعاوية المهيأة للإصابة تعتبر العامل الأهم من عوامل الفوعة التي تحفز على النمو والتكاثر السريع لإحداث الإصابة وما يساهم في تكوين هذه البيئة من عوامل غذائية أو تربوية أو بيئية أو العوامل التي تؤمنها الحاطمة بنفسها من ذيفانات وسموم وأنزيمات وجينات متنوعة متازرة فيما بينها.

جدول (3-2) عوامل الفوعة الأكثر أهمية لبعض ذراري المطثية الحاطمة
(Gohari *et al.*, 2021; Amimoto *et al.*, 2007; Cooper and Songer, 2009)

التأثير البيولوجي	النمط الذي يفرز منه	الذيفان / الأنزيم
يحل الكولاجين في الأنسجة. تلين - تعجن في النسيج	كل الأنماط	Kappa
يحل الجيلاتين- الكازين- الهيموغلوبين	B,E بعض ذراري D	Lambda
يشارك الذيفانات الرئيسية في إحداث المرض	أغلب ذراري المطثية عند الدواجن	NetB
سام للخلايا. يشارك في إحداث المرض	C	Tpel
حال لحمض الهيالورونيک. ينقص مرونة النسيج	+A,B C,D بعض ذراري	Mu hyaluronidase
تحل DNA	A,C,D,E	(DNase) Nu
حال لحمض السialiيك	بعض ذراري المطثية	السياليذار
حالة للبروتينات. تساهُم في تأمين الغذاء من أحماض أمينية لتأمين عملية التكاثر والنمو السريع لجراثيم المطثية الحاطمة	بعض ذراري المطثية	الكتوستريبين الكولاجيناز

10-2- السّراية والحوامٍ والنّوائل للمطثية الحاطمة *Transmission, Carriers, Vectors*

قد تكون جراثيم المطثية الحاطمة من أهم أنواع المطثيات المستوطنة والأوسع انتشاراً المسيبة للإصابات والعدوى (McGinley, 1998)، وبشكل خاص في ظروف تربية مكثفة أو شبه مكثفة بحيث يعمل ذلك على زيادة الحمولة الجرثومية والطفيلية والفطرية والأفلاتوكسينات في الحظائر كما تساهُم طبيعة الأغذام في الجلوس على الأرض من زيادة التماس المباشر مع هذه الحمولة من الجراثيم، ومن ثمّ التماس المباشر وغير المباشر فيما بينها كرضاعة الحملان الوالدة من أمهاهَا وما إلى ذلك، ومن غير الممكن السيطرة بشكل كامل على هذا العامل مهما تعزّزت أساليب النّظافة والوقاية.

كما يمكن وجود لكثير من المسببات المرضية الأخرى في الحظائر المكثفة كعامل مسبب للإصابة بالطفيليات المعاوية التي تمهد للإصابة الثانوية بالمطثية الحاطمة (Leiti-Browning, 2008)..

كما يرتبط مرض التذيف الدموي المعاوي بالتغيير المفاجئ في النظام الغذائي وبشكل خاص عندما تكون العليقة غنية بالطاقة وأو البروتين الذي يغير العامل الرئيسي لهذا المرض (William, 2012).

يعمل التغيير الفصلي خلال العام الواحد على زيادة أو انخفاض في نسبة الإصابة بمرض التذيفن الدموي المعوي إذ من الملاحظ ارتفاع في نسبة الإصابة في مرحلة الانتقال من فصل إلى فصل وبشكل خاص في فصل الربيع وفصل الخريف وفي فصل الشتاء البارد حيث يعمل الجو البارد على زيادة عوامل الإجهاد والفرص لحدوث الإصابات التنفسية الأولى والثانوية (Uzal *et al.*, 2022; Dhillon *et al.*, 2004) يمكن أن ينتقل المسبب بواسطة الذباب (flies).

11-2- الآلية الإراضية لجراثيم المطثية الحاطمة دورها في الإصابة بالذيفن الدموي المعوي Pathogenesis of *Clostridium perfringens*

قد تتمو المطثية الحاطمة في بيئة معينة مثل التربة، وتبقى في الشكل البوغي وعندما تدخل الأبواغ إلى الأنسجة الحية عن طريق الجروح مسببة التهاب الهلل (النسيج الخلوي) في ظروف لاهوائية (myonecrosis)، أو مرض الأكال أو الموات الغازى (خر عضلي Anaerobic cellulites) (النمط A بشكل خاص)، في حال التسمم الغذائي لدى الإنسان (إسهال بعد 6- 24 ساعة من تناول اللحم الملوث) يترافق مع الإسهال التهاب الأمعاء النّحري حيث تتمو هذه الجراثيم بسرعة مستعملة المواد الناتجة عن تحطيم نسج المضيق من قبل ذيفاناتها المختلفة (Shimizu *et al.*, 2002; Uzal *et al.*, 2022).

يمكن لجراثيم المطثية الحاطمة أن تعمل على تفكيك السكاكير المعقدة Polysaccharides إلى سكاكير بسيطة لتتمكن من استهلاكها كمصدر للطاقة وذلك بفعل الأنزيمات الحالة للسكاكير المختلفة التي تفرزها، في وسط تخمر Fermented Enzyme Saccharolytic Glycolysis لتويد الطاقة وكمية وفيرة من الغاز الأمر الذي يعزز عملية التخمر والوسط الاهوائي لمزيد من التفاعلات المتوازرة ما يجعل البيئة أكثر ملاءمة لتنشيط نمو وتكاثر جراثيم الحاطمة (Shimizu *et al.*, 2002; Uzal *et al.*, 2022).

تفرز الحاطمة خمسة أنواع من الهيالورونيداز Hyaluronidases تعمل على تفكيك عديدات السكريد Polysaccharides مثل حمض الهيالورونيـك Hyaluronic وسـلفات الكونـدروـتين Chondroitin Sulfate وبذلك تستطيع هذه الجراثيم التغلـل والانتـشار في عمـق الأنسـجة (Shimizu *et al.*, 2002).

كما تعمل الذيفانات الرئيسية الحالة للخلايا cytolytic التي تفرز من المطثية الحاطمة ومنها ذيفان ألفا، ثيتا، والذيفانات المعوية Enterotoxins التي تحطم خلايا المضيق بغية تحرير المواد المختلفة اللازمة لنمو وتكاثر الحاطمة، كما تشارك أنزيمات البروتيناز Proteinases التي تفرزها الحاطمة أيضاً في تفكيك الطعام الخلوي والبروتينات المحررة والبروتينات البنوية إلى جزيئاتها الأولى من أحماض أمينية وغيرها، مثل الكلوسترين Collagenase Clostripain والكولاجيناز et al., 2004 حيث أن الأحماض الأمينية والبيـtidـات peptides يتم استخدامها في تكوين خلايا مطثية حاطمة جيدة وبشكل وفير وذلك بواسطة العديد من النـاقـل الضروريـة لتصنيع بروـتـينـات تخدم تـكوـين جـرـاثـيم جـيـدة وـذـلـك لـنـقـصـ العـدـيدـ منـ الأـنـزـيمـاتـ لـلـتـخلـيقـ الـبـيـولـوـجـيـ لـلـأـحـمـاضـ الـأـمـينـيـةـ (Songer

تعمل ذيفانات المطثية الحاطمة على نخر الأنسجة حيث تبدأ الأحداث من قم الزغابات المعاوية وتتطور إلى نخر مخاطي واسع الانتشار (Popoff, 1984) من هذه الذيفانات الذيفان ألفا الذي يفرز من جميع أنماط الحاطمة وبهاجم أغشية الخلايا المبطنة لمخاطية الأمعاء مسبباً تتجدد ونخر الخلية وتحطمها كما يسبب إذابة الشحوم المفسّرة في غشاء كريات الدم الحمراء والصفائح الدموية وكريات الدم البيضاء والخلايا البطانية والخلايا العضلية مسبباً تحللها بتأثيره الناخر للأنسجة والحال للدم (Songer et al., 2004) ما يؤدي إلى تكثيل الصفائح الدموية الأمر الذي يعيق جريان الدم في الأوعية الدموية ويسبب نقص في التروية والأكسجة الخلوية وتسرب الشوارد والكهارل من الخلايا المنتخرة ومنها شوارد الصوديوم والكالسيوم، الأمر الذي يمكن أن يؤدي إلى الصدمة والموت بمضاعفات قلبية وعائية (Timoney et al., 1988) كما تعمل بعض الذيفانات على حل بروتينات الخلايا وتحطيم الكولاجين ما يؤدي إلى تلين ورخاؤه أو تعجن العضلات والأنسجة المتأثرة (Songer, 1997)، كما يتوجه البعض منها إلى مهاجمة الجيلاتين والказائين والهيماوغلوبين (Quinn et al., 2004) إلى جانب تأثير هذه الذيفانات الكبير على الجهاز العصبي المركزي والأنسجة الأخرى والتي تسبب أيضاً الموت المفاجئ، حيث يتسبب الذيفان إبسيلون في تحلل وتنكس البطانة الوعائية مسبباً انتفاخ ومن ثم تتجدد في بروزات الخلايا النجمية ما يؤدي إلى تلين الدماغ البؤري أو المنتشر، كما يحدث خسارة لبروتينات البلازمما والماء وتسرب سريع للسائل مما يسبب ضغط مرتفع داخل المخ وتطور مناطق التنسك والنخر فيه (Finnie et al., 1999; Finnie et al., 2020).

2-12- العلامات الإكلينيكية والصفات التشريحية العيانية والنسجية لأنماط المطثية الحاطمة عند الأغنام Clinical and histopathological changes of Enterotoxemia

2-12-2- التذيفن الدموي المعاوي من النمط C. perfringens Type A:

تعتبر ذراري النمط A من أكثر الجراثيم الواسعة الانتشار في العالم وتوجد بشكل رئيسي في أمعاء الإنسان والحيوانات ذات الدم الحار وفي البيئة والتربي، بينما تتألف الأنماط الأخرى E,D,C,B للبقاء Survival في الأمعاء، لكن في حالات نقاشي المرض Outbreak تبقى في التربة لفترة طويلة كافية لإصابة حيوانات أخرى (Navarro and Uzal, 2020).

يسبب النمط A تذيفن الدم المعاوي في الحملان المعروف أيضاً بمرض الحمل الصفر yellow disease lamb، تقرز جراثيم هذا النمط الذيفان ألفا Alpha، تنشط الإصابة بالمرض في الربع الأول في الوقت الذي تكون فيه أعداد الحملان الرضيعة عالية، بعض ذراري النمط A تتوج ذيفان ألفا كافي لقتل الفئران تحت ظروف الاختبار المثالية تدعى هذه الذراري باسم الذراري غير المذيفة nontoxigenic من قبل بعض الباحثين وكنمط A من قبل بباحثين آخرين (Uzal et al., 2022).

الذيفان ألفا CPA هو الليسيثيناز الانحلالي (فوسفوليپاز) وهو المسؤول عن احتلال الدم واليرقان الحاد الذي لوحظ في الحملان المصابة بالحمل الأصفر، تكون آلية النشاط الانحلالي للذيفان CPA متباعدة بشكل كبير في أنواع مختلفة من الحيوانات حيث تكون كريات الدم الحمراء عند الأغنام هي

الأكثر حساسية لعمل هذا السم (Verherstaeten *et al.*, 2023)، يعمل تأثير الذيفان ألفا على محددات مختلفة موجودة على سطح الخلايا، حيث يحل الفوسفاتيديل كوليـن (PC) الذي يتحـل بدوره إلى السـفنغومـاـليـن (SM) والـذـي يـتحـلـ أـيـضاـ إلى دـيـاسـيلـ جـلـيسـيرـينـ وـسـيرـامـيدـ، كما يـعـملـ الذـيفـانـ الـفـاـ عـلـىـ تـنـشـيـطـ آـنـزـيمـاتـ المـضـيـفـ الذـاتـيـ بـشـكـلـ غـيـرـ مـباـشـرـ وـالـتـيـ تـحـمـلـ خـصـائـصـ الـفـوـسـفـولـبـيـازـ وـالـسـفـنـغـومـاـليـازـ، وـبـذـلـكـ يـطـبـقـ الذـيفـانـ الـفـاـ تـنـشـيـطـ مـسـارـ تـازـرـيـ عـلـىـ غـشـاءـ الـخـلـيـةـ بـيـنـ CPAـ وـ ماـ يـؤـدـيـ لـتـحـرـيرـ أـحـمـاضـ السـيـالـيـكـ الـضـرـورـيـةـ لـتـكـوـينـ بنـيـةـ gangliosidesـ ماـ يـؤـدـيـ إـلـىـ زـيـادـةـ حـسـاسـيـةـ الخلـيـةـ تـجـاهـ CPAـ فـيـ الجـسـمـ الحـيـ وـفـيـ المـخـبـرـ (Shahna *et al.*, 2022).

عـنـدـماـ يـهـاجـمـ الذـيفـانـ الـفـاـ CPAـ الـخـلـيـاـ وـيـعـمـلـ عـلـىـ مـوـتـهـاـ بـمـاـ يـسـبـبـهـ مـنـ تـلـفـ الغـشـاءـ الـهـيـوـلـيـ مـؤـديـاـ إـلـىـ إـفـرـازـ الـلـاـكـتـاتـ دـيـهـاـيـدـرـوـجـيـنـيـزـ وـهـوـ مـاـ يـمـيـزـ النـخـرـ بـيـوـلـوـجـيـاـ، كـمـاـ يـعـمـلـ عـلـىـ تـوـلـيـدـ أـنـوـاعـ الـأـوـكـسـجـيـنـ التـفـاعـلـيـةـ مـاـ يـؤـدـيـ إـلـىـ الإـجـهـادـ التـأـكـسـدـيـ وـبـالـتـالـيـ تـنـشـيـطـ آـلـيـاتـ الـاستـمـاتـةـ الذـاتـيـةـ (Uzal *et al.*, 2019; Verherstaeten *et al.*, 2023)

تشـيرـ الـدـرـاسـاتـ إـلـىـ أـنـ الـأـغـنـامـ الـمـصـابـةـ تـظـهـرـ عـلـيـهـاـ عـلـامـاتـ إـكـلـينـيـكـيـةـ تـشـمـلـ الـيـرـقـانـ Icterusـ بـيـاـيـةـ خـضـرـاءـ بـاـبـيـةـ hemoglobinuriaـ، فـقـرـ دـمـ depressionـ، خـمـولـ anemiaـ، نـفـاخـ tympaniـ، وـقـدـ يـحـدـثـ إـسـهـالـ شـدـيدـ، نـفـوقـ بـعـدـ فـصـلـ إـكـلـينـيـكـيـ منـ 6ـ إـلـىـ 12ـ ساعـةـ، أوـ العـثـورـ عـلـىـ الـحـمـلـانـ مـيـتـةـ، عـنـدـ الـفـحـصـ الـجـرـثـومـيـ يـلـاحـظـ الـتـعـدـادـ الـجـرـثـومـيـ الـمـرـتـقـعـ لـجـرـاثـيمـ الـحـاطـمـةـ 10⁴ـ (10⁷ـ مـسـتـعـمـرةـ CFUـ /ـ غـرـامـ)ـ تـشـاهـدـ غالـبـاـ فيـ الـمـحـتـويـاتـ الـمـعـوـيـةـ، وـآـفـاتـ عـيـانـيـةـ تـتـضـمـنـ التـهـابـ الـمـنـفـحةـ abomasitisـ، وـتـقـرـحـ الـمـنـفـحةـ ulcerationـ، تـضـخـمـ الـطـحـالـ， تـضـخـمـ الـكـبـدـ، الـكـبـدـ بـلـوـنـ باـهـتـ مـصـفـرـ، تـوـدـمـ بـالـكـلـىـ، تـظـهـرـ الـكـلـىـ بـلـوـنـ أحـمـرـ دـاـكـنـ، وـذـمـةـ رـئـوـيـةـ بـشـكـلـ مـخـصـوصـ وـمـلـحـوـظـ، اـحـمـرـارـ فـيـ تـجـوـيـفـ الـقـصـبـاتـ مـعـ وـجـودـ رـغـوةـ زـهـرـيـةـ أـحـيـاـنـاـ، وـذـمـةـ عـامـةـ، تـراـكـمـ سـائـلـ مـصـلـيـ فـيـ تـجـوـيـفـ الصـدـرـ، نـسـيـجـيـاـ يـمـكـنـ أـنـ يـظـهـرـ تـحـتـ الـمـجـهـرـ التـهـابـ الـأـمـعـاءـ الـنـخـرـيـ، نـخـرـ مـرـكـزـيـ فـيـ الـكـبـدـ، إـصـابـةـ حـادـةـ فـيـ الـنـبـيـباتـ مـرـتـبـةـ بـالـهـيـمـوـغـلـوـبـيـنـ

(Shimizu *et al.*, 2002; Uzal *et al.*, 2022)

وـجـدـ (2019)ـ (Uzal *et al.*, 2019)ـ عـنـدـ الـإـصـابـةـ مـنـ النـمـطـ Aـ تـوـرـمـ غـيـميـ وـتـمـزـقـ الـخـلـيـةـ فـيـ الـظـهـارـةـ الـمـبـطـنـةـ لـلـأـمـعـاءـ كـمـاـ وـجـدـ نـزـيفـ مـنـتـشـرـ فـيـ نـسـيـجـ الـأـمـعـاءـ، كـمـاـ وـجـدـ (Kalender, *et al.*, 2023)ـ التـهـابـ نـزـفيـ حـادـ فـيـ الـغـشـاءـ الـمـخـاطـيـ لـلـأـمـعـاءـ وـنـخـرـ وـتـاكـلـ فـيـ الـغـشـاءـ الـمـخـاطـيـ وـارـتـشـاحـ لـخـلـاـياـ التـهـابـيـةـ السـائـدـ عـلـيـهـاـ خـلـاـيـاـ الـعـدـلـاتـ، وـاحـقـانـ فـيـ الـأـعـضـاءـ الدـاخـلـيـةـ وـنـزـفـ كـدـميـ عـلـىـ الـقـلـبـ، كـمـاـ وـجـدـ (Simpson *et al.*, 2020)ـ نـخـرـ مـنـتـشـرـ فـيـ الـطـبـقـةـ الـمـخـاطـيـةـ لـلـأـمـعـاءـ بـالـإـضـافـةـ إـلـىـ التـهـابـ الـبـرـيـتوـانـ وـالـتـهـابـ الـكـبـدـ وـبـشـكـلـ خـاصـ عـنـ الـحـمـلـانـ وـالـتـهـابـ رـئـوـيـ وـوـذـمـةـ فـيـ الرـئـةـ.

وـجـدـ (2022)ـ (Uzal *et al.*, 2022)ـ أـيـضـاـ اـحـقـانـ رـئـوـيـ وـوـذـمـةـ رـئـوـيـةـ وـوـذـمـةـ عـامـةـ وـنـزـفـ فـيـ شـغـافـ الـقـلـبـ بـالـإـضـافـةـ إـلـىـ نـخـرـ الـكـبـدـ الـمـرـكـزـيـ وـالـتـهـابـ الـنـبـيـباتـ الـكـلـوـيـةـ الـمـرـتـبـةـ بـالـهـيـمـوـغـلـوـبـيـنـ.

12-2-2 التذيفن الدموي المعوي من النّمط C. perfringens Type B:

تحدث الإصابة بالتذيفن الدموي المعوي من النّمط B على شكل مرض ديسنتريا الحملان Lamb (زحار الحملان) في الحملان المولودة حديثاً، تفرز جراثيم هذا النّمط الذيفان بيتا Dysentery والذيفان إبسيلون Epsilon، إن دور السموم فيه معقد، يتسبّب الذيفان بيتا بأفات معويّة بينما آفات الجهاز العصبي يتسبّب فيها الذيفان إبسيلون الذي ينطّاب تنسيطه أنزيمات البروتيناز في الوقت الذي تعمل به هذه الأنزيمات على تعطيل الذيفان إبسيلون (Gohari *et al.*, 2021). وقد أشار العالم دالنوك عام 1926 إلى أن زحار الحملان عادةً ما يتتطور خلال الأيام القليلة الأولى للحياة، مع العلم أن الحملان الأكبر عمرًا قد تصاب بالمرض في حال تفشي الوباء (Songer, 1996).

يرتبط الذيفان بيتا CPB على مستقبلاته في سطح الخلايا التي تختلف باختلاف الخلايا والأنواع فيشكل مسام وظيفية صغيرة في غشاء البلازمما للخلايا الحساسة له الأمر الذي يسمح بدخول شوارد Ca^{2+} - Na^+ Cl^- إلى الخلايا المتضررة ما يؤدي إلى تورم الخلية الغيمي، كما يؤدي إلى حدوث اضطراب سريع في الهيكل الخلوي للأكتين ومن ثم انكماش الخلية وتراجع في حدود الخلية ونخر الخلية، كما يمكن دخول شوارد اليوتاسيوم للخلية ما يعمل على خلل في فسفرة الطاقة JNK kinasis P₃₈ MAP (Gohari *et al.*, 2021)

تعتبر الدلالة الأساسية للمرض هو الموت المفاجئ، بدون أي أعراض سابقة في الحالات فوق الحادة acute Per، أو ممكن أن تسبق بتوقف عن الطعام، خمول شديد، ألم بطني حاد مصحوب بإسهال دموي، الاستلقاء Recumbence، غيبوبة، وموت في أقل من 24 ساعة، قد تصل نسبة الإصابة إلى 30% مع نسبة نفوق قد تصل إلى 100%， تتسم أعراض المرض المزمن (يدعى بالهزال pine) في الحملان الأكبر سنًا كالم بطني مزمن بدون إسهال (Songer, 1996; Dadhich *et al.*, 2021).

لوحظ عند الإصابة بديستريا الحملان احتقان وتوئم في الأمعاء الدقيقة والغليظة، التهاب الأمعاء التّزفي، نخر في مخاطية الأمعاء نازف أحمر، التهاب الأمعاء الدفتريائي التّزفي، من الممكن ظهور عصيات الحاطمة تحت المجهر مختلطة مع الفيبرين والخلايا المتوفّفة وكريّات دم بيضاء متّوّعة (Simpsson *et al.*, 2008)، كما وجد (Uzal and Songer, 2008)، التهاب الأمعاء والقولون التّزفي الحاد أيضًا وبشكل خاص عند الحملان حديثة الولادة، وجد أيضًا (Gohari *et al.*, 2021)، التهاب الأمعاء النّحري الحاد وهو ما يُدعى بالزّهار وقد اقتصر على الصغار من المواليد عمومًا في الحملان التي تبلغ من العمر ما هو أقل من (21) يومًا.

12-2-3 التذيفن الدموي المعوي من النّمط C. perfringens Type C:

يسبب النّمط C للتذيفن الدموي المعوي في الأغنام البالغة (نموذج في النعاج الفتية) مرض الصدمة Shock حيث أن الاسم مشتق من الموت السريع المترافق مع الحالة والذي غالباً ما يترك

انطباع أن الحيوان صعق بالبرق Shock by Lightning (Songer, 2006).

إن الفعل الأولي لذيفان بيتا beta الذي تفرزه ذراري جراثيم هذا النمط يكون في ظروف انخفاض نشاط الأنزيمات الحالة للبروتينات Proteolytic وقد يكون ذلك بسبب نقص إفراز البنكرياس في الفترة القصيرة بعد الولادة أو بسبب تناول غذاء مثبط للبروتياز Inhibitors Protease، ويؤدي هذا الذيفان دوراً واسعاً ومركزاً في النشوء المرضي حيث تلتصق المطية الحاطمة بمخاطية الصائم Jejuna وتحدث الضرر فيها، كما يحدث الضرر في الزغابات الدقيقة Macrovilli، Intestinal Lumen المتقدرات Mitochondria، والأوعية الشعرية المحيطية للمعنة الأمعاء حيث يبدأ النخر في قمم زغابات الصائم Villi Jejunal ثم تتطور إلى نخر مخاطي واسع الانتشار يرافقه موت في الخلايا الطلائية وتوسّفها Desquamation يتبعه غزو جرثومي Bacterial Invasion إضافي، وتضاعف Multiplication جرثومي، وإنتاج لكمية ذيفانات أكبر وهكذا (Songer, 1996; Wang et al., 2022).

لوحظ في الحملان والماعز من قبل العالمين غراينر وجونسون في عام 1954 (Songer, 1996) النفوقات الحادة أو فوق الحادة شائعة، وإذا ظهرت علامات إكلينيكية يكون عادة لفترة قصيرة قبل الموت، منها الخمول يتبع بالإسهال والزحار، إسهال نزفي شديد، جفاف، وأحياناً مغص، العلامات العصبية ومنها التكزز Tetany وتقوّس الظهر Opisthotonus قد تحدث أيضاً أو قد تغير العلامات الإكلينيكية، أو قد تسيق بفصيل إكلينيكي لعدة أيام، قد تصل نسب الهممات Attack Rates غالباً بين 15 إلى 20% بنسب نفوق عالية قد تصل إلى 100% في المناطق التي يكون فيها المرض مستوطناً Endemic (Timoney et al., 1988; Hayati and Tahamtan, 2020).

غالباً ما يكون الضرر المطبق على الغشاء المخاطي للمنطقة المعدية المعيّة سببه غذاء رديء النوعيّة، الآفات تكون في الصائم Jejunum واللفاني Ileum مع نخر الزغابات Villi حيث تتضاعف الذراري من النمط C في المنحة والمعي الدقيق مسبباً نخر المخاطية Mucosal Necrosis والتهاب الأمعاء النخري، والتهاب الأمعاء النزفي متعدد البؤر وتكون نسبة الإصابة الأكبر في الدقاد، بؤر نخريّة واضحة على شكل حلقات مليئة بالدم والفبرين، وقد تتضمن علامة الثديين تراكم لسوائل في البريتوان والتجويف الصدري، وقد تغيّب الآفات العيانية من الأمعاء (songer, 1996; Uzal and Songer, 2008).

كما لاحظ (Simpsson et al., 2020) عند الإصابة من النمط C التهاب القولون والأمعاء النزفي مترافق مع إسهال دموي حيث غالباً ما تصيب الصدمة الأغنام البالغة في أوائل الربيع بمظاهر من المغص التيبسي ثم الموت المفاجئ، كما وصف الآفات المجهريّة بالتهاب الأمعاء التخري الحاد كون طبيعة الإصابة غالباً ما تكون حادة أو فوق حادة مميتة حيث يبدأ النخر من قمم الزغابات المعيّة والظهارة المبطنة للأمعاء في الطبقة المخاطية والطبقة تحت المخاطية التخري

واضطرابات في الدورة الدموية واحقان الأسطح المصالية وحالات من نزف منتشر أو بؤري على الأعضاء الداخلية واحقان ووذمة رئوية.

فيما تحدث (Gohari et al., 2021) عن الإصابة من النمط C أنها تسبب التهاب الأمعاء النخري مع الاستعداد بشكل أكبر للإصابة بالمرض من قبل المواليد حديثة الولادة، وقد لاحظ وجود نخر منتشر في الغشاء المخاطي للأمعاء مغطى بطبيعة فيبرينية كاذبة واحقان في الطبقة المصالية للأمعاء واحقان وتودم الرئة وتختثر الدم في الأوعية الدموية ووذمة بروتينية حول الأوعية الدموية.

في حين وجد (Kalender, et al, 2023) أن المرض من النمط C لايزال مثيراً للجدل.

4-12-4- التذيفن الدموي المعوي من النمط *C. perfringens* Type D: D

يسبب هذا النمط التذيفن الدموي المعوي على شكل مرض الكلية الرخوة kidney pulpy أو ما يدعى بمرض التخمة Overeating، تقرز ذراري النمط D الذيفان إبسيلون ETX والذيفان بيتا CPB بالإضافة للذيفان ألفا CPA الذي تقرزه جميع أنماط المطية الحاطمة، منتشر عند الأغنام في كل الأعمار ما عدا المواليد الرضيعة newborns وسائد في حملان التسمين التي أعمارها بحدود 10 أشهر والتي تتغذى على علقة غنية بالحبوب أو عند الحملان التي تتسلل إلى غذاء أمهاها بشكل مفاجئ أو مفرط والحيوانات الصغيرة (3-10 أسبوع) والتي ترعى على المراعي الخصبة هي أكثر عرضة للمرض من تلك التي ترضع من أمهاها Ewes (Timoney et al., 1988).

قد أشار العالم بولين عام 1970 إلى أن هذه الجراثيم تفضل توفر النساء الزائد في الغذاء في المعى الدقيق حيث يعمل على توفير الغذاء لأعداد أكثر من الجراثيم الحاطمة وإنتاج أكثر لذيفان إبسيلون كما أن ذلك يسهل عملية امتصاص الذيفان (Songer, 1996).

يعتبر الذيفان إبسيلون رغم خطورته سماً أولياً ضعيفاً يتم تحريره كطليعة ذيفان غير ناضج وبتأثير العديد من إنزيمات البروتياز المعاوي مثل التربسين والكيموتربسين a والكاربوكسي بيتيداز التي تعمل على تحرير الذيفان فيتحول من طليعة ذيفان إلى ذيفان ناضج ونشط أكثر سمية 1000 مرة عن السم الأولي، يعالج بروتياز المضيق طليعة الذيفان إبسيلون بطريقة تدريجية مما ينبع عن ذلك ثلاثة أنواع من ETX مع بقايا طرفية متفاوتة في جزيئتها ولكل منها الشكل السام، حيث يرتبط بالخلايا الظهارية ويدمرها وبشكل خاص الخلايا المبطنة للنبيبات البعيدة والنبيبات الجامعية في الكلية وجرى البول والمثانة، ويصبح مظهر الكلية داكن والقואم شبيه بالهلام (Gohari et al., 2021; Navarro and Uzal, 2020).

من عوامل الفوعة المهيأة للمرض، عندما تستهلك الحملان والجاء الحليب بشكل مفرط أو عند تناول كميات عالية من الحبوب مع انخفاض في نسبة المادة الجافة (قش، أو عشب أخضر)، أو عندما تتعافى من مرض أو إجهاد حيث تكون المناعة الطبيعية منخفضة، أو كنتيجة للفزو التقييل للطفيليات المعاوية مثل الديدان المسودات Nematoda والإكريات Coccidia، أو عندما تصاب

بما يسبب بطء في حركة السبيل الهضمي Peristalsis، كما يرتبط غالباً باضطراب في نبيت الأمعاء Gut، كل ذلك يؤدي إلى توفر البيئة الدقيقة Microenvironments الملائمة للتضاعف السريع لجراثيم الحاطمة وإنتاج أكبر لذيفان إيسيلون (Dorca-Arévalo and Gómez de Aranda, 2022).

تسبب تأثيرات الذيفان على الجهاز العصبي والأنسجة الأخرى موتاً مفاجئاً في الحملان التي تكون حالة جيدة، أما الحيوانات التي قد تبقى حية فتظهر عليها علامات إكلينيكية مثل البلادة أو الفتور، تمايل، عمى ظاهري، وفي بعض الحيوانات ممكناً أن نلاحظ تهيج، عدم تناسق حركي، انحراف الرأس، تقوس الظهر Opisthotonus، وتشنجات Convulsions، قد تدور الحملان المصابة أو تدفع برؤوسها ضد الأجسام الثابتة، يليها احتضار Agonal Struggling وتموت خلال 24 ساعة (Songer, 1996; Garcia et al., 2013).

تبين الصفة التشريحية احتواء الكرش والمنفحة نموذجيّاً على كمية كبيرة من الغذاء غير المهضوم، ربما يلاحظ عند الحملان الصغيرة بضع مناطق فقط محققة Hyperemic في الأمعاء وسوائل في كيس التامور، بينما يلاحظ في الحيوانات الأكبر عمراً بقع نزفية على عضلة القلب Myocardium، أو نزف حبرى Petechial أو نزف كدمي Ecchymosis في الطبقة المصالية Serosa وأعضلات البطن مع وذمة رئوية واحتفان (Gohari et al., 2022).

لا يعتبر النزف هو علامة فارقة للشكل النموذجي للمرض من النمط D عند الأغنام أو الماشية، إلا أنها يمكن أن تلاحظ المناطق النزفية في المعي الدقيق، ونزف حبرى Petechial على التامور، كما يمكن أن يلاحظ نزف تحت شغاف القلب Sub endocardial Hemorrhage Peritoneal Effusions حول الصمام التاجي، كما يعتبر النضج المصالي في البريتون Pericardial العرض المثالي في الأغنام (Gohari et al., 2021؛ Navarro and Uzal, 2020) كما ذكر أن الإصابة من هذا النمط تسبب التهاب الخلايا المبطنة للنبيبات الكلوية التخثري ونخر كبيبي حاد واحتفان الأوعية الدموية في الكلية والتهاب النسيج الخلوي الكلوي الحاد مع ارتفاع خلايا التهابية من عدلات ووحدات وخلايا متعددة الأشكال.

وجد (Uzal et al., 2019) نخر في الزغابات المعاوية ابتداءً من أطراف الز غابات وارتفاع خلايا التهابية وبشكل خاص العدلات.

بينما تحدث (Simpsson et al., 2020) عن اضطراب ونخر في الخلايا البطانية للأوعية الدموية وآفات وعائية ونخر في الخلايا العصبية والخلايا النجمية والخلايا قليلة التغصنات مع تلّين الدماغ البؤري ووذمة في القلب والرئتين والدماغ ونصح لسوائل التهابية في التامور والجنب، حيث يعتقد (Finnie et al., 2020) أن مستقبلات الذيفان إيسيلون ETX تتوضع على الخلايا البطانية في أماكن معينة من الدماغ والرئتين وتسبب آفات حادة وقد وصف الآفات القلبية والرئوية أنها أقل شدةً من الآفات الدماغية، كما وجد نخر في العقدة الجيبية الأذينية في القلب مترافق مع

وذمة وعائية متوسطة إلى شديدة حيث كان سبب النزف هو الأفات الفالبية الرئوية أو الدماغية أو الكلوية.

لاحظ (2019) Uzal *et al.*, تورم الخلايا الغيمي وتونم النسيج الخلالي وتنكس فجوي وتنكس زجاجي على شكل قوالب ذات طبيعة بروتينية في النببات الكلوية ونخر نبيبي ونخر كبيبي واحتفان ونزف منتشر في النسيج الخلالي الكلوي بسبب تنكس الخلايا المبطنة للشعيارات الدموية الكلوية، كما وجد نخر تخري وضمور في الكبيبات الكلوية مع اضطراب في محفظة بومان والتهاب النسيج الخلالي الكلوي وانسلاخ في الخلايا المبطنة للنببات الكلوية.

وقد وجد (Manday *et al.*, 2020) أن الإصابة بجرائم المطية الحاطمة من النمط D تكون حادة أو فوق حادة تسبب بشكل أساسى التهاب الكبد النخري البؤري أو متعدد البؤر محاط برد فعل التهابي من كريات دم بيضاء متكون بشكل أساسى من العدلات المنحللة والعدلات النشطة وعدد قليل من الخلايا الليمفاوية والمصوّرية وخلايا النسيج الضام كما يسبب نخر حاد للنببات الكلوية الملتفة القاسية والدانية مع تسلل لعدد كبير من خلايا العدلات.

تفسر ظاهرة الكلية العجينة أو الرخوة kidney pulpy بامتصاص كمية كبيرة من الذيفانات من الأمعاء، حيث أن هذه الجرائم تتکاثر بسرعة في الحيوانات، منتجة كميات كبيرة من الذيفانات التي تسبب التهاب الأمعاء والقولون Enterocolitis، ثم ثمتص إلى مجرب الدم فتحدث تخريباً في بطانة الأوعية الدموية وتسبب في زيادة نفاذية الأوعية الدموية كما تظهر الوذمة في الرئتين والكلى، وبذلك تعبر الحالة عن مرض الكلية الرخوة، تتركز مستويات الإصابة والنفوق العالية في الحيوانات الصغيرة من الحملان والجداء باعتبارها أكثر حساسية لهذا المرض، مع وجود إصابات في الحيوانات البالغة ولكنها قد تطور مناعة بسبب التعرض المتكرر لهذه الذيفانات (Giannitti *et al.*, 2021) كما تحدث عن وجود استسقاء في الصدر ووذمة رئوية سخية ووذمة في النسيج الخلالي الرئوي وأفات رئوية شديدة حول الأوعية الدموية ونزف في عضلة القلب وتنكس ونخر متعدد البؤر في عضلة القلب مع ارتشاش لخلايا التهابية من عدلات ولمفاويات وأرومات ليفية.

تبين الصفة التشريحية العصبية في الأغنام المتأثرة بالمرض تلین الدماغ البؤري (التهاب تمييعي في الدماغ) Haphazard Focal Encephalomacia و يتميز بالتوزع الصدفي Roaming، وعمى Blindness، وارتقاء الضغط في الرأس Head Pressing، وعدم القدرة على تناول الغذاء Inability to eat ، في حال كانت الإصابة في طور الإzman فتظهر التغيرات التشريحية Bilaterally Symmetrical Brain العصبية من خلال آفات الدماغ المتقايرة الثانية (Dorca-Arévalo and Gómes de Aranda, 2022).

5- التدفيف الدموي المعيوي من النّمط E: *C. perfringens* Type E

تفرز ذراري النمط E الذي ينافس أيوتا ITX Iota بالإضافة للذيفان الفا CPA، هذا النمط غير شائع لالتهاب الأمعاء والتذيفن الدموي المعموي في الحملان، العجول، الأرانب، والكلاب (MaClane et al., 2000).

سجلت في أربعينيات القرن العشرين حالات تذيفن الدم المعوي بذيفان أيوتا في العجول والحملان، وأشارت الإحصائيات المنشورة منذ ذلك الوقت والمتمثلة بحالات التهاب الأمعاء النّخري النزفي في العجول إلى عزل جراثيم المطثية الحاطمة وذيفان أيوتا من أمعاء الأبقار أو الضأن بعد النّفوق في غياب لعلامات التذيفن الدموي المعوي المسبب بالحاطمة، إلا أنه قد وجد تشابه وظيفي لذيفان أيوتا للحاطمة مع ذيفان المطثية الحلزونية *C.spiroforme* وإن كشف الذيفان في محتويات الأمعاء هو الإجراء التشخيصي الوحيد للتفريرق بينهما، لذا لابد من العمل التجاري لتوسيع آلية عمل كل من هذه الكائنات الحية كعوامل مسببة للمرض في الحيوانات المستأنسة .(Songer, 1996; Gohari *et al.*, 2021)

إلا أن الدور الأهم لذاري النمط E في دورها باحتواها جينات عوامل الفوعة القوية الإضافية التي تشفّر لذيفان بيتا², اليورياز Urease, أو ذيفان لامبدا Lambda (Jost *et al.*, 2005).

لاحظ (Simpsson *et al.*, 2020) التهاب الأمعاء النزفي النخري عند الأغنام المصابة بهذا النمط.

6-12-2- التذيفن الدموي المعاوي من النّمط F: *C. perfringens* Type F:

تؤكد الدراسات أن إنتاج الـ*ذيفان المعموي* CPE ضروري لإحداث أمراض الجهاز الهضمي من سلالات النمط F المرتبطة بالتسنم الغذائي الغير منقول على الغذاء كما يمكن أن يفرز من بعض سلالات الأنماط C,D,E، يؤثر الـ*ذيفان CPE* على الأمعاء الدقيقة لجميع الثدييات المختبرة فقد لوحظ قصر في الزغابات المعموية وتوسّف الظهارة المبطنة المعموية وإسهال ما يؤدي إلى فقدان السوائل والكهارل، وقد وجد عند حقن أمعاء أرنب بهذا الـ*ذيفان* خسارة شبه كاملة للغشاء المخاطي المبطن للأمعاء. (Hayati and Tahamtan, 2020).

يرتبط الذيفان بشكل أساسي بأطراف الزغابات المعاوية إلا أنه يعمل على تدمير الزغابة بكمالها، توجد مساقباته على الموصلات الخلوية والغشاء الخلوي ويعمل تأثيره بتشكيل مسام ومن ثم تشكيل معقد مقاوم لأنزيمات التربسين، تطلق الخلايا المتأدية عامل السيرين بروتيناز ما يعمل على نخر الخلايا المجاورة السليمة وهذا ما يفسر توسيف الزغابة بالكامل (Kiu *et al.*, 2023).

7-12-2 التدفيف الدموي المعوي من النّمط G: *C. perfringens* Type G:

يفرز النمط G الذي يسبب أمراضاً إما أن تكون حادة مثل التهاب الأمعاء الناري Necrotic enteritis (NE) عند الدجاج بعمر 4-2 أسابيع والذي قد يسبب نسبة نفوق مرتفعة، أو أن يحدث المرض بشكل تدريجي Subacute فيحدث بؤراً نخرية في الأمعاء أو يمكن أن يشكل تغييرات كبدية مرتبطة بالمطثية الحاطمة (CPH) *C.perfringens*- associated

مع التهاب الأقنية الصفراوية والكبد hepatitis change في الكبد، وقد تم تسجيل انتشار التهاب الأمعاء النخري في العديد من البلدان مما يسبب مشاكل اقتصادية كبيرة بشكل دائم (Lee and Lillehoj, 2021).

يصنف النيفان NetB كعضو من عائلة الهيمولازين a-hemolysin a، يرتبط بمستقبلات على الخلية ويشكل مسام فيها، لم يتم تحديد المستقبل النوعي له بعد (Gohari *et al.*, 2021).

ظهر المرض بشكل خاص في البلدان النامية والتي تعتمد التربية المكافحة لدجاج اللحم كما شخص التهاب الأمعاء النخري عند الإوز البري والغربان البري والنعام Ostriches وفي الطيور المستأنسة Shahna *et al.*, 2022) capercailzies.

13-2- التسخيص :Diagnosis

يعتمد الأساس التشخيصي لمرض التذيف الدموي المعموي في المجترات بشكل كبير على الأعراض الإكلينيكية وزمن النفوق والصفة التشريحية Necropsy بشكل أساسى والآفات النسيجية وتأكيد وجود التهاب في الأمعاء أو سوانح مصلية في تجاويف الجسم او نزف بؤري او منتشر على أعضاء الجسم، ثم العمل على عزل جراثيم المطثية الحاطمة من محتويات الأمعاء وأجزاء من بعض الأعضاء الداخلية للحيوانات المتأثرة والعمل على الزرع الجرثومي على الأوساط الانتقائية (Simpsson *et al.*, 2017; Dorca-Arévalo *et al.*, 2022).

لذا فإن تشخيص مرض التذيف الدموي المعموي بسبب بالمطثية الحاطمة يتبع عدة محاور متسلسلة وهي:

13-1- الأعراض الإكلينيكية والصفة التشريحية Clinical Sing and Macroscopic change

تتصف الأعراض الإكلينيكية لأشكال المرض عند المجترات كونها مشتركة إلى حد كبير فيما بينها سواء أن اختلف العائل أم النمط المسبب للمرض، ففي حال كان سير المرض في الحيوانات المصابة فوق حاد acute فإنه على الغالب يحدث النفوق السريع والمفاجئ وبدون أي أعراض إكلينيكية تمهيد لوجود المرض، أما عند الإصابة بالشكل الحاد للمرض فتظهر عادة علامات الخمول، وفقدان الشهية Inappetence، وألم بطني وإسهال مدمى أحياناً تظهر احتلاجات عصبية على هيئة ارتجافات عضلية وتقوس الظهر Opisthotonus والاستلقاء، وقد تدوم هذه الأعراض بين 2-12 ساعة، أما في حال كان سير المرض تحت حاد أو مزمن فغالباً ما تعاني الحيوانات المصابة من إسهال نزفي إلا أن الشكل المزمن للمرض نادر الحدوث (Songer, 2006; Navarro and Uzal, 2020).

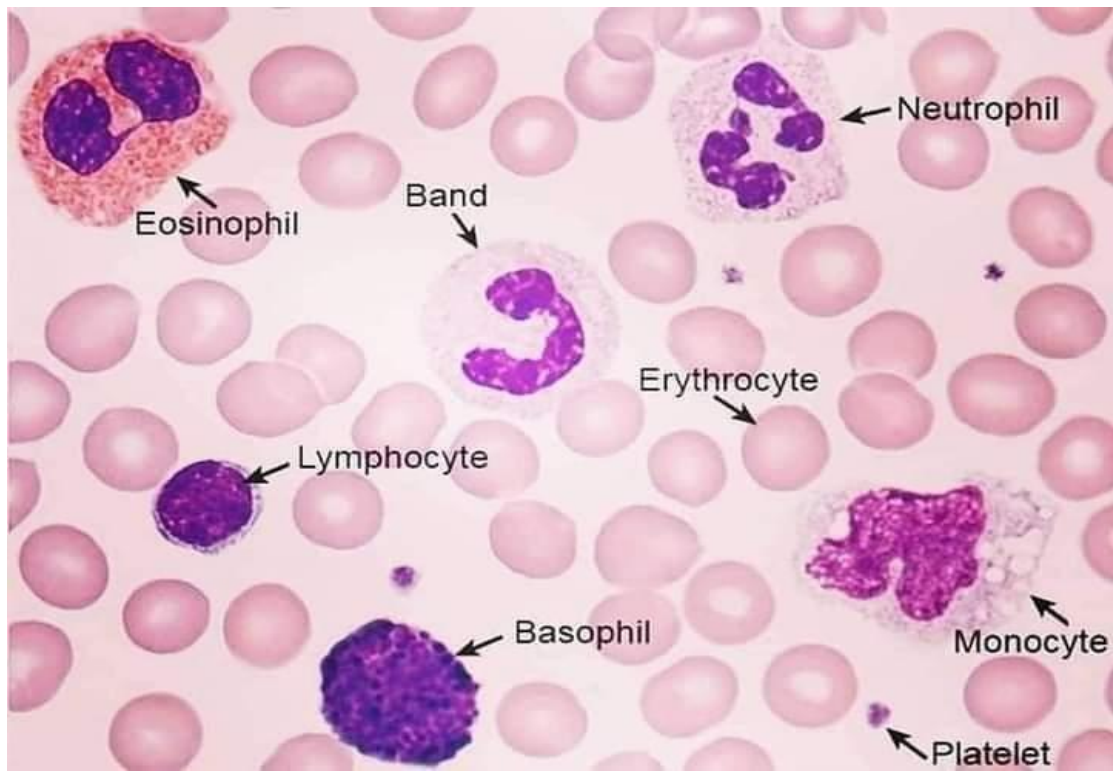
تلاحظ التغيرات التشريحية المرضية وتسجل عند إجراء الصفة التشريحية وذلك فور نفوق الحيوان أو القتل الرحيم Euthanized لتجنب التغيرات الرمية التي قد تحصل على الجثة خلال فترات بعد الموت، ومن ثم يتم إجراء عملية الخرز من الأعضاء المراد فحصها، كما تجرى عملية الاعتيان للفحص الجرثومي، ومن ثم إرسال الخزعات والعينات إلى المخبر التشخيصي لتأكيد التشخيص الإكلينيكي، حيث تجمم كمية من محتويات الأمعاء بحدود 20-10 مليلتر أو

قطعة من الأمعاء الدقيقة معقودة النهايات توضع في وعاء محكم الإغلاق وترسل إلى المختبر بالسرعة الممكنة تحت ظروف التبريد (Songer, 2006)، يمكن أن يظهر تجمع كبير لسائل مخاطي أو مدمم وجلطات فيبرينية وقرح عديدة على الغشاء المخاطي، قد تظهر أنسجة الكلية والدماغ ليونة أو نخر تميّعي، يمكن إجراء الفحص النسيجي المرضي على مقاطع الدماغ Brain Focal Sections لتأكيد تشخيص تلين الدماغ الثنائي المتاضر البؤري Symmetrical Encephalomalacia (Quinn et al., 2004; Garcia et al., 2013). يمكن أن يظهر نخر نزفي منتشر في ظهارة المنفحة والأنسجة المبطنة وقد يختلط بمحتويات قيحية Supportive ونزف حبري على عضلة القلب أو الأعضاء الأخرى وتجمع سوائل فيبرينية في كيس التامور والتجويف البطني (Uzal and Songer, 2008).

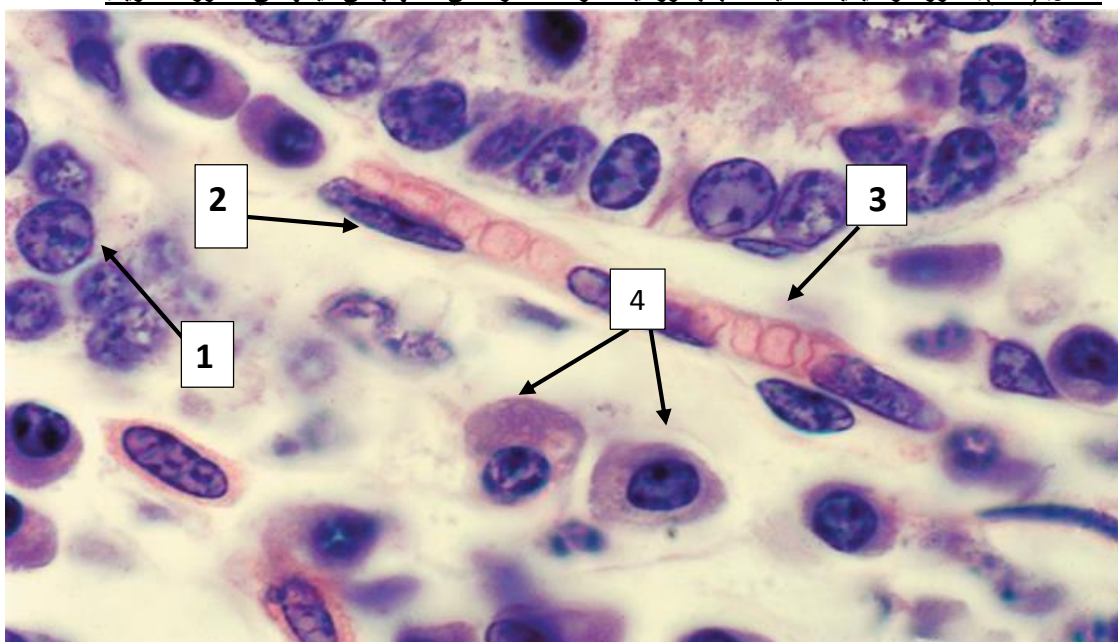
13-2- تشخيص ردود الفعل الالتهابية الخلوية:

غالباً ما يكون سير المرض عند الإصابة بالتسنم الدموي المعموي حاداً أو فوق حاد في الحيوانات ونادراً ما يكون العلاج فعالاً (Manday et al., 2020)، كشفت التحاليل الدموية لأغنام مصابة عن فقر دم شديد وزيادة في عدد الكريات البيض وبشكل خاص العدلات وارتفاع في العديد من أنزيمات الكبد، ويعتمد ارتفاع عدد الكريات البيض في الصورة الدموية على ارتفاع في عدد الخلايا العدلة في نفس الوقت الذي ينخفض فيه عدد أنواع الخلايا البيض الأخرى، ويعتبر ذلك عاملًا مساعداً في تشخيص التسمم المعموي في الأغنام، أما في الأنسجة فتشتمل التغيرات المرضية على زيادة في الخلايا العدلة، كما وجد عند الفحص المجهري في الغشاء المخاطي المعموي نخر فيبريني وحطام خلوي وخلايا التهابية من عدلات لمفاويات وأرومات ليفية (Kalender et al., 2023)، كما لوحظ في التهاب الكبد الناري انسلاخ للكريات البيض الغالب عليها الخلايا العدلة النشطة والمتحللة، كما لوحظ نخر بؤري أو متعدد البؤر محاط بكريات الدم البيضاء تتكون أساساً من العدلات المتكللة والنشطة وعدد قليل من الخلايا الملفاويه والمصورية والضامة، وجد في الكلية نخر حاد للنبيبات الكلوية الملتفة القاصية والدانية مع انسلاخ عدد كبير من الخلايا العدلة، والتهاب النسيج الخلالي الكلية إضافة إلى انسلاخ الخلايا الحبيبية والوحيدات الباعمية

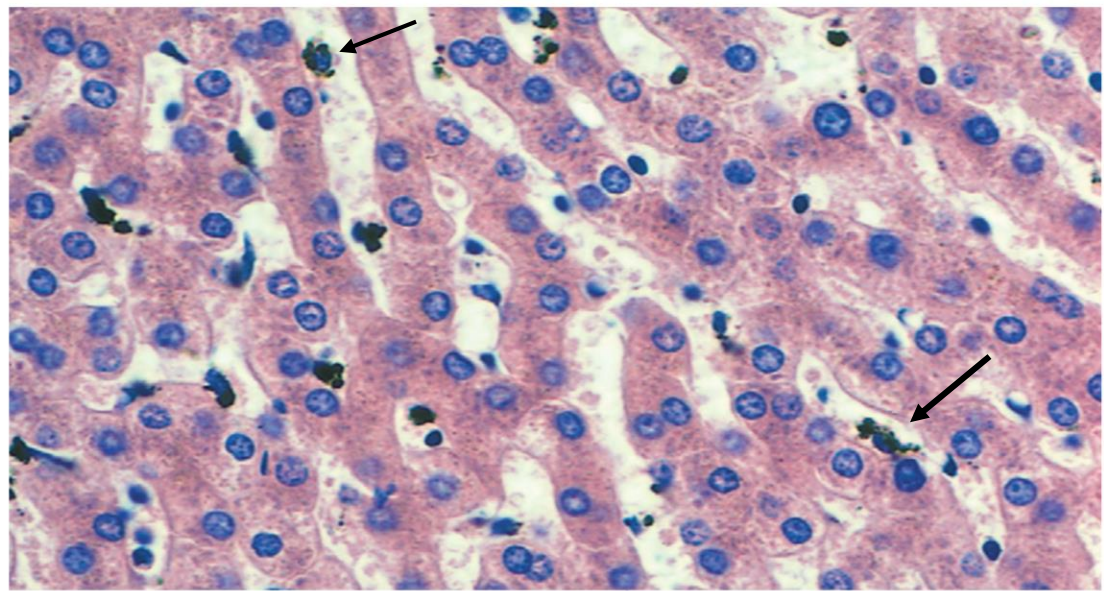
(Manday et al., 2020)



الشكل. (1-2): صورة توضيحية للخلايا المحببة ووحيدة النواة المشاركة في الالتهاب في هينتها في الصورة الدموية:



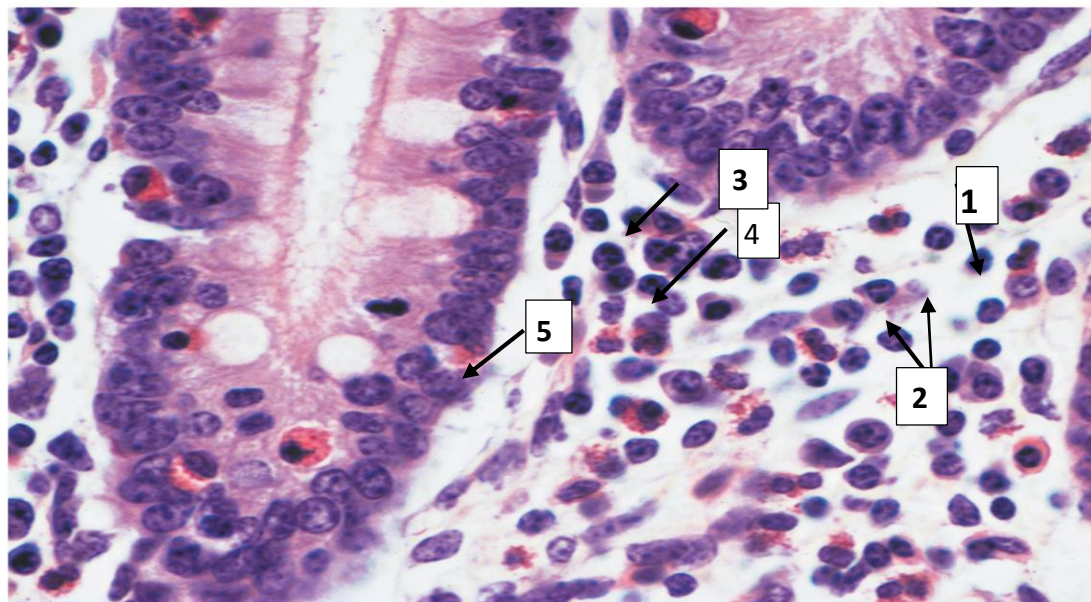
الشكل. (2-2): الثاني عشر، عند الأغnam، H&E X625 (Bacha and Linda, 2012). مقطع نسيجي في الشعيرات الدموية، الصفيحة المخصوصة، تصفف الكريات الحمراء في لمعة الشعيرات الدموية، 1. الخلايا البدينة، 2. نواة الخلية المبطنة للوعاء الدموي، 3. كريات حمراء، 4. الخلايا المتصورة.



الشكل. (3-2): مقطع نسيجي في الكبد (الأغنام). يشير السهم إلى الخلايا البلعمية المتخصصة بالكبد (خلايا كوبفر)

H&E X250

(Bacha and Linda, 2012)



الشكل. (4-2): الاثني عشر (الأغنام) نسيج ضام رخو، الصفيحة المخصوصة، خلايا التهابية مختلفة، 1. خلية مصورية
2. خلية لمفاوية.3. خلية من نوع الحمضات.4. خلية بدينة.5. نواة خلية من مولدات الليف.

H&E X520 (Bacha and Linda, 2012)

13-3- وجود الخلايا البدنية في الأنسجة Mast Cells:

الخلية البدنية (المصاربة)، الاسم العلمي Mast Cells، بالإنجليزية Mastocytes، خلية من كريات الدم البيضاء تأخذ شكل بيضاوي وتحتوي على الكثير من الحبيبات الغنية بالهستامين والهيليارين الشكل.(5-2)، وهي نوع من المحببات المشتقة من الخلايا الجذعية النامية التي تتشكل جزءاً من الجهاز المناعي والمناعي العصبي، اكتشفت على يد العالم بأول إرليش عام 1877، اعتقد قديماً أن الخلايا البدنية نوع من المحببات تقطن في النسج الضامة، لكن اتضح مؤخراً أنها

تطور من سبل اصطناع دمويّة مختلفة عن سبل نشوء وتطور الخلايا المحببة الأخرى (Ehrlich, 1878; de Silva *et al*, 2014).

يتراوح قطر الخلايا البدينة ما بين 10- 13 μm ويوجد ما يقارب 300.000 مستقبل على سطح الغشاء الخلوي للخلية البدينة، هيولى الخلية ممثلاً بحببات قاعدية Basophilic granules محاطة بغشاء يتراوح قطرها ما بين $5.0 - 0.3 \mu\text{m}$. كما تحتوي على حبيبات الهيبارين Heparin الذي يعمل على منع تخثر الدم، تحتوي مواد مثل الهيستامين Histamine، كما تحتوي على تخزين المواد المعنية في الاستجابة التهابية إضافةً إلى إطلاق مواد كيميائية تعتبر المهمة الأساسية للخلايا الصرارية هي تخزين المواد المعنية في الاستجابة التهابية إضافةً إلى إطلاق مواد كيميائية تعزز تفاعلات نفط الحساسية العاجل Immediate hypersensitivity reactions كما أنها تؤدي دوراً مناعياً مهماً أيضاً، وترتبط ارتباطاً وثيقاً بعملية شفاء الجروح وال تكون الوعائي والتحمل المناعي والدفاع ضد العوامل الممرضة كما تؤثر في النفرذية الوعائية في أورام الدماغ (Van-Khanh *et al*, 1995; Polyzoidis *et al*, 2015).

تغادر الخلايا الصرارية نخاع العظم وتتجول بشكلها الغير ناضج، حيث يتم نضجها حين تستقر في موقعها النسيجي، حيث من المحتمل أن موقع الخلايا الصرارية يحدد خصائصها الدقيقة، توجد في أغلب النسج الضامة وتحيط وصفياً بالأوعية الدموية والأعصاب (Franco *et al.*, 2010).

يتتبّه عمل الخلية البدينة بعد تعرّضها لمستضدات Antigen معينة وأجسام غريبة تسبّب الحساسية sensitivity، حيث ترتبط جزيئات أضداد الغلوبولين المناعي IgE globulins الناجمة عن الاستجابة الأولى لمستضد ما بمستقبلات الغشاء الخلوي للبدينة وبالتالي يبدأ عملها وتفرز الوسائل الكيميائية الموجودة ضمن الحبيبات، وعندما يحدث إعادة تعرّضها للمستضد ترتبط جزيئات IgE بالمستضد ومن ثم يرتبط عدد من مستقبلات IgE الموجودة على سطح غشاء الخلية البدينة بعدد من الغلوبولينات IgE تصالياً بشكل سريع، حيث يؤدي هذا إلى تنشيط أنزيم أدينيلات سيكليز Adenylate cyclase وفسفورة بروتينات نوعية، حيث تدخل شوارد الكالسيوم ويحدث لبعض الحبيبات إخراج خلوي سريع، يتم إنتاج وتحرير الليكوترينات leukotrienes من الخلية البدينة بفعل تأثير أنزيم الفوسفوليبار على الشحوم الفوسفوريّة الغشائية، ثم تنشط المكونات المحررة من الحبيبات والليكوترينات مباشرةً في البيئة المجهريّة الموضعية وتتوالى بشكل سريع العديد من التفاعلات الموضعية المنظمة التي تشكّل جزءاً من عملية التهابية تدعى تفاعل فرط الحساسية العاجل (Denburg, 1998; Michaloudi and Immediate hypersensitivity reaction Papadopoulos, 1999).

المواد والطرائق

MATERIAL & METHODS

3- مواد وطرق البحث: Material and Methods

1-3- الموارد:

1-1-3- بيئة العمل: Ergonomics

أجريت هذه الدراسة على قطيع من أغنام العواس المربأة في مركز البحوث العلمية الزراعية خلال الفترة الواقعة في أواخر العام 2021 ومنتصف العام 2022 وهو قطيع محسن بطريقة التهجين والانتخاب للصفات الإنتاجية، يربى ضمن حظائر نصف مفتوحة ونظام رعي مخصص في الصباح الباكر وبعد الظهيرة، تقدم للقطيع أعلاف بخلطات متوازنة وأعلاف جافة ضمن خطة مدرسة.

أما الحملان الوالدة فتبقى مع أمها للرضاعة حتى عمر الشهرين، ثم تختضن ساعات الرضاعة تدريجياً مع التدرج في أوقات الرعي وفي كميات الأعلاف الجافة والخلطات العلفية، كما يتم العمل على الجانب الصحي برعاية الأغنام ومراقبتها صحيحاً والقيام بمعالجة الأغنام المريضة ودعم القطيع بالمتطلبات الغذائية وإعطاء اللقاحات المدرجة ضمن الخطة الموضوعة من قبل وزارة الزراعة والإصلاح الزراعي في مواعيدها المحددة أهمها اللقاح ضد التذيفن الدموي المعوي وهو لقاح معطل يحتوي على جراثيم المطثية الحاطمة من النمط (C,D) وذفيقاتهما (معتمد من وزارة الزراعة).

3-1-3- الأغنام المدرستة: Studied sheep

تضمن البحث دراسة 16 رأساً من الحملان وأغنام العواس التي تعرضت لنفوق المفاجئ والتي يشتبه بإصابتها بمرض التذيفن الدموي المعوي من القطيع المؤلف من 436 رأس من الحملان والأغنام، وقد أعطيت الرموز (A₁-A₁₆)، و4 رأس من الأغنام السليمة والتي تؤلف مجموعة الشاهد للمقارنة، أعطيت الرموز (B₁-B₄) وتتنوعت الحالات المشتبهة المدرستة بين 6 ذكور و10 إناث وأعمار مختلفة، 14 منها بعمر يوم واحد إلى 8 أشهر، وحالة بعمر 3 سنوات وأخرى بعمر خمس سنوات، وأوزان مختلفة، بعضها تلقى اللقاح ضد مرض التذيفن الدموي المعوي وبعضها لم يُحسن وذلك حسب عمر الحملان إن كانت قد بلغت الموعد المحدد لإعطاء اللقاح، الجدول. (1-3).

جدول (1-3): الحالات المشتبهة المدروسة وجنسها وعمرها وزنها وشهر النفوق ولقاح المطثية الحاطمة:

الحالة	رقم	العمر	الجنس	الوزن/كغ (ولادة)	شهر النفوق	لقاح الإنتروتوكسيميا جرعة أولى جرعة ثانية
-	-	13 يوم	أنثى	4	كانون الأول	-
-	-	1 يوم	أنثى	4	كانون الأول	-
-	-	14 يوم	أنثى	3.5	كانون الأول	-
-	+	42 يوم	ذكر	4	كانون الثاني	-
-	-	12 يوم	ذكر	4.5	كانون الثاني	-
+ داعمة	+	3 سنة	أنثى	5.5	كانون الثاني	-
-	-	24 يوم	ذكر	4.5	كانون الثاني	-
-	+	39 يوم	ذكر	4.1	شباط	-
+	+	70 يوم	أنثى	4.1	شباط	-
+	+	70 يوم	ذكر	5	شباط	-
+	+	93 يوم	أنثى	4	شباط	-
+	+	5 شهر	أنثى	4.3	آذار	-
+ داعمة	+	5 سنة	أنثى	3.2	آذار	-
+	+	5 شهر	أنثى	4.5	أيار	-
+	+	6 شهر	ذكر	4.5	حزيران	-
+	+	8 شهر	أنثى	3.6	تموز	-

3-1-3-3- الموارد المستخدمة في الفحص الجرثومي:

تم الزرع الجرثومي باستخدام جرة اللاهوائيات Anaerobic Jar مع إضافة مغلف خاص وهو عبارة عن ظرف غازي لتأمين وسط لا هوائي.

3-1-3-1- المناوب المستخدمة في الفحص الجرثومي:

3-1-3-1-1- وسط الثيوغليكولات: Thioglycolate medium

وسط مغذي سائل يستخدم لإكتار الجراثيم التي يتطلب نموها مواد غذائية معقدة ويناسب بشكل خاص الجراثيم اللاهوائية كونه وسط مخترز للأوكسجين باحتوائه على ثيوغليكولات الصوديوم المركب المخترز واحتوائه على الحمض الأميني (L-Cysteine) الذي يعتقد أنه يحفز نمو الجراثيم ويحرز إنتاج الديفانات، كما ويحافظ على توثر منخفض للأوكسجين في الوسط (شركة هايميديا الهندية HiMedia Co.).

(Sulphite-Polymyxin-Sulfadiazine) :SPS 3-1-3-2- وسط

وسط مغذي انتقائي يستخدم للكشف عن جراثيم المطية الحاطمة، حيث تتمو عليه بشكل مستعمرات رمادية ذات مركز أسود نتيجة اختزال sulphyte الموجود ضمن الوسط إلى Sulphide الذي يتفاعل بدوره مع خلات الحديد الموجودة ضمن الوسط مكوناً سولفاید الحديد ذا اللون الأسود (شركة هايميديا الهندية Co.(HiMedia).

Blood Agar 3-1-3-3- وسط الأغار المدمي:

هو منبت غني ويعد من المنابت الغنية حيث يستخدم للكشف عن مقدرة الجراثيم على حلل كريات الدم الحمراء (شركة هايميديا الهندية Co.(HiMedia).

Peptone water 3-1-3-4- وسط ماء الببتون:

وسط سائل مغذي استخدم لإجراء اختبارات تخمر السكر واختبار حلقة الأندول، (شركة هايميديا الهندية Co.(HiMedia).

3-1-3-5- المواد والأوساط المستخدمة في الاختبارات الكيميائية الحيوية الخاصة بالمطية الحاطمة:

ماء أوكسجيني 3% لإجراء اختبار الكاتالاز لمعرفة ما إذا كانت الجراثيم تملك أنزيم الكاتالاز المفكك للماء الأوكسجيني (Koneman et al., 1988)

-ماء الببتون Pepton water استخدم في اختبار تخمر السكر واختبار حلقة الأندول (Koneman et al., 1988)

-كافاف كوفاك: استخدم في اختبار حلقة الأندول للكشف عن مقدرة الجراثيم على تفكك الحمض الأميني تريبيوفان وإطلاق غاز الأندول. (Koneman et al., 1988)

-سكاكر للكشف عن تخمير جراثيم المطية الحاطمة للسكر في الوسط (غلوکوز، لاكتوز، مالتوز، سكروز) (Koneman et al., 1988)

-مشعر أندرید Andrade Reagent: استخدم كمشعر لحموضة الوسط (PH) في اختبار تخمر السكاكر، حيث يكون عديم اللون في الوسط المتعادل ويتحول إلى اللون الوردي بعد تخمر السكر (Koneman et al., 1988).

-أقراص اختبار الأوكسيدار: من الاختبارات التشخيصية الهامة استخدم للكشف عن امتلاك المطية الحاطمة لنزيم الأوكسيدار من خلال أقراص ورقية مشبعة بمادة ألفانفتول داي ميتيل ب-فينيلين ثنائي الأمين حيث تتلون الأقراص بلون أرجواني بعد مرور عشر ثوانٍ في حال النتيجة الإيجابية، تتمثل ميكانيكيّة التفاعل بقدرة الجراثيم على أكسدة المواد الكاشفة المنتجة blue (Indophenol)، حيث تختزل الصبغة إلى اللون الأرجواني العميق (Koneman et al., 1988).

-زيت البارفين: استخدم لعزل الأوساط لتأمين بيئة لاهوائية.

3-1-3-2- الصبغات المستخدمة في الفحص الجرثومي:

1-2-3-1- صبغة غرام: (Quinn et al., 2004) Gram Stain

تستخدم بغرض صباغة الفيلم الجرثومي لدراسة الخواص الشكلية والتلوينية، وتتألف من:

Iodine solution	- محلول الأيدين	Cristal violet	-بنفسجية الكريستال
Safranin	- السفرانين	Ethanol	- كحول إيتيلي %95

3-2-2-3-1-3 صبغة راكت:

تستخدم لصباغة الأبواغ الجرثومية حيث يظهر البوغ Spore باللون الأخضر، وتألف من:

-أخضر الملاشيت	m1100 / g5 ماء مقطر
-السفرانين	ml 100 / g0.5 ماء مقطر.

3-4-1-3 المواد المستخدمة في العمل المخبري النسيجي:

3-4-1-3-1 المحاليل اللازمة للعمل المخبري النسيجي:

3-4-1-3-1-1 الفورمالين المتعادل %10 : Buffered Neutral Formalin

يستخدم هذا المحلول خطوة أولى و مباشرة لثبت الخزعات النسيجية، ويتم تحضيره بالمقادير التالية:(Luna, 1968)

Formalin 40%	100ml
Distilled water	900ml
Sodium phosphate monobasic	4gm
Sodium phosphate dibasic	6.5gm

3-4-1-3-2-1-3 كحول إيتيلي مطلق: Absolute Ethanol

تمرر العينات النسيجية عبر تراكيز مختلفة من الكحول الإيتيلي بهدف تجفيف Dehydration العينات بعد عملية الغسيل بالماء الجاري .(Lona, 1968).

3-4-1-3-3-1-3 الزايلول: Xylene

حيث تغمر العينات بالزايلول بعد عملية التجفيف بهدف إزالة محاليل التجفيف وإزالة المواد الدهنية لتشفيق Clearing العينات .(Lona, 1968).

3-4-1-3-2-2-3 شمع البرافين: Paraffin

يتم وضع العينات في البرافين الذائب (سائل بدرجة حرارة 57°C) لتم عملية صب العينات في قوالب ليسهل تقطيعها .(Lona, 1968).

3-4-1-3-3-2-3 صبغة الهيماتوكسيلين: Hematoxylin stain

تستخدم لصباغة الجزيئات القاعدية في الخلية والنسيج مثل النواة فتلونها باللون الأزرق.

3-4-1-3-4-1-3 صبغة الأيوزين: Eosinophilic stain

تستخدم لصباغة الجزيئات الحامضية في الخلية والنسيج مثل الهيولى التي تظهر باللون الوردي، بهدف تمييزها تحت المجهر الضوئي.

4-1-5- صبغة أزرق التلودين: Toluidine blue stain:

تعتبر كصبغة نوعية للخلايا البدنية وتميز حبيباتها الإفرازية باللون الوردي (Crookham and Dapson, 1991).

2- الطرائق: Methods

2-1- طرائق العمل للفحص الجرثومي:

Samples - طريقة أخذ العينات:

جمعت العينات من (16) حالة من حملان وأغنام ناقفة ومشتبه بإصابتها بمرض التذيف الدموي المعاوي من قطيع أغنام العواس، بعد تسجيل الأعراض تم تشريج الأغنام الناقفة وتسجيل الصفات العيانية وتوثيقها بالصور ومن ثم تم أخذ العينات التي تضمنت قسمين من العينات:

1- عينات للفحص الجرثومي من وسط الأمعاء الدقيقة، الغليظة، متن الكبد، متن الكلية من كل حالة مدرستة بهدف التحري عن جراثيم المطية الحاطمة ومن ثم تم نقلها بالسرعة الممكنة لتحضيرها في مخبر الأحياء الدقيقة في كلية الطب البيطري - جامعة حماة.

أخذت العينات من الأمعاء بجانب مصدر لهب من خلال تاهيب سطح قطعة من الأمعاء بواسطة ماسحة قطنية مع أنبوب معقم مجهز بمرق الثيوغليكولات مسبقاً تحسباً لحالة النفوق المفاجئ وإجراء شق بواسطة مشرط جراحي معقم ومن ثم فتح طرف الشق بمقطر معقم وإدخال الماسحة لأخذ العينة من وسط الأمعاء ووضعت مباشرة في الأنابيب الخاص بالماسحة القطنية والحاوي على مرق الثيوغليكولات، تم أخذ عينات من الأمعاء الدقيقة ومن الأمعاء الغليظة كل على حدا من كل حالة.

أما عينات الكبد والكلية فقد أخذت بعد تاهيب سطح العضو، ثم تم العمل على إجراء شق بواسطة مشرط جراحي معقم وتم فتح طرف الشق بمقطر معقم وإدخال ماسحة قطنية لأخذ العينة من داخل متن الكبد ووضعت في أنابيب الثيوغليكولات وأغلقت بإحكام.

2- وقد تم أخذ عينات نسيجية من أعضاء الحالات الناقفة (الأمعاء- الكبد- الكلية) أثناء التشريج مباشرة بعد النفوق وحالات الشاهد بعد الذبح مباشرة، تم تثبيت العينات في عبوات مجهزة بالفورمالين المتعادل 10% ومن ثم نُقِّلت معاملتها مخبرياً في مخبر التشريح المرضي في كلية الطب البيطري - جامعة حماة.

تم أخذ عينات نسيجية من الأمعاء عن طريق فتح قطعة من الأمعاء واقتاصاصها بواسطة مقص جراحي بقياس 1 سم² وتم غمر القطعة في وعاء من الماء النظيف لغسلها من محتويات الأمعاء دون تمرير الماء الجاري لتلافى تطبيق ضغط يغير من الحالة النسيجية للأمعاء المتهتكة بتأثير المرض والحفاظ على حالتها النسيجية كما هي، ثم تم العمل على فردها في مصفاة عينات نسيجية صغيرة وثبتتها بإغلاق المصفاة ووضعت في عبوة 100 مل مجهزة مسبقاً بالفورمالين المتعادل 10% وتم تسجيل رقم الحالة على العبوة والتاريخ والوقت والعضو من الحالة وتم استكمال العمل عليها مخبرياً في مخبر التشريح المرضي في كلية الطب البيطري، كما تم أخذ عينات من الكبد

باقتصاص قطعة من الكبد بقياس 1 سم³ من محفظة الكبد إلى الداخل وقطعة أخرى من متن الكبد وتم العمل عليها كما سبق مع عينات الأمعاء.

كما تم أخذ عينات من الكلية من كل حالة بالطريقة التي اتبعت لأخذ العينات النسيجية من الكبد.

3-2-1-2-المسحات المباشرة: Direct Smears

أجري فحص المستعمرات الجرثومية النامية المشتبه بالمطثية الحاطمة على الأوساط الصلبة بتحضير لطخات جرثومية على شريحة زجاجية بوضع قطرة من ماء مقطّر وتم تثبيت اللطخة باللهب وتمّت صباغتها بصبغة غرام وتمّ تجفيفها ثمّ فحصت بالعدسة الزيتية الغاطسة لمشاهدة عصيّات إيجابيّة الغرام (Quinn *et al.*, 2004).

Culture media 3-1-2- تحضير الأوساط الزرعية المستخدمة في الزرع الجرثومي preparation

3-1-3-1- تحضير وسط ماء البeton: Peptone water

تم تحضير هذا الوسط بحل (15) غ من وسط البeton الجاف في ليتر من الماء مقطّر في حوجلة والتسخين حتى تمام الانحلال ومن ثم تم التعميق بوضع المحضر في جهاز الأتووغلاف بدرجة حرارة 121م تحت تأثير ضغط مطبق وقدره 15 باوند/إنش² لمدة 15 دقيقة ثم وضع جانباً ليبرد حتى الدرجة 25م ويحفظ في درجة حرارة 15-25م في مكان مظلم وجاف وذلك وفق تعليمات الشركة المصنعة (HiMedia) وقد استخدم هذا الوسط في اختبارات تخمر السكاكر وختبار حلقة الأندول.

3-1-3-2- تحضير وسط الثيو غليوكولات: Thioglycolate medium

تم تحضير هذا الوسط بحل (29.75) غ من وسط الثيو غليوكولات الجاف في ليتر من ماء مقطّر في حوجلة زجاجية وتم تسخين المزيج للمساعدة على انحلال المواد ومن ثم تم التعميق باستخدام الأتووغلاف بدرجة حرارة 121م تحت تأثير ضغط مطبق وقدره 15 باوند/إنش² لمدة 15 دقيقة ثم وضع جانباً ليبرد حتى الدرجة 25م ويحفظ في درجة حرارة 15-25م في مكان مظلم وجاف وذلك وفق تعليمات الشركة المصنعة (HiMedia) وقد استخدم هذا الوسط من أجل تنسيط عملية إكثار وتغذية جراثيم المطثية الحاطمة في وسط مختزل للأوكسجين ومن ثم تحضيرها لمدة 48 ساعة.

3-1-3-3- تحضير وسط الأغار الدموي: Blood agar

تم تحضير وسط الأغار المدمم من خلال حل (40) غ من وسط الأغار الدموي الجاف في ليتر من ماء مقطّر في حوجلة زجاجية ومن ثم تم تسخين الوسط لتمام الانحلال وتم تعميق الوسط في الأتووغلاف بدرجة حرارة 121م تحت تأثير ضغط مطبق وقدره 15 باوند/إنش² لمدة 15 دقيقة ثم وضع جانباً ليبرد حتى الدرجة 50م ومن ثم وضعت الحوجلة الحاوية على الوسط في حمام مائي بدرجة 45-50م حيث أضيف إلى الوسط 7% دم أغنام أخذ من كباش ذات صحة جيدة من قطيع الأغنام الموجود في مركز البحوث العلمية الزراعية بحماة وقد تم سحب الدم من الوريد الوداجي للكباش ومن ثم تم نزع ألياف الفيبرين من دم الأغنام باستخدام كرات زجاجية معقمة، الشكل. (2-3).

حضر الوسط وفق تعليمات الشركة المصنعة (HiMedia) ويستخدم هذا الوسط للكشف عن خاصية التحلل الدموي ثانوي النطاق لجراثيم المطثية الحاطمة.

(Sulphite - Polymyxin – Sulfadiazine):SPS

تم تحضير وسط الأغار المدمم من خلال حل (40.03) غ من وسط الأغار الدموي الجاف في ليتر من ماء مقطر في حوجلة زجاجية ومن ثم تم تسخين الوسط ل تمام الانحلال وتم تعقيم الوسط في الأوتوفلافل بدرجة حرارة 121°C تحت تأثير ضغط مطبق وقدره 15 باوند/إنش² لمدة 15 دقيقة ثم تم صب الوسط إلى جانب اللهب في أطباق بيتربي ذات قطر 9 سم وتركت لتبرد وتتصلب ثم أغلقت الأطباق تم تغليفها بأكياس عقيمة محكمة الإغلاق ووضعت في مكان بارد ومظلم. الشكل. (3-3).

حضر الوسط وفق تعليمات الشركة المصنعة (HiMedia) ويُستخدم هذا الوسط للزرع الجرثومي لجراثيم المطثية الحاطمة والكشف عن شكل وحجم المستعمرات النامية.

4-1-2-3- تحضير الأوساط والمواد الازمة لاختبارات البيوكيميائية:

(Koneman et al., 1988) Catalase Test:

تم إجراء هذا الاختبار على شريحة زجاجية بنقل مستعمرة جرثومية حديثة التكون وفردها على الشريحة الزجاجية ثم يوضع عليها قطرة من الماء الأوكسجيني 3% فقط يظهر النتيجة خلال ثوانٍ قليلة حيث تكون إيجابية بظهور فقاعات غازية فيدل ذلك على قدرة الجراثيم على إفراز أنزيم الكاتالاز المفكك للماء الأوكسجيني وتكون النتيجة سلبية بعدم تشكيل الفقاعات وتكون بذلك الجراثيم غير مفرزة لهذا الأنزيم مثل جراثيم المطثية الحاطمة.

(Koneman et al., 1988) Oxidase Test:

يستخدم هذا الاختبار للكشف عن امتلاك الجراثيم لأنزيم الأوكسيداز وهو من الاختبارات الهمامة في التشخيص الجرثومي وقد تم إجراء هذا الاختبار باستخدام أقراص ورقية مشبعة بمادة ألفا النقفول داي ميثيل ب-فينيلاين ثـاني الأمـين Alpha-naphthol and dimethyl-p-phenylenediamine) حيث تظهر النتيجة خلال عشر ثوانٍ وتكون إيجابية بتلون هذه الأقراص باللون الأرجواني ولا تتلون في حال كانت النتيجة سلبية كما في حال اختبار جراثيم المطثية الحاطمة.

(Koneman et al., 1988) Indole Reaction:

تم العمل على اختبار الأندول بتحضير معلق جرثومي مؤلف من أنبوب حاوي وسط على ماء الببتون يضاف إليه مستعمرة من جراثيم المطثية الحاطمة بواسطة لوب معدني ويتم تحضيره لاهوائياً لمدة 24 ساعة بدرجة حرارة 37°C ثم يتم إضافة 0.5 مل من كاشف كوفاك kovac's reagent وفي حال تكون حلقة حمراء على سطح المعلق فالنتيجة إيجابية وتكون النتيجة سلبية عندما تكون الحلقة باللون الأصفر حيث أن جراثيم المطثية الحاطمة سلبية الأندول.

4-4-1-2-3- اختبار تخمّر السكاكر: (Koneman et al., 1988)

تم العمل على اختبار تخمّر السكاكر بتحضير 4 أوساط من ماء البيتون أضيف لكل منها 0.5% من أحد السكاكر المختبرة (غلوکوز، سکروز، لاکتوز ومالتوز) كما تم إضافة كاشف أندرید Andrade Reagent عديم اللون كمشعر حموضة للوسط (PH) ثم تم إضافة زيت البرافين المعقم لتأمين وسط لاهوائي ونتيجة لفعل الجراثيم التي تخمر السكر المضاف في الوسط كجراثيم المطثية الحاطمة - تنخفض حموضة الوسط ويغير لون الوسط إلى اللون الذهري وتكون النتيجة إيجابية.

5-1-2-3- إجراءات زرع وعزل المطثية الحاطمة: *Clostridium perfringens*

تم تحضير جميع المسحات المأخوذة من العينات والمزروعة في وسط مرق الثيوغليكولات، الشكل. (B1-3) في وسط لاهوائي باستخدام جرة اللاهوائيات Anaerobic Jar بدرجة حرارة 37°C ولمدة 24-48 ساعة، الشكل. (C1-3) وذلك بإضافة مغفات الزر العلاج اللاهوائي، الشكل. (3-2) منتج من شركة Bection Dickinson USA أو عن طريق إخلاء الأوكسجين بلهب الشمع. (Kiu et al., 2023). الشكل. (C 1-3)، حيث تم استخدام كلتا الطريقتين.

أخذت عينة من معلق الجراثيم في مرق الثيوغليكولات وتم العمل على زرع العينة على أطباق منبت SPS وحضرت لاهوائياً بدرجة حرارة 37°C لمدة 24-48 ساعة حيث لوحظ نمو مستعمرات كبيرة، ملساء Smooth، محدبة Convex، متناسقة Regular، عاتمة Slightly، ذات سطح محزز بشكل شعاعي striated border، flat وحدود رقيقة transparent border، وقد لوحظ في تكون المستعمرة ذات سطح خشن كورق العنبر rough vine leaf colony وبعض المستعمرات وجود مركز أسود على منبت SPS. (Kalender et al., 2023).

بينت اللطخات المحضّرة من مستعمرات المطثية الحاطمة المعزولة على المنابت الصلبة والتي صُبّغت بصبغة غرام وجود أعداد كبيرة من جراثيم كبيرة الحجم عصوية الشكل ثخينة ذات نهايات مدورّة تأخذ الصبغة البنفسجية بشدّة، انتظمت العصيّات بشكل مفرد أو مزدوج أو بشكل سلاسل قصيرة أو طويلة، ظهرت العصيّات متبوّعة في بعض المسحات المصبوغة بصبغة غرام حيث بدت الأبواغ بلون باهت قرب انتهائيه Subterminal وسبب انفاخاً في شكل العصيّة، أو بصبغة راکت حيث تلوّن البووغ باللون الأخضر وتلوّن باقي العصيّة باللون الوردي. (Quinn et al., 2004)

ثم نقلت بعدها المستعمرات إلى وسط الأغار المدمى Blood Agar بهدف عزل وتنقية جراثيم المطثية الحاطمة وحضرت في وسط لاهوائي لمدة 24-48 ساعة بدرجة حرارة 37°C وتميز هذه الجراثيم بظهور مستعمرات ذات تحلل دموي ثنائي النطاق Double zone of hemolysis، منطقة داخلية تشير إلى تحلل دموي كامل (تحلل بيتا Beta hemolytic toxin) بتأثير Theta toxin.

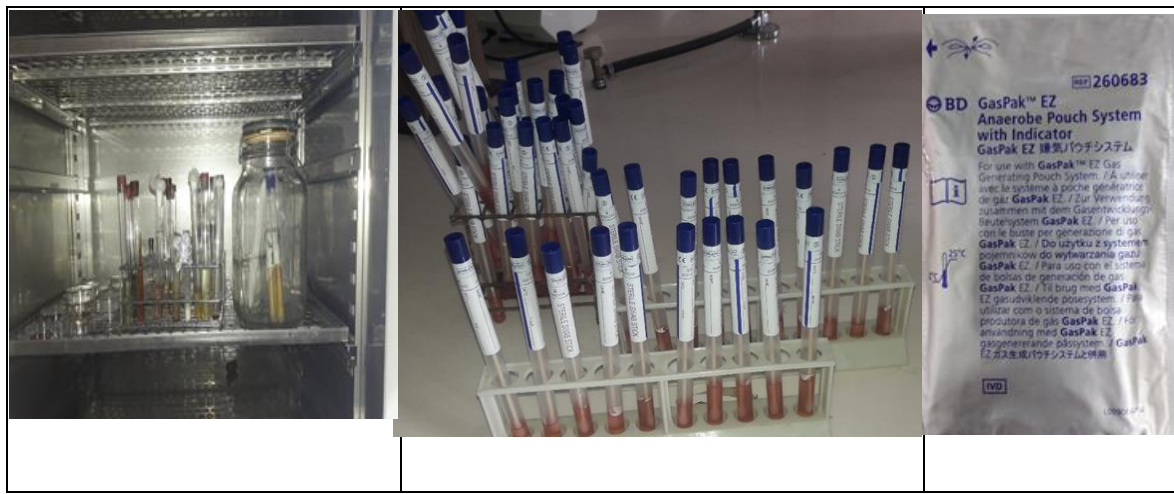
ومنطقة خارجية واسعة تشير إلى تحلل دموي جزئي (تحلل ألفا Alpha) بتأثير (Kiu et al., 2023) Alpha toxin

حضرت المستعمرات المعزولة والمنقاة سابقاً لمجموعة من الاختبارات الكيميابيولوجية بهدف تحديد هوية المطثية الحاطمة وتضمنت عدة اختبارات مثل اختبار الكاتالاز، الأوكسيداز، حلقة الأندول، واختبار تخمر السكاكير (غلوکوز، سكروز، لاكتوز، مالتوز)، (Quinn et al., 2004).

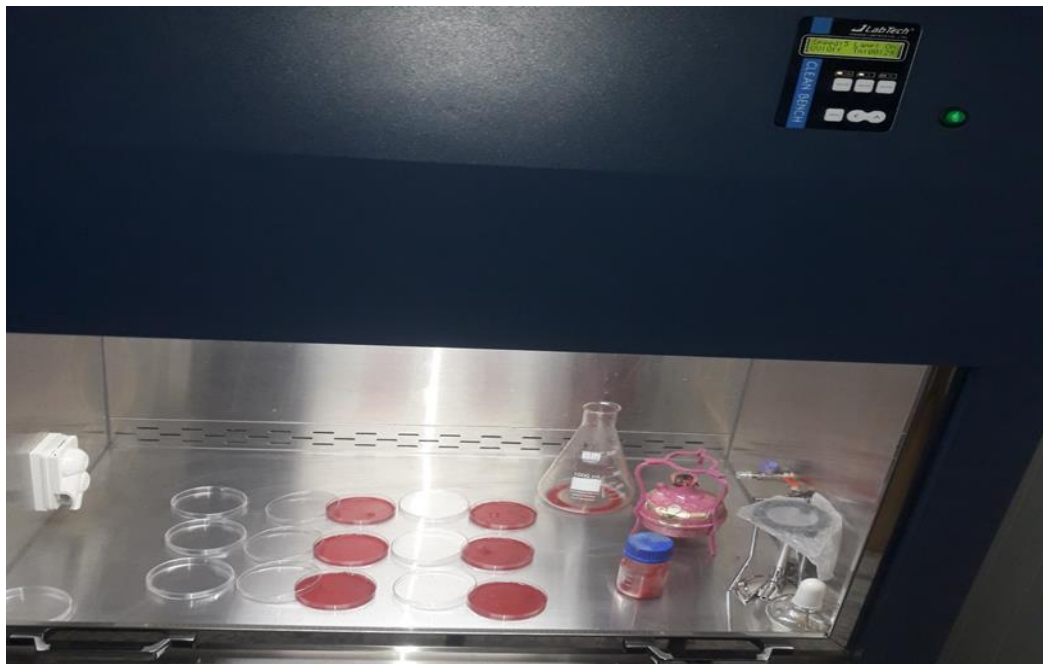
الجدول (3-2): يوضح الاختبارات الكيميا حيوية للمطثية الحاطمة.

الجدول (3-2): الاختبارات الكيميا حيوية للمطثية الحاطمة (Quinn et al., 2004)

حلقة الأندول	تخمر السكاكير				الكاتالاز	الأوكسيداز	الاختبار
	مالتوز	غلوکوز	لاكتوز	سكروز			
-	+	+	+	+	-	-	النتيجة



الشكل (1-3): A مغلفات التررع اللاهواني، B أنابيب مجهزة بمرق الثيوجليكولات، C تحضين لاهواني باستخدام لهب الشمع



الشكل. (2-3): تحضير بعض أطباق الأغار المدمي:



الشكل. (3-3): تحضير أطباق وسط SPS:

3-1-5-1- دراسة الخواص الشكلية والتلوينية:
جراثيم عصوية ذات نهايات مقطوعة على شكل سلاسل قصيرة أو طويلة متوجة أحياناً وقد ظهرت الأبواغ في عدة شرائح وذلك بعد صبغها بصبغة غرام.

3-2-5-1-2-2- دراسة الخواص البيوكيميائية لمستعمرات المطثية الحاطمة المعزولة: Biochemical Tests

تمت دراسة الخواص الكيميابиولوجية لمستعمرات المشتبه كما ذكر آنفًا، وعندما تم التأكد من هوية الجراثيم الحاطمة تم العمل على تنقية المستعمرات من العزلات لأكثر من مرة على منبت ال SPS إلى أن تم الحصول على مستعمرات نقية وتم حفظ العزلات ضمن انبوب بندورف للفيام بحفظها بالتبريد كجراثيم مسببة للمرض، الشكل. (3-4)، يوسيط مؤلف من 850 μl غليسيرين و 150 μl ثيوغليكولات بدرجة حرارة -70°C (Kalender *et al.*, 2023).



الشكل. (4-3): الزرع والتنقية:

3-2-2-3- طرائق فحص التغيرات التشريحية المرضية:

3-2-2-3-1- الأعراض الأكلينيكية والصفات العيانية:

تم شريح الأغنام النافقة والمشتبه بإصابتها بالتدفيف الدموي المعموي فور نفوقها، وتمت ملاحظة التغيرات التشريحية المرضية الظاهرة على جسم الأغنام من الخارج وعلى الأعضاء وتجاويف الجسم بعد تشريحها كما تم توصيفها وتوثيقها بالصور.

3-2-2-2- تحضير المقاطع النسيجية للفحص المجهرى (Luna, 1968; Haidekker, 2013):

استُكمِل العمل على العينات Sampling النسيجية التي تم أخذها وتنبيتها Fixation بالفورمالين 10% المتعادل فور نفوق الأغنام، الشكل. (3-5)، وذلك بعد التأكد من إيجابية الإصابة بالمطية الحاطمة، حيث أجريت المراحل التالية، الشكل. (3-6):

3-2-2-2-1- الإسقاء (الغسيل): Rehydration

تم العمل على إسقاء العينات في الماء الجاري لمدة تصل لـ 24 ساعة، وذلك لإزالة محلول المثبت (الفورمالين).

3-2-2-2-2- التجفيف: Dehydration

حيث مررت العينات النسيجية عبر محلائل ذات تراكيز متضاعفة من الكحول الائتيلي Ethanol لمدة ساعتين في كل تركيز، بهدف سحب الماء من النسيج على النحو التالي: 75%， 90%， 95%， 100%، 100%، 100%، حيث تعبّر هذه النسبة عن نسبة الكحول المطلق إلى الماء المقطّر.

3-2-2-2-3- التشفيف: Clearing

غمّرت العينات بعد تجفيفها في محلول التشفيف الزايلول Xylene وذلك عبر ثلاثة أو عيّنة حاوية على الزايلول (زايلول1، زايلول2، زايلول3) لمدة 3 ساعات لكل وعاء من الزايلول.

3-2-2-2-4- الإدماج بالبرافين (التشريب): Embedding Paraffin

تم تشريب العينات بعد عملية التشفيف بالبرافين السائل بوضعها في محمّم البرافين بدرجة حرارة 57°C على النحو الآتي (برافين1، برافين2، برافين3) لمدة 3 ساعات في كل برافين، تمّ بعد ذلك صبّ العينات مع الشمع في قوالب صغيرة خاصة تناسب جهاز التقطيع كما في الشكل. (3-7).

3-2-2-2-5- التقطيع: Sectioning

تم العمل على تقطيع العينات عبر جهاز الميكروتوم Microtome بسمك 3 ميكرون ورصّفها على شرائح زجاجية وتجفيفها فيما بعد، تم تجهيز العديد من الشرائح النسيجية لكل عيّنة من العينات للقيام بتجهيز قسم منها لفحص التغيرات المرضية وقسم منها لفحص ردود الفعل الالتهابية وقسم آخر لفحص الخلايا البدنية.

3-2-2-6- صباغة المقاطع النسيجية بصبغة الهيماتوكسيلين والأيوzin: and Eosin stain Hematoxylin

صبغ قسم من الشرائح النسيجية بصبغة H&E بغية قراءة التغيرات المرضية التي طرأت على الأنسجة من الأمعاء والكبد والكلى تحت المجهر الضوئي، كما صبغ قسم منها لقراءة ردود الفعل الالتهابية في هذه الأنسجة بتمريرها في محليل الصباغة على النحو التالي:

Xaylene1, Xaylene2, Absolute ethanol1, Absolute ethanol2, Ethanol95%, Ethanol 90%, Ethanol 80%, Ethanol 70%, Hematoxylin, Eosin, Ethanol 70%, Ethanol 80%, Ethanol 90%, Ethanol 95%, Absolute ethanol1, Absolute ethanol2, Xaylene1, Xaylene2.

3-2-2-7- صباغة مقاطع نسيجية بصبغة أزرق التلودين: Toluidine blue stain

صبغت مجموعة من الشرائح النسيجية بصبغة أزرق التلودين بهدف دراسة الخلايا البدنية شـ كائـاً ومدى وجودها تحت المجهر الضوئي في الأنسجة المصابة، وذلك بتمريرها عبر محليل المكونة للصبغة ضمن دقائق محددة لكل مرحلة، وهي بالترتيب، الشكل. (8-3):

Xaylene1, Xaylene2, Absolute ethanol1, Absolute ethanol2, Ethanol95%, Ethanol 90%, Ethanol 80%, Ethanol 70%, Toluidine blue stain Ethanol 70%, Ethanol 80%, Ethanol 90%, Ethanol 95%, Absolute ethanol1, Absolute ethanol2, Xaylene1, Xaylene2.



الشكل. (5-3): العينات النسيجية متبعة في الفورمالين



الشكل. (7-3): الادماج بشمع البرافين في قوالب صغيرة.



الشكل. (6-3): تمرير العينات في الزايتول والكحول.



الشكل. (8-3): تحضير صبغة أزرق التلودين.

3-3. التحليل الإحصائي: Statistical Analysis

تم إجراء التحليل الإحصائي لمقارنة النسب المئوية بين المجموعات المدروسة فيما بينها باستخدام اختبار مربع كاي Chi-Square Test في البرنامج الإحصائي SPSS 20 حيث اعتبرت الفروقات معنوية عند مستوى الاحتمالية $P<0.05$.

كما تم استخدام اختبار T-Student لمقارنة المتوسطات الحسابية بين المجموعات المدروسة باستخدام البرنامج الإحصائي SPSS 20 حيث اعتبرت الفروقات معنوية عند مستوى الاحتمالية $P<0.05$.

النتائج

RESULTS

4- النتائج: Results

صنفت العلامات المسجلة على الحيوانات المدروسة بعد إجراء العزل الجرثومي للمطية الحاطمة إلى تغيرات إكلينيكية ظهرت على الأغنام المصابة قبل النفوق، وتغيرات مرضية عيانية خارجية، وتغيرات تشريحية مرضية عيانية للأعضاء الداخلية، وتغيرات تشريحية مرضية مجهرية، وردود فعل التهابية، ومشاهدات للخلايا البدينة بعد صباغتها بصبغة تمييزية.

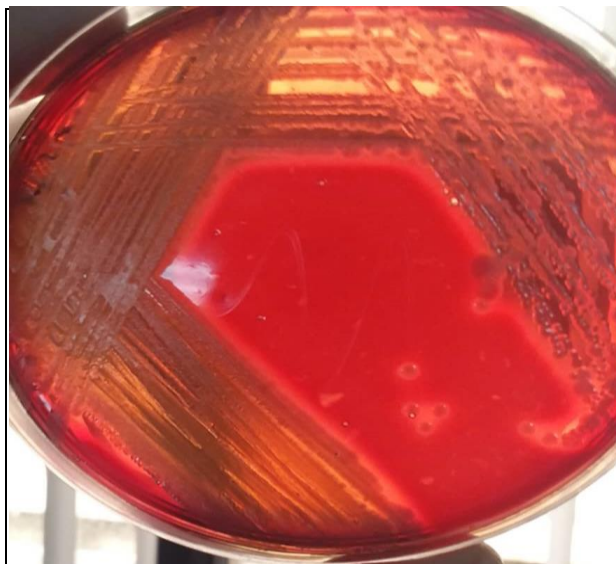
4-1- نتائج العزل الجرثومي:

أظهرت نتائج العزل الجرثومي لـ 64 عزلة جرثومية أخذت من الأغنام النافقة والمشتبه بإصابتها والتي ظهرت عليها أعراض الإصابة بالتدفيف الدموي المعموي نتيجة إيجابية لوجود جراثيم المطية الحاطمة وذلك لـ 16 عينة أخذت من الأمعاء الدقيقة من كل حالة و 16 عينة أخذت من الأمعاء الغليظة و 11 عينة من 16 أخذت من الكبد و 11 عينة من 16 أخذت من الكلية مبينة في الجدول. (1-4)، وذلك وفق الاختبارات التشخيصية الجرثومية المختلفة فقد نمت المستعمرات على منبت SPS الشكل. (1-4)، وأظهرت تحلل دموي ثبائي النطاق على الأغوار المدمى الشكل. (2-4)، كما أسفرت نتائج الاختبارات الكيمياح giose الت نوعية لجراثيم المطية الحاطمة عن نتيجة سلبية للعزلات لدى اختبارات حلقة الأندول والكاتالاز والأوكسidiاز، الشكل. (3-4)، وقد أثبتت نتيجة إيجابية لاختبار تخمر السكاكر حيث كانت مخمرة للسكاكر الغلوكونز، السكروز، اللاكتوز، المالتوز، وذلك بتحول لون الوسط من عديم اللون إلى اللون الوردي بدلالة كاشف أندرييد، الشكل. (5-4)، وشوهدت جراثيم المطية الحاطمة كعصيات إيجابية الغرام في المسحات المأخوذة من المنابت الزرعية الشكل. (4-4).

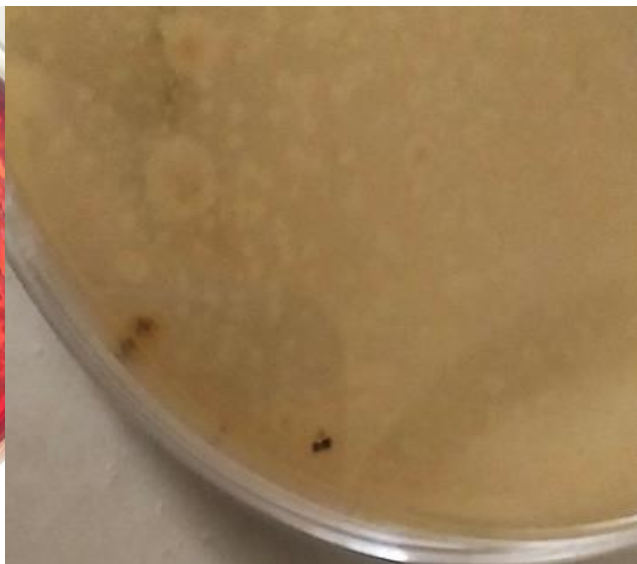
أما بالنسبة للعزلات التي أخذت من 4 حالات لأغنام سليمة كمجموعة شاهد فقد كانت نتائج الفحص الجرثومي سلبية لوجود جراثيم المطية الحاطمة 4 عينات أخذت من الأمعاء الدقيقة وسلبية لعينتين من 4 عينات أخذت من الأمعاء الغليظة وسلبية لـ 4 عينات أخذت من الكبد وسلبية لـ 4 عينات أخذت من الكلية، وكانت عينتان إيجابية للعزل من الأمعاء الغليظة من أصل أربع عينات، مبينة في الجدول. (1-4)،

جدول. (4-1): نتائج الفحص الجرثومي للعينات من الشاهد (4 حالات) والعينات من الأغنام النافقة والمشتبه بإصابتها (16 حالة).

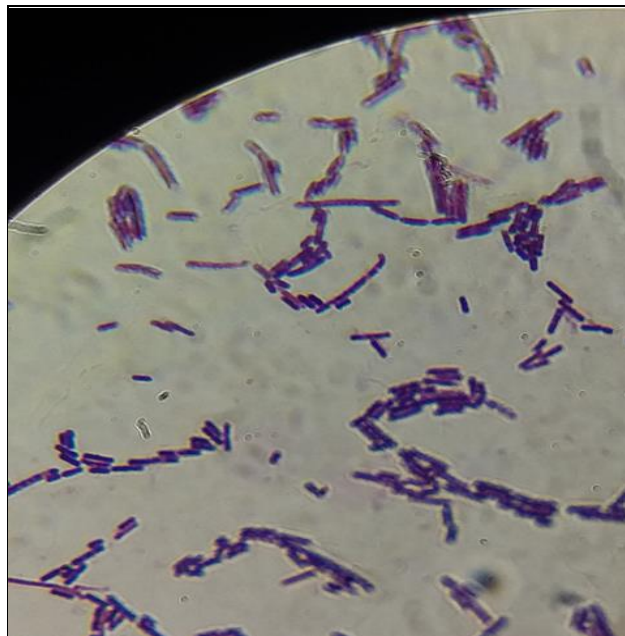
الحالات الإيجابية نتيجة العزل	عدد الحالات الإيجابية		العضو الذي عزلت منه العينات
	حالات النافقة	حالات الشاهد	
جميع الحالات النافقة.	16	0	الأمعاء الدقيقة
B2-B3 ، وجميع الحالات النافقة.	16	2	الأمعاء الغليظة
الحالات النافقة عدا (A1, A5, A6, A10, A11).	11	0	الكبد
الحالات النافقة عدا (A1, A5, A6, A7, A10)	11	0	الكلى



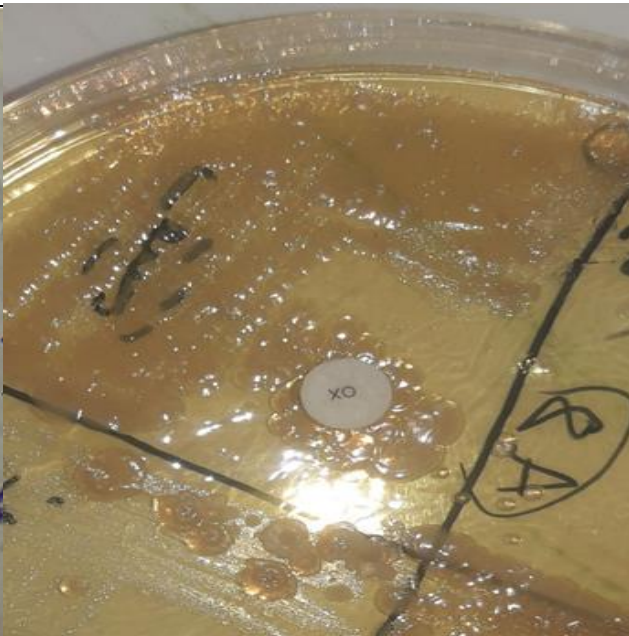
الشكل. (4-2): تحمل دموي ثانى النطاق على الأغار الدموي.



الشكل.(4-1): مستعمرات رمادية ذات مركز أسود على وسط SPS.



الشكل. (4-4): عصيات المطية الحاطمة إيجابية الغرام مفردة أو بسلاسل قصيرة أو سلاسل طويلة.



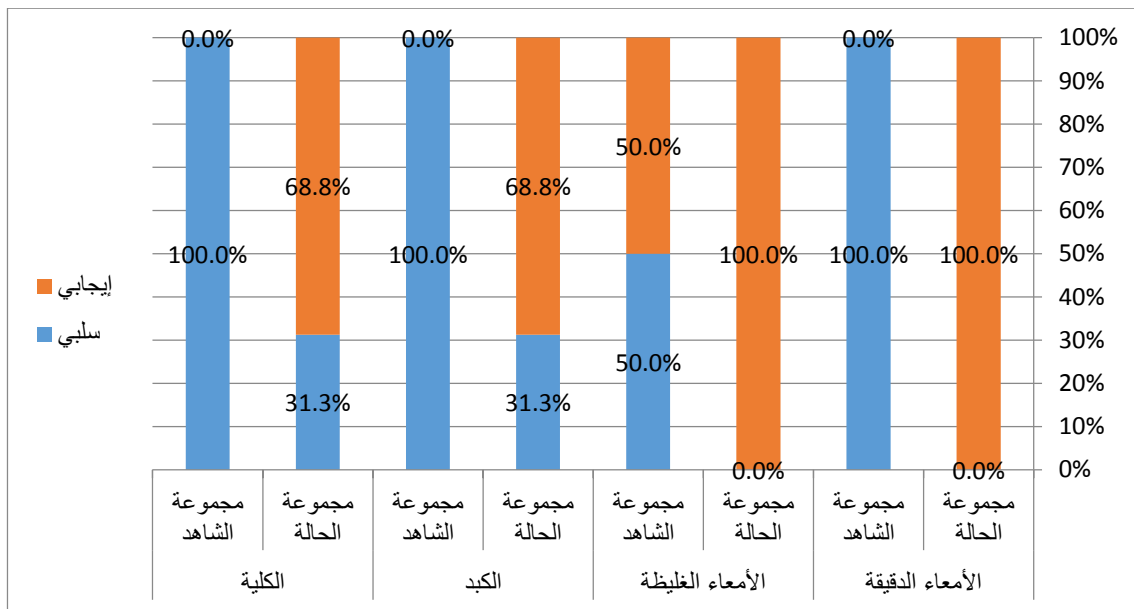
الشكل. (4-3): مستعمرات المطية الحاطمة سلبية الأوكسيداز.
(قرص الأوكسيداز بلونه الأبيض ولم يتغير لون المشعر)



الشكل. (5-4): اختبار السكاكر ، تظاهر باللون الذهري الإيجابي لمشعر أندريلد لتخمر السكاكر.

4-1-4- نتائج التحليل الإحصائي لنتائج الزرع الجرثومي:

للحظ وجود فروقات معنوية عند $P < 0.05$ عند المقارنة بين العينات المأخوذة من كل من الأمعاء الدقيقة والأمعاء الغليظة والكبد والكلى في مجموعة الأغنام الناقفة ومجموعة الشاهد فقد كانت نسبة العينات الإيجابية المأخوذة من الأمعاء الدقيقة للأغنام الناقفة 100% بينما كانت نسبة العينات الإيجابية لدى الأغنام السليمة 0%， ونسبة العينات الإيجابية المأخوذة من الأمعاء الغليظة للأغنام الناقفة 100% بينما كانت 50% في الأغنام السليمة، ونسبة العينات الإيجابية المأخوذة من الكبد للأغنام الناقفة 68.8% بينما كانت 0% في الأغنام السليمة، ونسبة العينات المأخوذة من الكلى للأغنام الناقفة 68.8% بينما كانت 0% في الأغنام السليمة، كما هو مبين في الجداول أدناه.



مخطط (4): النتائج الإحصائية للزرع الجرثومي

4-2- العلامات الإكلينيكية والصفات التشريحية العيانية المشاهدة على الأغnam المصابة بـإصابتها:

4-1-2-4- الأعراض الإكلينيكية التي ظهرت على الأغnam المصابة قبل النفوق:

للحظ أنَّ أغلب الحالات المريضة أنها كانت تعاني من أعراض عامة مثل الخمول Dullness وصعوبة في التنفس والlahas والاستلقاء على الأرض Recumbence وصعوبة في التنفس وتقوس الظهر Opisthotonus وبعض الأعراض الهضمية كضعف الشهية والعزوف عن الرضاعة أو تناول الطعام والمغص المفاجئ والمغص الشديد، وتقوس الظهر، كما لوحظت بعض الاختلاجات العصبية Convulsions في بعض الحالات كان أهمها دفع الرأس إلى الخلف والأرجل إلى الأمام وارتخاء في القوائم الأربع والتجذيف بالأرجل والرقود وعدم القدرة على الوقوف وتكرر الفم، وقد استمرت هذه الأعراض لعدة ساعات أو يوم واحد أو يومين ومن ثم النفوق، وفي البعض منها كانت في مرحلة الغيبوبة ما قبل النفوق Terminal coma، وفي حالتين منها لم يلاحظ عليها أي عرض مرضي سوى قفزة مفاجئة قبل النفوق، وقد كان من الواضح على اثنتين منها الحالة الصحية الجيدة جداً وأنها كانت الأفضل من بين أقرانها.

4-2-4- التغيرات المرضية العيانية الخارجية:

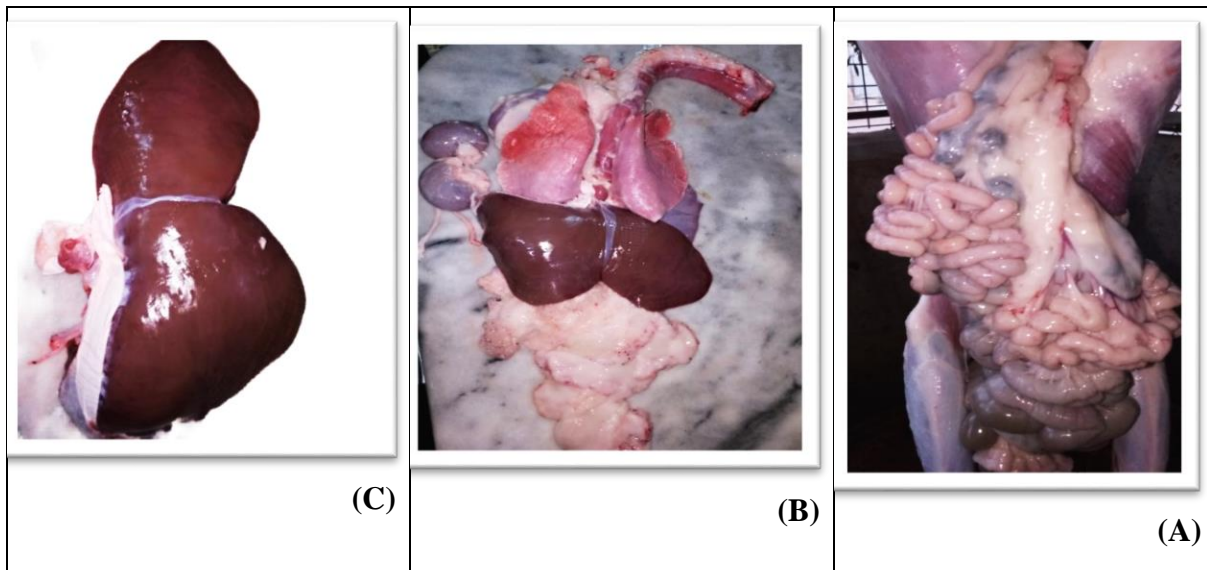
بينت نتيجة دراسة التغيرات المرضية العيانية الخارجية قبل البدء بالتشريح للحالات المدروسة عدة مشاهدات خارجية واضحة، أهمها نزف دموي من الأنف والفم وإفرازات، الشكل. (6-4).



الشكل. (6-4): افرازات مدممة رغوية من الأنف والفم.

Macroscopic Histopathological changes

ظهرت الأعضاء الداخلية بشكل سليم وطبيعي، تبدو أعضاء الجسم في وضعها الطبيعي داخل الجسم، الشكل (7-4A) دون ظهور أي تغيرات مرضية عيانية بالظاهر العام والشكل واللون والقوام، الشكل (B 7-4)، وبظهر الكبد بلون طبيعيبني آجري وقوام طبيعي، الشكل (C 7-4).



الشكل. رقم (7-4): الصفات العيانية لمجموعة الشاهد. (A): الأعضاء والأنسجة والعضلات، (B). الأعضاء معزولة من الجسم. (C). الكبد الطبيعي.

Macroscopic Histopathological changes

كشف التشريح عن تغيرات مرضية مختلفة، مشتركة في أغلب الحالات ومميزة في بعض الحالات، الجدول. (4-6).

جدول (4-2): التغيرات المرضية العيانية للأغnam النافقة المصابة

الكبد باهت مصفر	تمدد الأمعاء	ونخر في الأمعاء	تبليغ بؤري في الأمعاء	التهاب المخاطي	احتقان الأوعية المساريقية	احتقان الأعضاء الداخلية	سوائل مصلية في التامور	سوائل بالصدر	سوائل بالبريتون	نفاخ في الكوش	نفاخ غازى
	A1	A1	A1	A1	A1	A1	A1	A1 دموية	A1	A1	
A2	A2		A2 بؤري	A2		A2		A2 دموية			A2
	A3	A3	A3 شديد	A3	A3	A3 + القلب	A3	A3 دموية	A3		A3
A4	A4	A4	A4 نقطي	A4	A4		A4		A4		A4
A5 هش متفتت	A5	A5	A5	A5	A5	A5 كبد ارتفاع العضلة القلبية	A5	A5 مصلية	A5 دموية		A5
	A6		A6 سماكة	A6		A6 + شديدة تهتك			A6		
	A7	A7	A7	A7		A7				A7	A7
	A8	A8	A8 مخاطي قحبي	A8		A8 + غزيرة سماكة	A8			A8	A8
A9 هش متفتت	A9		A9	A9			A9 سماكة				A9
A10 هش متفتت	A10		A10	A10							
	A11	A11	A11	A11 شديدة+أوعية الكوش	A11	A11	A11 خفيفة فبرينية			A11	A11 شديدة
A12 هش متفتت	A12	A12	A12 مخاطي تزفي بؤري	A12							
A13 هش متفتت	A13	A13	A13 مخاطي تزفي	A13		A13		A13 رغوية			A13
A14 هش متفتت	A14	A14	A14	A14	A14	A14	A14 سماكة	A14 دموية	A14		
A15 هش متفتت	A15	A15	A15 مخاطي بسيط	A15	A15			A15 دموية	A15		A15
A16 هش متفتت	A16 سوائل مخاطية غزيرة	A16 رقة في جرائها	A16 مخاطي تزفي	A16	A16	A16			A16		

زيادة الدهون حول القلب	الكلية عجينة رخوة	الكلية هشة بمقطع مقتضت	سهولة نزع حفظة الكلية	تغير الرئة الخامية	تصلد الرئة الأحمر	تصلد الرئة الأبيض	نزف على القلب	نزف على العبد	نزف على الكلية	امتلاء الصفراء	تنكس دهني بالقلب
										A ₁	A ₁ شديد منتشر
A ₂ ⁺⁺		A ₂								A ₂	
	A ₃				A ₃	A ₃			A ₃ نقطي	A ₃	A ₃ تصلب
A ₄			A ₄	A ₄		A ₄ الفصوص الخلفية	A ₄ نقطي البطن الأيمن	A ₄ نقطي	A ₄ نقطي	A ₄	A ₄ معتدل بوزي
A ₅	A ₅ باهت رمادي		A ₅		A ₅	A ₅		A ₅ نقطي	A ₅ ك Kami بوزي	A ₅ ⁺⁺	A ₅ منتشر شديد
		A ₆ سماكة+					A ₆ نقطي	A ₆ نقطي		A ₆	
		A ₇ تضخم			A ₇	A ₇				A ₇	A ₇ منتشر معتدل سهولة نزع المحفظة
A ₈					A ₈	A ₈	A ₈ نقطي	A ₈ نقطي	A ₈ نقطي	A ₈	A ₈ شديد منتشر
		A ₉		A ₉	A ₉		A ₉ نقطي منتشر			A ₉	
		A ₁₀		A ₁₀	A ₁₀		A ₁₀ نقطي			A ₁₀	
		A ₁₁ سماكة	A ₁₁		A ₁₁ احتقان تونم				A ₁₁ ازرقان تونم	A ₁₁	
		A ₁₂			A ₁₂	A ₁₂ منتشر			A ₁₂ باهته تونم	A ₁₂	
		A ₁₃ سماكة	A ₁₃		A ₁₃	A ₁₃			A ₁₃ Kami	A ₁₃	A ₁₃ شديد منتشر
		A ₁₄ سماكة			A ₁₄		A ₁₄ نقطي		A ₁₄ ازرقان تونم	A ₁₄	A ₁₄ منتشر معتدل
A ₁₅					A ₁₅	A ₁₅	A ₁₅ نقطي ازراقان الاذن سماكة	A ₁₅ نقطي	A ₁₅ نقطي Kami باهته	A ₁₅	A ₁₅ منتشر معتدل
	A ₁₆ لون قاتم اسود+ روكد الدم				A ₁₆	A ₁₆	A ₁₆ نقطي سماكة احتقان او عية تاجية	A ₁₆ نقطي تدمي		A ₁₆	A ₁₆ بوزي معتدل

حيث وجد بشكل عام نفاخ غازى في الأمعاء في جميع الحالات ونفاخ في الكرش في بعضها كما في الشكل. (A8-4)، لوحظ احتقان في الأوعية الدموية المساريقية في أغلب الحالات، الشكل. (4-C8)، بالإضافة إلى احتقان الأوعية الدموية المغذية للكرس في بعض الحالات، والتهاب الأمعاء المخاطي البسيط إلى نخري نزفي حيث كان الالتهاب مخاطي قيحي في الحالة A8 الشكل. (4-A16)، ونزفي بؤري في أجزاء أخرى من تلك الحالة، ومخاطي نزفي في الحالتين A13، A16، A16، بالإضافة إلى تبليغ في الأوعية الدموية في أجزاء متفرقة من الأمعاء، الشكل. (B8-4)، وقد لوحظت نقاط نزفية على الطبقة المصالية للأمعاء في الحالة A4 وسماكة في جدار الأمعاء في

الحالة A6، وتمدد بالأمعاء في جميع الحالات مع وجود محتويات بشكل سائل بلون أصفر إلى بني، ولوحظ في بعض الحالات نخر بؤري في الأمعاء، الشكل. (C8-4)، بدا جدار الأمعاء رقيق جداً في أغلب الحالات.

شوهد احتقان دموي في الأعضاء الداخلية في أغلب الحالات، ووجد احتقان شديد في القلب عند الحالة A3، واحتقان عام وشديد بالإضافة إلى تهتك في الأعضاء في بعض الحالات، وقد ظهر تهتك النسيج الكبدي بشدة مع ارتخاء في العضلة القلبية كما في الحالة A5، كما بدا الاحتقان شديداً أيضاً على الرئة عند الحالة A11.

الكبد بلون باهت مصفر وقوام هش سهل التفتق ودور الحواف في أغلب الحالات، وصلب القوام في الحالة A3، وجد نزف حبرى على الكبد، وتهتك في محفظة الكبد في الحالة A5، وتضخم العويصل الصفراوى وامتلاءه بالعصاره الصفراوية، الشكل. (D8-4) في جميع الحالات.

وُجد نزف حبرى أو كدمي على الكلية، الشكل. (E8-4)، وقد كان النزف كدمي في الكلية في الحالة A13، كما وجدت الكلية بلون باهت في بعض الحالات، أو مزرق كما في A14 A11 ومحتفقة في A12 ومتوزنة في A14 A12 A11، وتغير في شكل الكلية في حالتين A13، A15، لوحظ سهولة نزع محفظة الكلية في بعض الحالات وسمكها في المحفظة في بعض الحالات، الشكل. (H8-4)، وقد كانت الكلية هشة متقطعة في حالة واحدة A3، كما وجدت الكلية عجينة رخوة في حالتين كما بدت الكلية A5 بلون باهت رمادي، وبدت بلون قاتم وأماكن ازرقان في الحالة A13، الشكل. (I8-4).

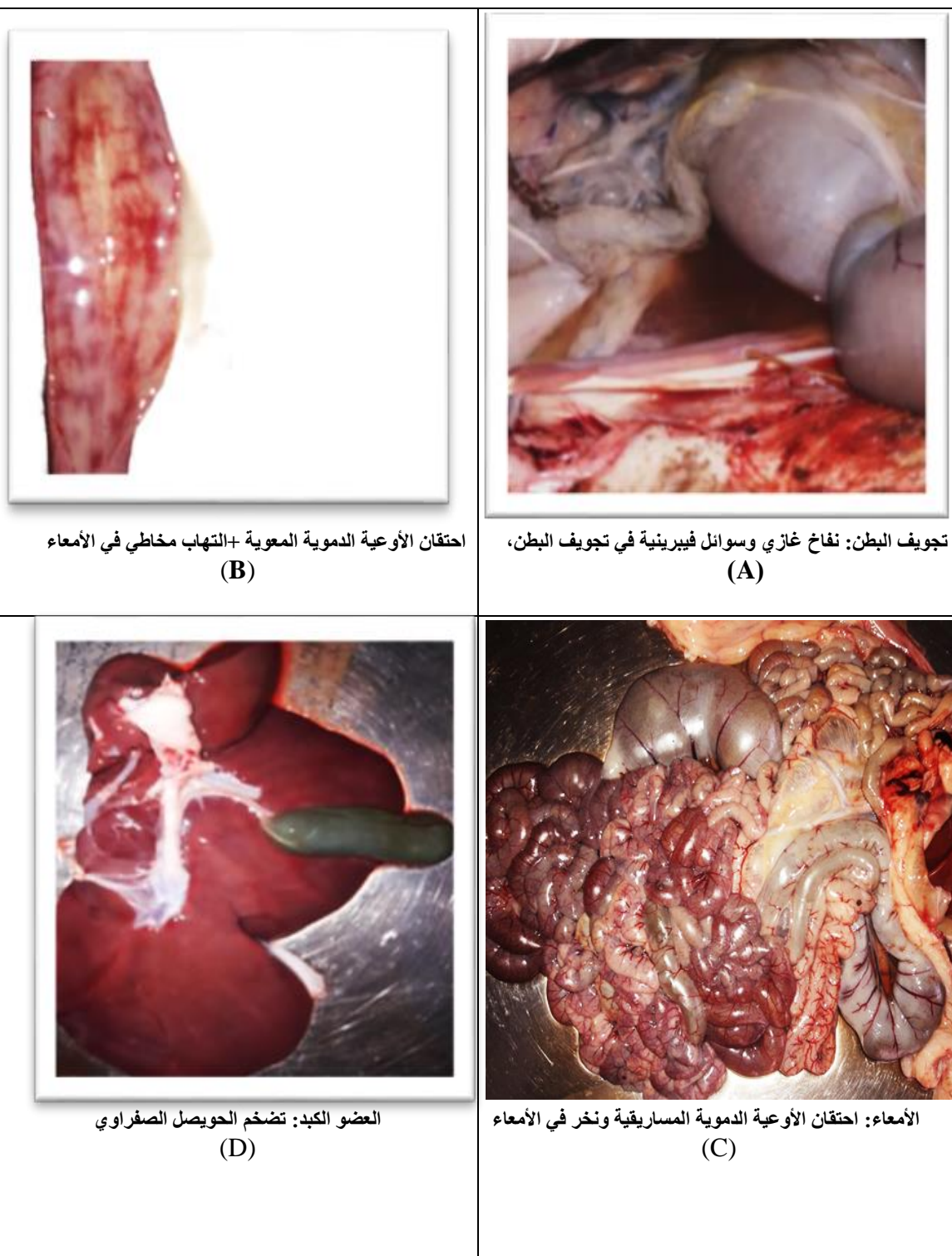
وُجد نزف حبرى منشر على القلب في بعض الحالات وقد كان كثيفاً في المنطقة العلوية من البطين الأيمن في الحالة A4، كما وجد نزف حبرى أيضاً وازرقان لكامل الأدينين في الحالة A15، وسمكها في جدران العضلة القلبية في الحالتين A15 A16، واحتقان في الأوعية التاجية في الحالة A16 ووجود لدهون زائدة حول القلب في بعض الحالات.

شوهد في بعض الحالات سوائل مصلية إلى جيلاتينية في البريتون، الشكل. (A8-4)، حيث كانت السوائل مصلية في أغلب الحالات، بينما كانت السوائل دموية في الحالة A6، وكانت الارتشاحات فيبرينية جيلاتينية عند تعرضها للهواء كما في الحالة A1، وشوهد في تجويف الصدر سوائل مصلية إلى دموية، الشكل. (F8-4)، ومصلية في الحالة A5 ومصلية رغوية كما في الحالة A13، ومصلية دموية في الحالات الأخرى، كما وجد سوائل مصلية غالباً في كيس التامور وفيبرينية في الحالة A11 ومصلية غزيرة في A8، وقد كان غشاء التامور سميكاً في الحالات A8، A9، A14.

لُوِّحَظَ تصلُّد الرئَةِ الأَبْيَضُ في أَغْلَبِ الْحَالَاتِ، وَتَصلُّد الرئَةِ الأَحْمَرُ في بَعْضِهَا، وَقَدْ لُوِّحَظَ احْتِقَانُ الْفَصَوْصِ الْأَمَامِيَّةِ لِلرَّئَةِ فِي الْحَالَةِ A11، الشَّكَلِ. (G8-4).

كمال لُوِّحَظَ امْتِلَاءُ الْمَعْدَةِ لِلْحَمَلَانِ نَافِقَةَ بِالْحَلِيبِ الْمُتَجَبِّنِ مَمَّا يَدُلُّ عَلَى الرَّضَاعَةِ الزَّائِدَةِ لِدِي بَعْضِ الْحَمَلَانِ، لُوِّحَظَ بِشَكَلٍ وَاضِعِيَّةِ فِي الْحَالَةِ A2، الشَّكَلِ. (J8-4).

الشكل. (8-4): التغيرات التشريحية المرضية العيانية للأغنام المصابة





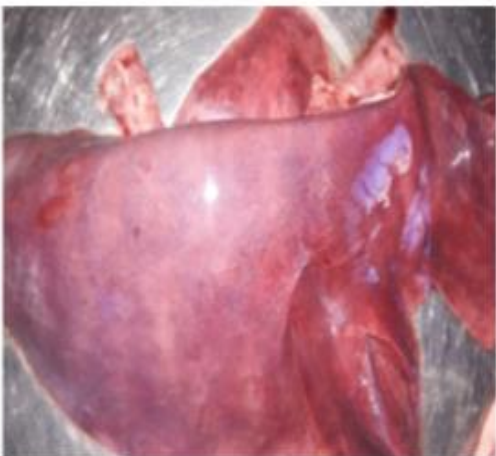
تجويف الصدر: سوانل دموية في تجويف الصدر
(F)



العضو الكلية: نزف حبرى على الكلية
(E)



العضو الكلية: سماكه في محفظة الكلية
(H)



العضو الرئنة: تصلد الرئة واحتقان في الفصوص الأمامية منها
(G)



العضو معدة حمل: امتلاء معدة حمل نافق بالحليب المتجلب
(J)



العضو الكلية: الكلية عجينة رخوة
(I)

٤- نتائج التغيرات التشريحية المرضية النسيجية:

3-4- الوصف التشريحي العياني والنسجي للعينات من مجموعة أغnam الشاهد:
بدت المقاطع النسيجية بالشكل الطبيعي للأنسجة تحت المجهر الضوئي، حيث كانت المقاطع من الأمعاء بمظهر سليم والزغابات المغوية طبيعية وطبقات النسيج سليمة بما في ذلك الطبقة المخاطية والطبقة تحت مخاطية العضالية والمصلية والغدد الخبيثة وألياف العضلات الملساء الطولية والعرضية والنسيج الضام.

كما أظهرت المقاطع النسيجية من الكبد معالم الكبد الطبيعية من الهيكل العام للفصوص الكبدية والخلايا الكبدية المضائعة والمسافات البائية والجيبيات الكبدية والشرايين والأوردة الكبدية والقنوات الصرف اولية.

بعد فحص المقاطع النسيجية للكلية مجهرياً وجدت في هيكل النسيج العام الطبيعي بوحداته المختلفة من كب ماليكي والأنابيب الفاسية والأنابيب الدانية والأنابيب الجامعة والأنسجة الضامة.

٤-٣-٢- وجود الخلايا الالتهابية والخلايا البدنية في المقاطع النسيجية لمجموعة الشاهد:
لواحد من العينات وجود الخلايا الالتهابية والخلايا البدنية في الصفيحة الفاعدية والنسيج الضام للأمعاء وبشكل خاص بين الغدد الخبيثة وقد تراوح عددها ما بين (0-2) خلية في المقطع النسيجي، كما بين الفحص المجهري للمقاطع النسيجية للكبد وجود الخلايا البدنية حول أو داخل الجيوبات الكبيرة بما يتراوح ما بين (0-2) خلية في كامل المقطع النسيجي، فيما كان وجودها في المقاطع النسيجية للكلية حول الأوعية الدموية غالباً ما يتراوح ما بين (0-2) خلية في كامل المقطع النسيجي.

4-3-4- نتائج التغيرات التشريحية المرضية النسيجية لمجموعة الأغنام المصابة:

1-2-3-4- التغيرات التشريحية المرضية النسيجية في الأمعاء: Pathology of the Intestine
لوحظ احتقان في الأوعية الدموية congestion vascular المعاوية والمساريقية في غالب الحالات، الشكل (9-4)

كما لوحظ في بعض المقاطع النسيجية حالات من التورّم الغيمي Cloudy Swelling بدت فيه الخلية بهيولى متمددة غير منتظمة الحدود وتكشف بروتين الخلية الذي أعطى المظهر الحبيبي، وجد التنسك المائي Hydropic degeneration في خلايا بعض الحالات حيث لوحظ وجود فجوة واضحة في الهيولى، الشكل (4-10). وتنكس بروتيني Protein degeneration في البعض منها الشكل (4-10). الشكل (4-15).

لُوِّحَظَ التَّهَابُ الْأَمْعَاءِ النَّخْرِيُّ Necrotic Enteritis على شَكْلٍ (4-11). عَلَى شَكْلٍ (4-11) لُوِّحَظَ التَّهَابُ الْأَمْعَاءِ النَّخْرِيُّ Necrotic Enteritis في بَعْضِ المَقَاطِعِ، الشَّكْلُ (4-12). وَنَخْرٌ فِي الطَّبْقَةِ الْمَغَابِطَيَّةِ فِي مَقَاطِعٍ أُخْرَى وَهَتِيَّ الطَّبْقَةِ تَحْتَ الْمَخَاطِيَّةِ، الشَّكْلُ (4-11). وَهَتِيَّ الطَّبْقَةِ الْعَضَلَيَّةِ الْمَلْسَاءِ فِي مَقَاطِعٍ أُخْرَى لِجَدَارِ الْأَمْعَاءِ، لُوِّحَظَ التَّهَابُ الْأَمْعَاءِ الْفَيْرِيرِينِيُّ Fibrinous enteritis وَجَدَ تَآكِلٌ فِي الْزَّغَابَاتِ Erosion وَلُوِّحَظَ عَلَامَاتُ النَّخْرِ فِي الْخَلَائِيَّاتِ الْمِبَطَنَةِ لِلْأَمْعَاءِ مِنْ تَغْلُظٍ

في كروماتين أنوئية الخلايا Pyknosis، الشكل (4-10). فقد بدت الأنوية كتلة متجانسة دائرة، إلى زوال الأنوية Nucleus absence.

4-3-2-1- ردود الفعل للخلايا في نسيج الأمعاء:

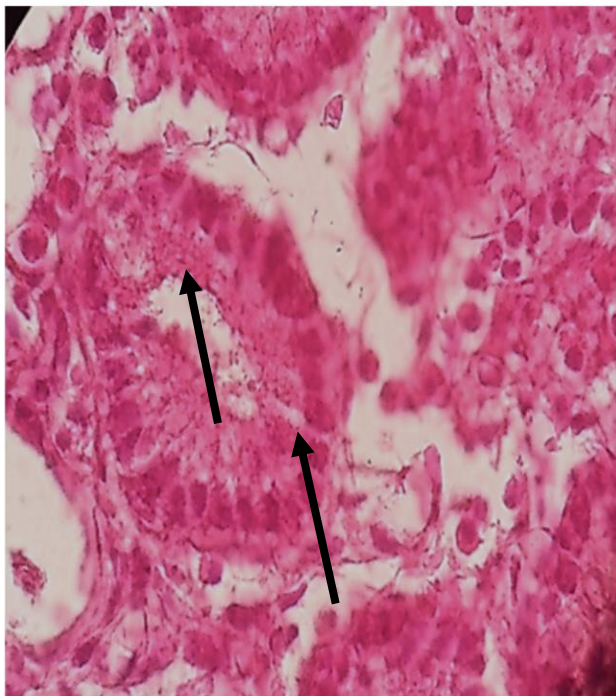
للحظ التهاب الأمعاء الحاد واحتقان في الأوعية الدموية مع وجود لخلايا التهابية أغلبها عدلت، الشكل (4-13). بالإضافة إلى وجود بعض البلاعم في بعض الحالات وبعض الخلايا المتصورة في بعضها، الشكل (4-14). وبعض المفاويات في حالات أخرى، كما ظهرت خلايا الحمضات في البعض الآخر، الشكل (4-15). ويبيّن الجدول (3) أنواع الخلايا الالتهابية في المقاطع النسيجية للأمعاء في الحالات المدرستة وكثافة وجودها في النسيج.

الجدول (3): أنواع الخلايا الالتهابية في المقاطع النسيجية للأمعاء في الحالات المدرستة وكثافة وجودها في النسيج.

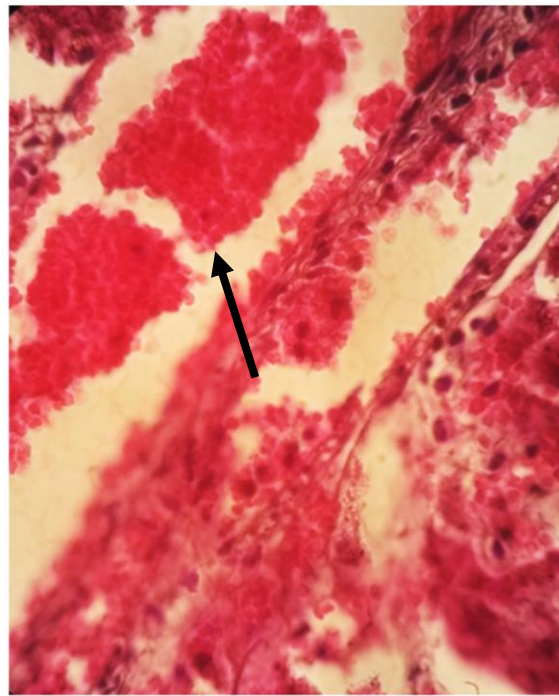
A16	A15	A14	A13	A12	A11	A10	A9	A8	A7	A6	A5	A4	A3	A2	A1	الأمعاء
+++	-	++	+++	+++	++	+++	++	+++	++	++	+	+++	+++	+	+	العدلات
-	-	-	+	+	+++	-	-	-	-	-	-	++	-	-	+	الحمضات
-	-	-	+	-	-	-	-	-	-	-	-	-	-	-	-	المفاوية
-	+	-	-	-	-	-	-	-	-	-	-	+	-	-	-	البلاعم
-	-	-	+	+	-	-	-	+	-	-	+	-	+	+	-	المتصورة

(+): كثافة الخلية في نسيج الحالة، وتعدد الرموز يدل على زيادة كثافة وجود الخلايا.

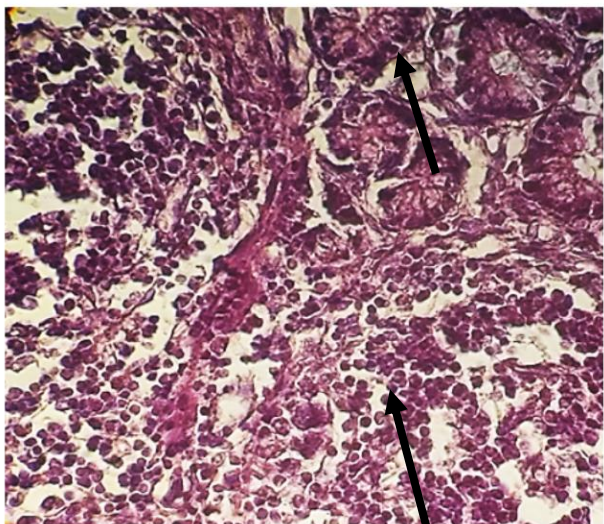
(-) وجود طبيعي للخلية في نسيج الحالة.



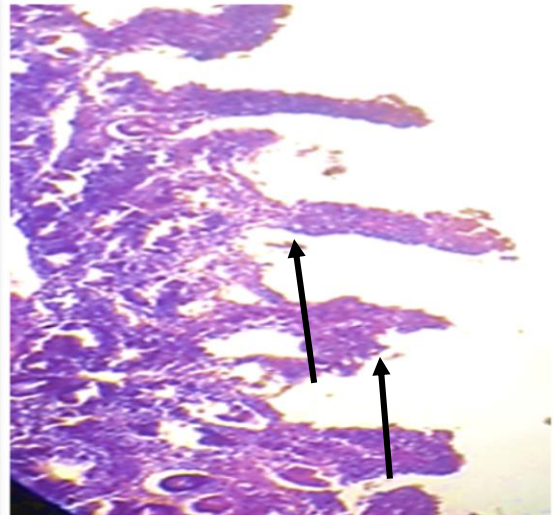
الشكل. (4-10): تكس مائي فجوي في الخلايا-تكتس بروتيني- تغليظ الأنيوبيا.
H&E X 100



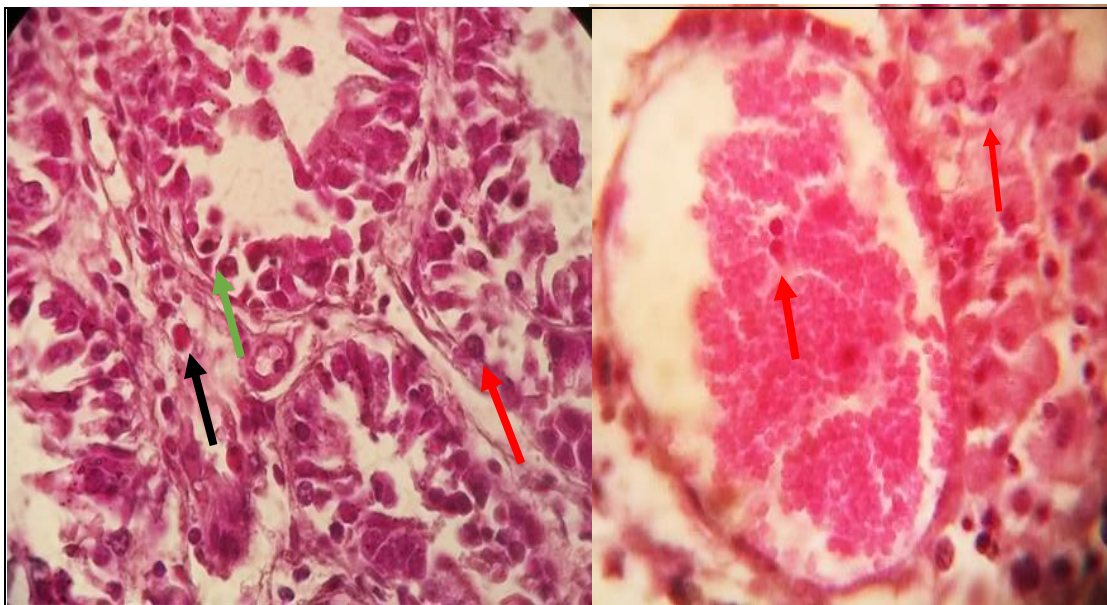
الشكل. (9-4): احتقان في الأوعية الدموية المعاوية
H&E X60



الشكل. (4-12): نخر بوزي في الأمعاء - لطخ باير.
H&E X 40



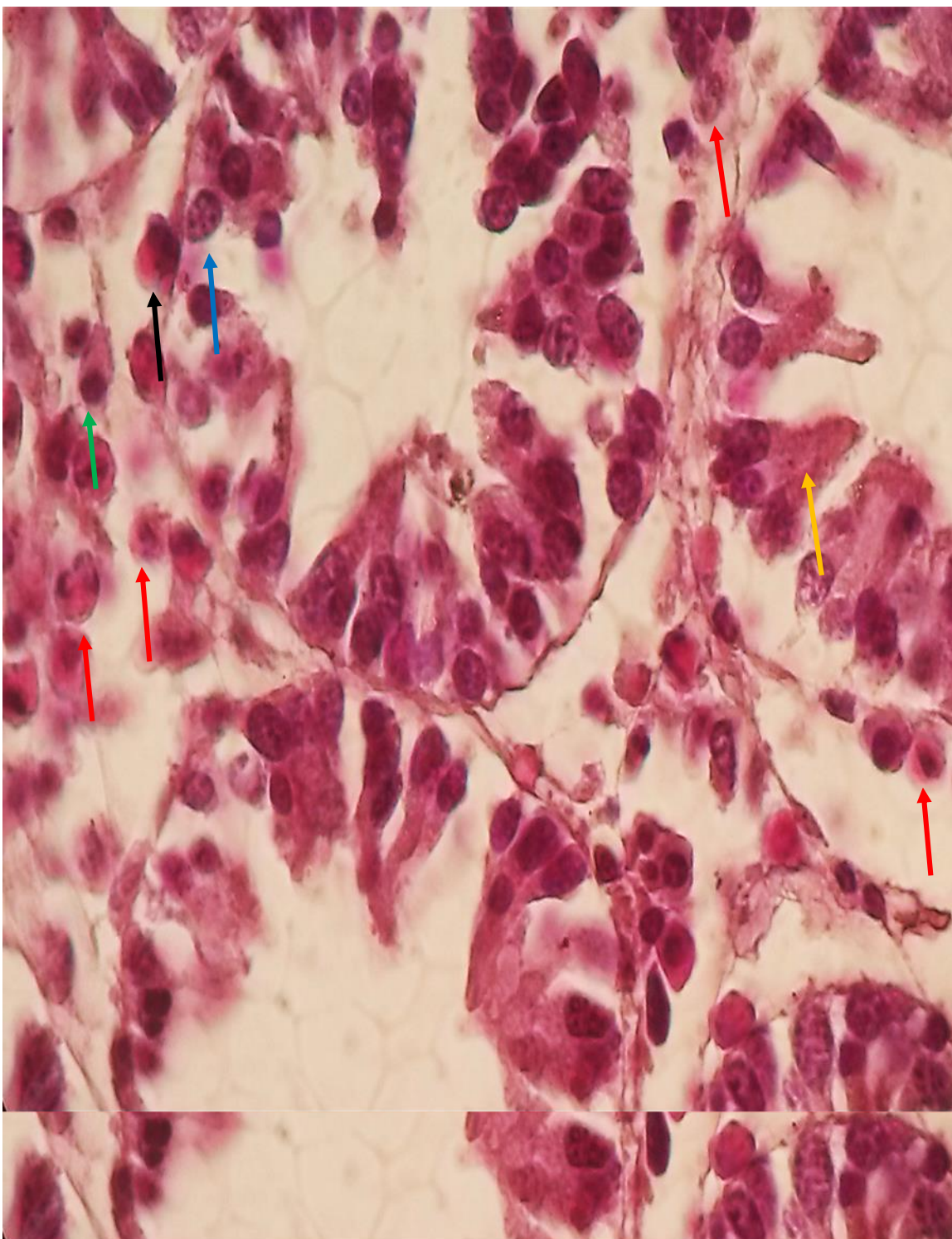
الشكل. (11-4): تاكل الزغابات المعاوية - نخر في الطبقة المخاطية وتحت المخاطية.
H&E X 10



الشكل: (14-4) التهاب الأمعاء النخري - خلايا التهابية: عدلات(أحمر) حمضات(أسود) بلازميات(أخضر).

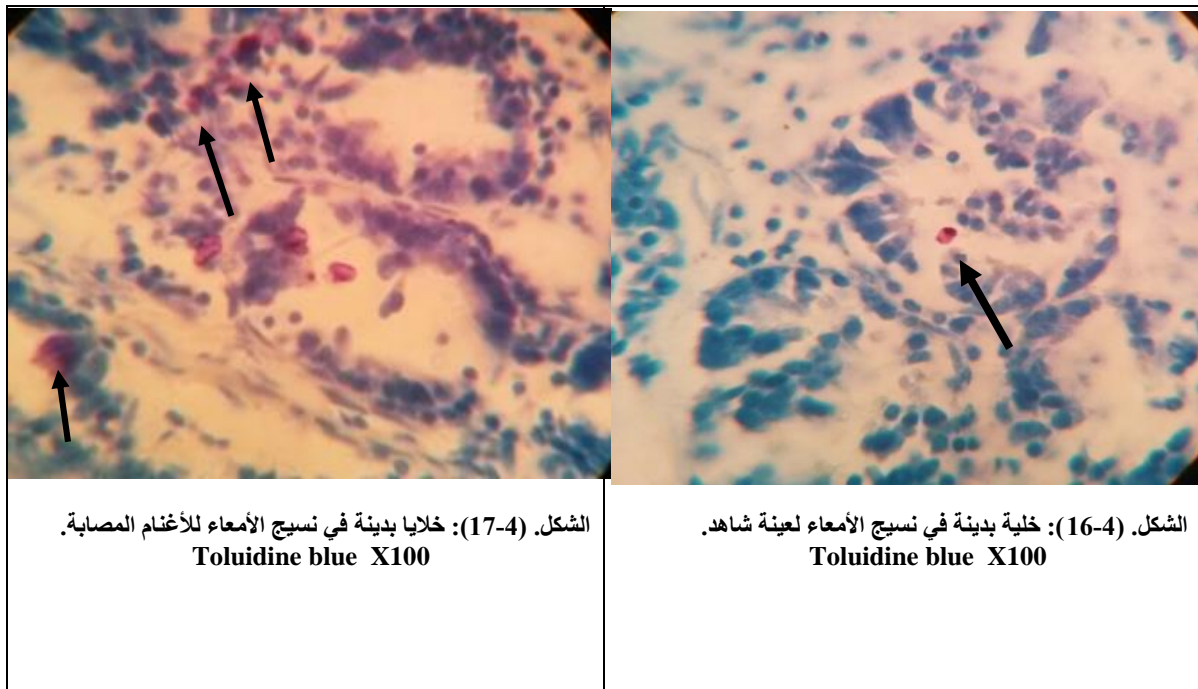
H&E X100

الشكل: (13-4): احتقان في وعاء دموي معوي - وجود كثيف للعدلات(أحمر) في الصفيحة المخصوصة وفي مجرى الدم وعلى جدار الوعاء الدموي (الترصيف للانسلاخ إلى النسيج).
H&E X100



الشكل (15-4): خلايا التهابية في مقطع نسيج أمعاء. عدلة (سهم أحمر). مصورية (أخضر). الحمضات (أسود). بلعمية (أزرق).
+ تنس بروتيني في الخلايا (أصفر).

4-2-3-4-2- وجود الخلايا البدنية في المقاطع النسيجية للأمعاء من الأغنام المصابة:
ووجدت لدى الفحص المجهرى للمقاطع النسيجية من الأمعاء من أغنام الشاهد الخلايا البدنية في أماكن وجودها في النسيج الضام والصفحة المخصوصة وبين الغدد الخبيثة، الشكل. (4-16)، وكانت موجودة بشكل متزايد عمّا تأثرت الطبيعية ومتقاوطة بين كل مقطع نسيجي وأخر من العينات المأخوذة من الأغنام المصابة. الشكل (4-17).



4-2-3-4-2- التغيرات التشريحية المرضية النسيجية في الكبد: Pathology of the Liver
ووجد احتقان في الأوردة البابية والأوردة المركزية وأنشآه الجيوب الكبدية Hepatic sinusoids في بعض الحالات، الشكل. (4-18) والشكل. (4-22)، وجد نزف منتشر شوهد بتسرّب لكريات دم حمراء في النسيج خارج الوعاء الدموي في حالات أخرى.

ووجدت عند فحص الشرائح النسيجية للكبد تغيرات مرضية متعددة، وجدت مناطق لاحالات تنكس مختلفة في النسيج فقد لوحظ التورم الغيمي في خلايا بعض الحالات إلى التنكس المائي في البعض منها إلى التنكس الفجوي الشكل. (4-20)، والتنكس البروتيني، الشكل. (4-19) والتنكس الدهني Fatty Degeneration في الكبد، الشكل. (4-20)، حيث ظهرت الخلايا بشكل فص الخاتم المميز لهذه الحالة.

وقد وجد نخر بؤري في خلايا الكبد بشكل عام، الشكل. (4-21)، حيث لوحظ تغليظ الأنوية في المناطق التخريبية، وزوال الأنوية في مساحة كبيرة من التهاب الكبد التخريي Necrotic hepatitis وزوال البنية الشعاعية ومعالم النسيج الأساسية الشكل. (4-20).

4-2-3-1- ردود الفعل للخلايا في نسيج الكبد:

لُوِظَ وُجُودٌ كثيفٌ لخلايا العدلات ترافقـت مع بعض الخلايا المتصورـة في أشـاهـاتـ الجـيـوبـ الـكـبـيـةـ فيـ بـعـضـ الـحـالـاتـ،ـ وـقـدـ وـجـدـتـ خـلـاـيـاـ التـهـابـيـةـ السـائـدـ عـلـيـهـاـ العـدـلـاتـ معـ بـعـضـ الـحـمـضـاتـ وـالـبـلـاعـمـ فـيـ الـبـعـضـ الـآـخـرـ،ـ الشـكـلـ،ـ (22-4)،ـ وـلـوـحـظـ تـنـكـسـ دـهـنـيـ منـتـشـرـ فـيـ خـلـاـيـاـ الـكـبـدـ مـتـرـافـقـ مـعـ زـيـادـةـ فـيـ الـخـلـاـيـاـ الـعـدـلـاتـ وـخـلـاـيـاـ كـوـبـرـ الـبـلـعـمـيـةـ الـكـبـيـةـ فـيـ بـعـضـ الـحـالـاتـ،ـ الشـكـلـ،ـ (23-4).ـ وـبـيـنـ الـجـدـولـ (4-4)ـ وـجـودـ أـنـوـاعـ الـخـلـاـيـاـ الـاتـهـابـيـةـ فـيـ الـمـقـاطـعـ النـسـيجـيـةـ مـنـ الـكـبـدـ فـيـ الـحـالـاتـ الـمـدـرـوـسـةـ.

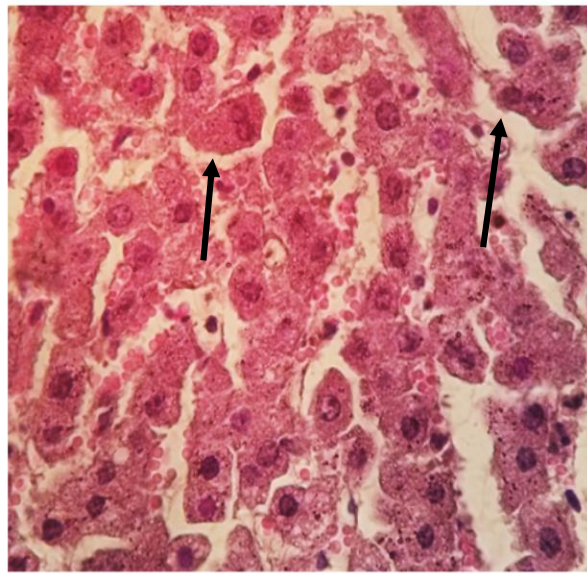
الجدول. (4-4): أنواع الخلايا الالتهابية في المقاطع النسيجية للكبد في الحالات المدروسة وكثافة وجودها في النسيج.

A16	A15	A14	A13	A12	A11	A10	A9	A8	A7	A6	A5	A4	A3	A2	A1	كـبـدـ
+	++	++	++	+	++	+	++	+++	++	+	+	++	++	++	++	العدلات
-	-	-	+	-	-	-	-	-	-	-	+	-	-	-	-	الحمضات
-	-	-	-	-	-	-	-	-	-	-	-	-	-	-	+	المفاوييات
+	-	-	+	+	+	-	-	+	-	-	++	-	+	-	-	خلايا بلعمية
-	-	+	-	-	-	-	-	-	+	-	-	-	-	-	-	البلازمية

(+): كثافة الخلية في نسيجـ الحـالـةـ،ـ وـتـعـدـ الرـمـوزـ يـدـلـ عـلـىـ زـيـادـةـ كـثـافـةـ وـجـودـ الـخـلـاـيـاـ.

(-)ـ:ـ وـجـودـ طـبـيـعـيـ لـخـلـيـةـ فـيـ نـسـيـجـ الـحـالـةـ.

التغيرات التشريحية المرضية المجهرية في نسيج الكبد:

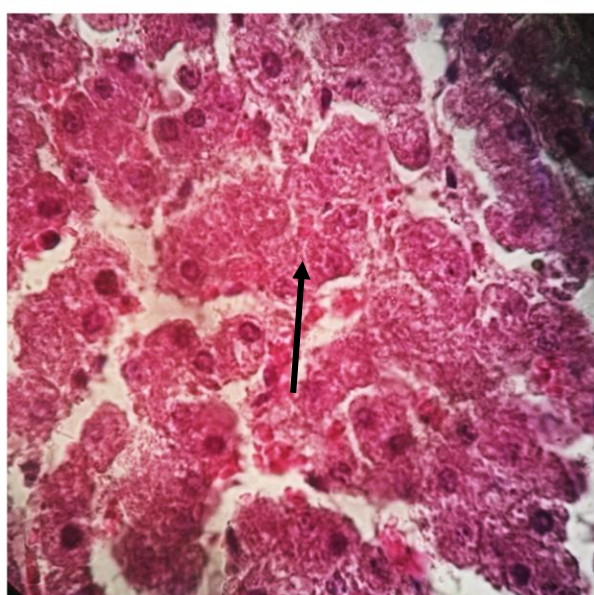


H&E X 60

الشكل. (19-4): تغاظل أنوية - تكسس بروتيني في الخلايا الكبدية.

H&E X100

الشكل. (18-4): احتقان دموي في أشباه الجيوب الكبدية



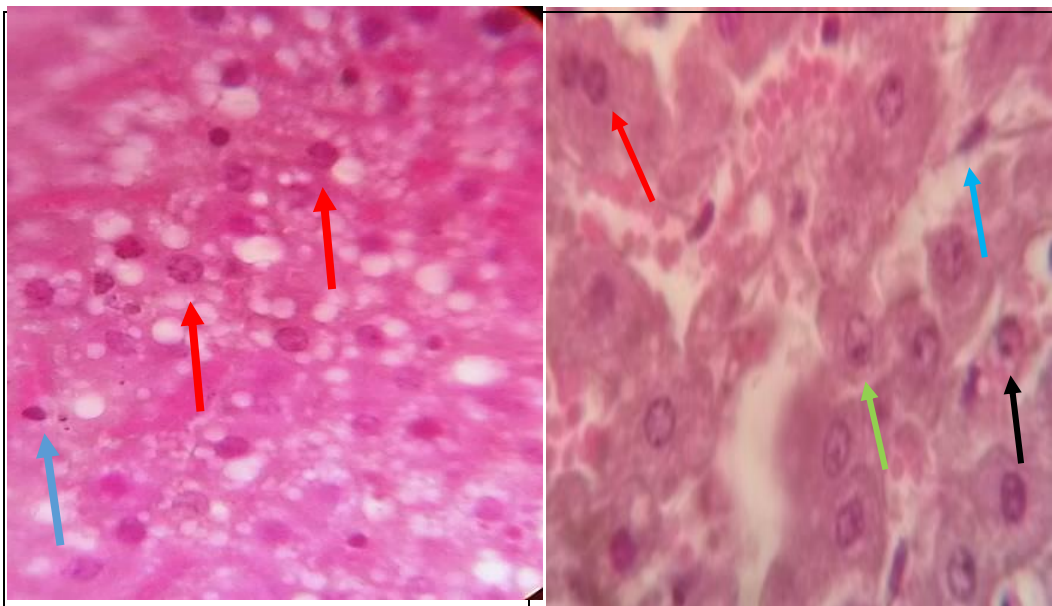
H&E X60

الشكل. (21-4): نخر في خلايا الكبد.



H&E X100

الشكل. (20-4): اتساع في أشباه الجيوب الكبدية-تورم غيلي في الخلايا-
تنكس فجوي - تكسس دهني - تغاظل وأنحلان أنوية - التهاب الكبد النخري.



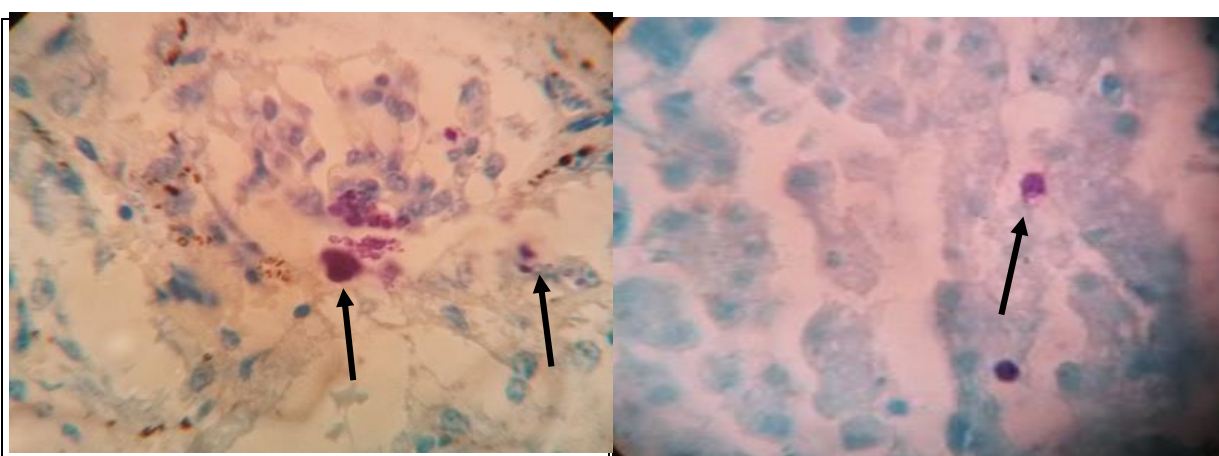
H&E X100

الشكل. (23-4): كبد عدلات(أحمر) بلعمينة كوبفر (أزرق) مع ملاحظة التنتكس الدهني في الخلايا.

H&E X100

الشكل. (22-4): كبد عدلات(أحمر) وبلازميات(أخضر) وحمضات(أسود) وكوبفر(أزرق) مع ملاحظة التورم الغيمي والتنكس في الخلايا واحتكان في الجيبيات.

4-3-2-2- وجود الخلايا البدنية في المقاطع النسيجية للكبد لمجموعة الأغنام المصابة:
يبين الفحص المجهرى في الكبد عن وجود للخلايا البدنية حول أشيه الجيوب الكبدية في العينات من الشاهد الشكل. (24-4)، وكانت موجودة بشكل متزايد عدم حالتها الطبيعية ومتغيرة بين كل مقطع نسيجي وآخر في العينات من الأغنام المصابة. الشكل. (25-4).



الشكل. (25-4): الخلايا البدنية في الكبد من الأغنام النافقة.
Toluidine blue X100

الشكل. (24-4): الخلايا البدنية في نسيج الكبد من الشاهد والتي تظهر باللون الوردي.
Toluidine blue X100

3-2-3-4- التغيرات التشريحية المرضية في نسيج الكلية للأغnam المصابة : Pathology of the Kidney

وُجد عند فحص مقاطع نسيج الكلية من الأغnam الناقفة تغيرات تشريحية مرضية شملت جميع أنسجة الكلية وأبدت احتقان دموي شديد في الأوعية الدموية، الشكل. (30-4)، كما وُجد نزف دموي منتشر في نسيج بعض الحالات، الشكل. (30-4) وتؤدي Hydronephrosis في النسيج الخلالي الكلوي، الشكل. (4-27).

كما لوحظ امتلاء الأوعية الدموية بخضاب الدم المنحل على شكل قوالب هيموغلوبين Hemoglobin وفي لمعة النبيبات الكلوية في بعض الحالات، الشكل. (28-4)، (30-4).

وُجد حالات من تنكس مائي وتنكس فجوي في الخلايا المبطنة للنبيبات الكلوية، الشكل. (27-4)، وتنكس بروتيني حيث وجدت ترسبات باللون الزهري في خلايا ظهراء النبيبات الكلوية وفي الكبيبات الكلوية الشكل. (26-4)، كما لوحظ التهاب النبيبات الكلوية النخري Necrotic tubulitis، الشكل. (29-4) والشكل. (34-4)، حيث لوحظ زوال المعالم الأساسية للنسيج وتغليظ الأنوية، الشكل. (26-4). وزوالها من الخلايا النبيبية والكبيبية الكلوية، كما وجد التهاب في الكبيبات الكلوية Glomeulonephritis ونخر كبيبي بؤري ومنشر، الشكل. (33-4)، حيث وجد النسيج على شكل مساحة زهرية الصبغة باهتة بدون أي معالم للنسيج الأساسي للنبيبات الكلوية، كما وجد اتساع في فراغ بومان، الشكل. (34-4)، وترسبات لمواد بروتينية زهرية الصبغة في فراغ محفظة بومان.

3-2-3-4- ردود الفعل للخلايا في نسيج الكلية:

لوحظ وجود كثيف لخلايا التهابية متعددة تحت محفظة الكلية في أغلب الحالات، وشوهد تنكس في بطانة النبيبات الكلوية مع وجود كثيف للخلايا العدلة، وُجد التهاب في النسيج الخلالي الكلوي مع تجمعات لخلايا التهابية من عدلات وحمضات ولمفاويات وبلاعم وأرومات الليفية، الشكل. (31-4)، كما لوحظ التهاب حاد في النبيبات الكلوية مع وجود كثيف للخلايا العدلات، إضافة إلى وجودها في مجرى الدم، الشكل. (32-4)، لوحظ نخر حاد في الكبيبات الكلوية مع وجود كثيف للخلايا العدلات، الشكل. (34-4)، يبين الجدول. (4-5) وجود أنواع الخلايا الالتهابية في المقاطع النسيجية من الكلية في الحالات المدرosaة.

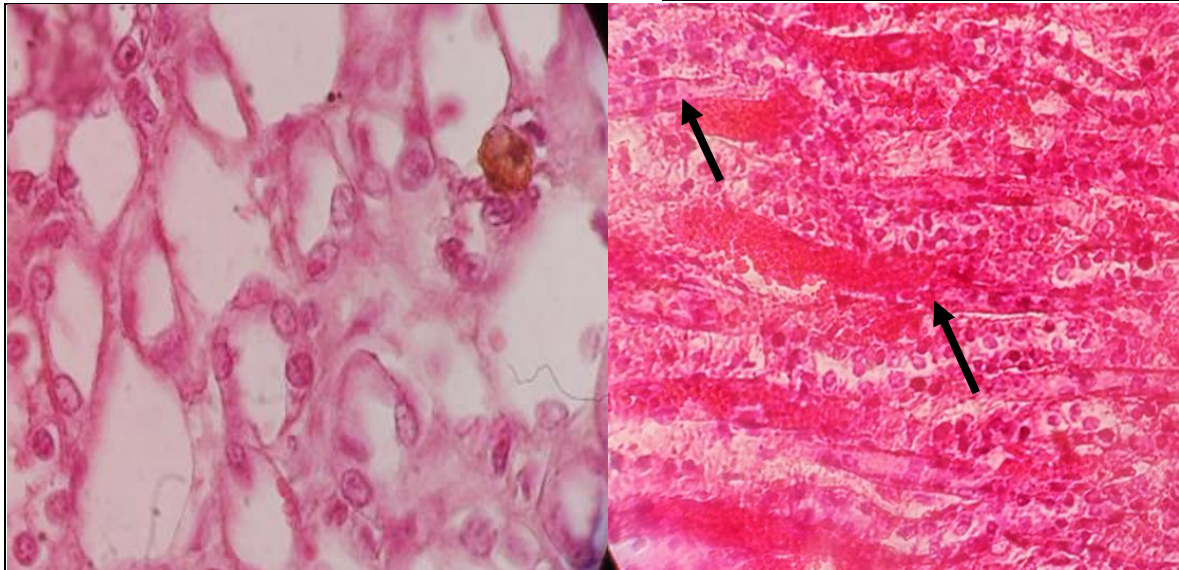
الجدول. (4-5): أنواع الخلايا الالتهابية في المقاطع النسيجية للكلية في الحالات المدرosaة وكثافة وجودها في النسيج.

A16	A15	A14	A13	A12	A11	A10	A9	A8	A7	A6	A5	A4	A3	A2	A1	الكلية
++	+++	+++	++	++	++	+++	++	++	+	+++	++	+++	++	+	+	العدلات
-	+	-	-	-	-	-	-	+		+	-	-	-	-	-	الحمضات
-	+	-	-	-	-	-	-	-	-	+	-	-	-	-	-	المفاوية
-	+	-	-	-	-	-	-	-	-	+	-	-	-	-	-	البلاعم
-	+	-	-	-	-	-	-	-	-	-	-	-	-	-	-	المصورية

(+) : كثافة الخلية في نسيج الحالة، وتعدد الرموز يدل على زيادة كثافة وجود الخلية.

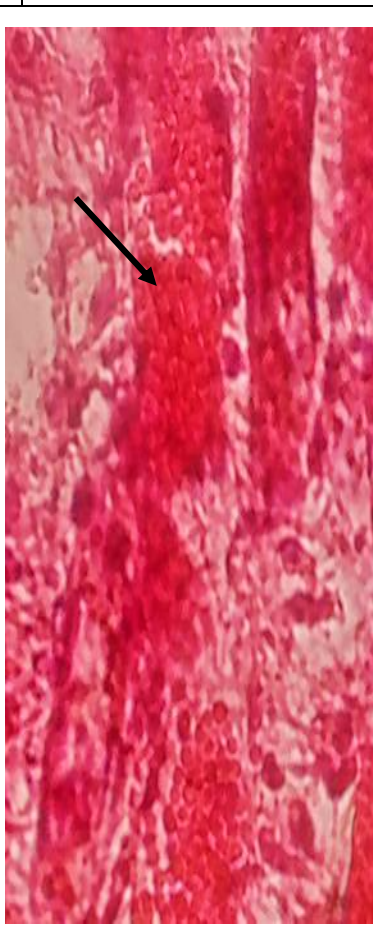
(-) : وجود طبيعي للخلية في نسيج الحالة.

التغيرات التشريحية المرضية المجهرية في تسيج الكلية:

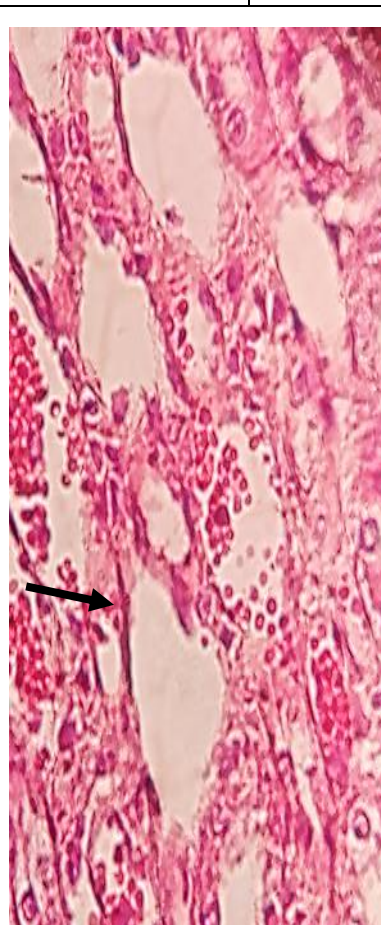


الشكل. (27-4): تنكس مائي فجوبي في ظهارة النبيبات الكلوية+توذم في النسيج الخلالي الكلوي.

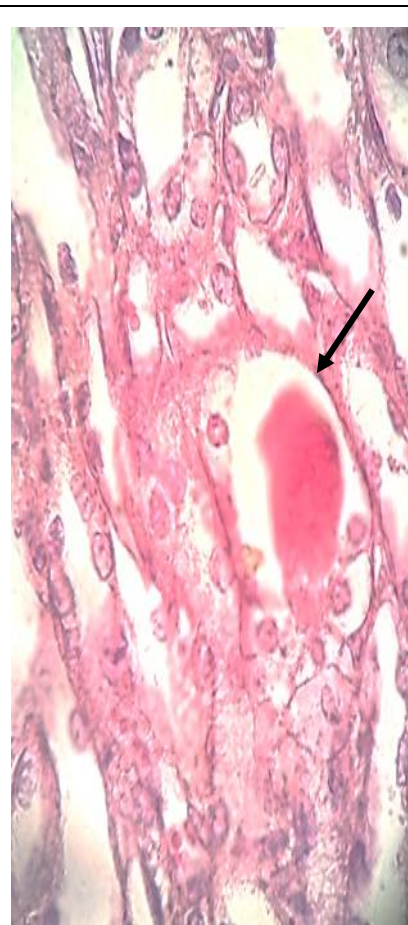
الشكل. (26-4): احتقان شديد في الاوعية الدموية الكلوية + تنكس بروتيني في ظهارة النبيبات الكلوية. تتظاظ الأنوية



الشكل. (30-4): احتقان شديد في الاوعية الدموية الكلوية _ نزف منتشر.



الشكل. (29-4): نخر في النبيبات الكلوية.

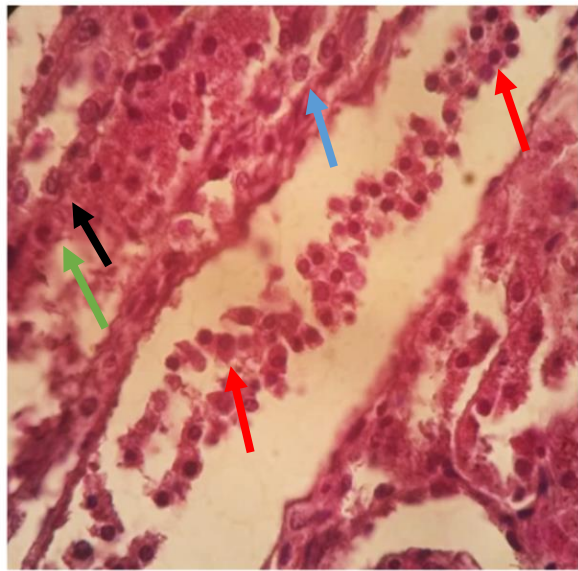


الشكل. (28-4): خضاب الدم في لمعة الأنابيب الكلوية (سهم أسود).

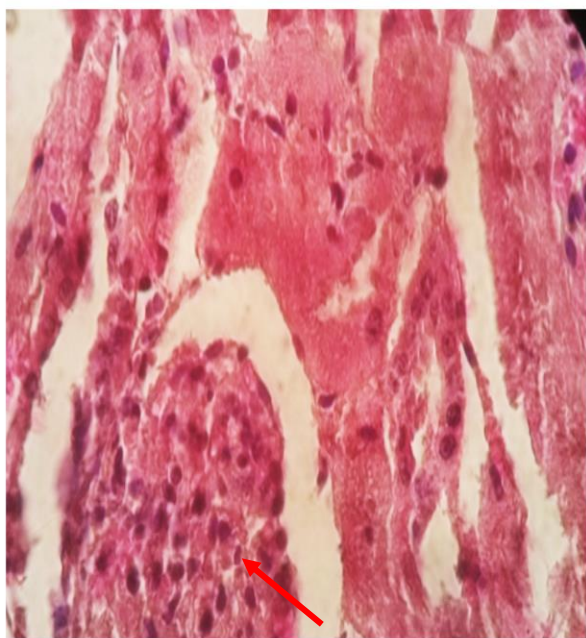
ردود الفعل الالتهابية الخلوية في نسيج الكلية:



H&E X100
الشكل. (32-4): مقطع في الكلية - عدلات (سهم أحمر).



H&E X60
الشكل. (31-4): مقطع في الكلية عدلات (سهم أحمر) وحمضات (سهم أسود) وبلاعم (سهم أزرق) وبلازميات (سهم أخضر).

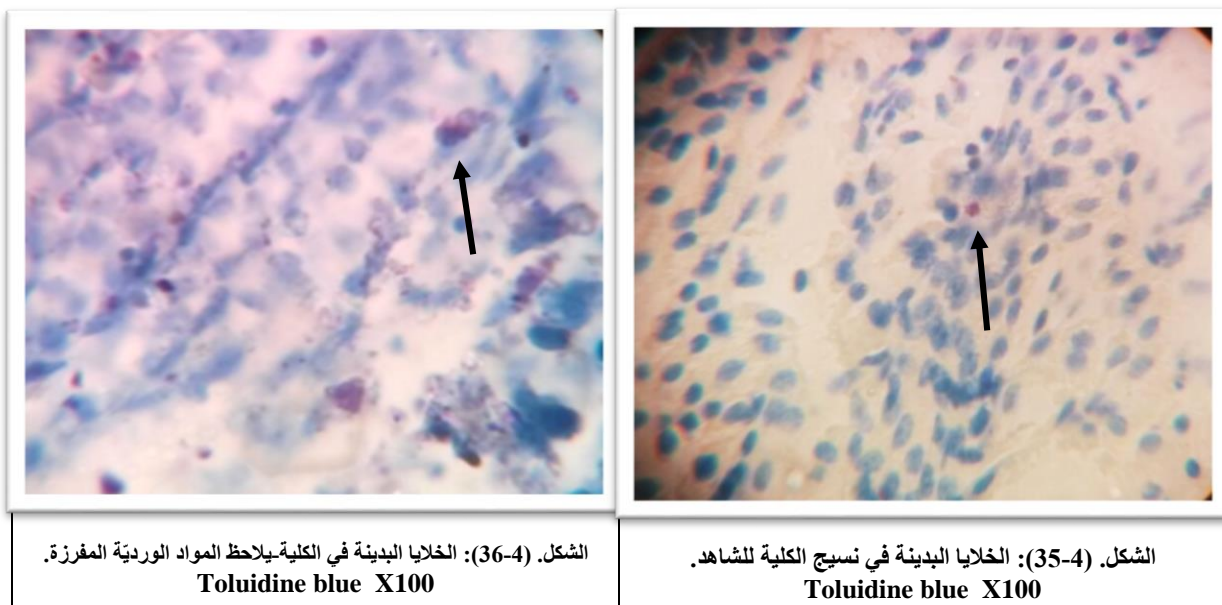


H&E X100
الشكل. (34-4): نخر في الثبيبات الكلوية والكبيبات الكلوية. اتساع في فراغ محفظة بومان- وجود كثيف للعدلات (أحمر).

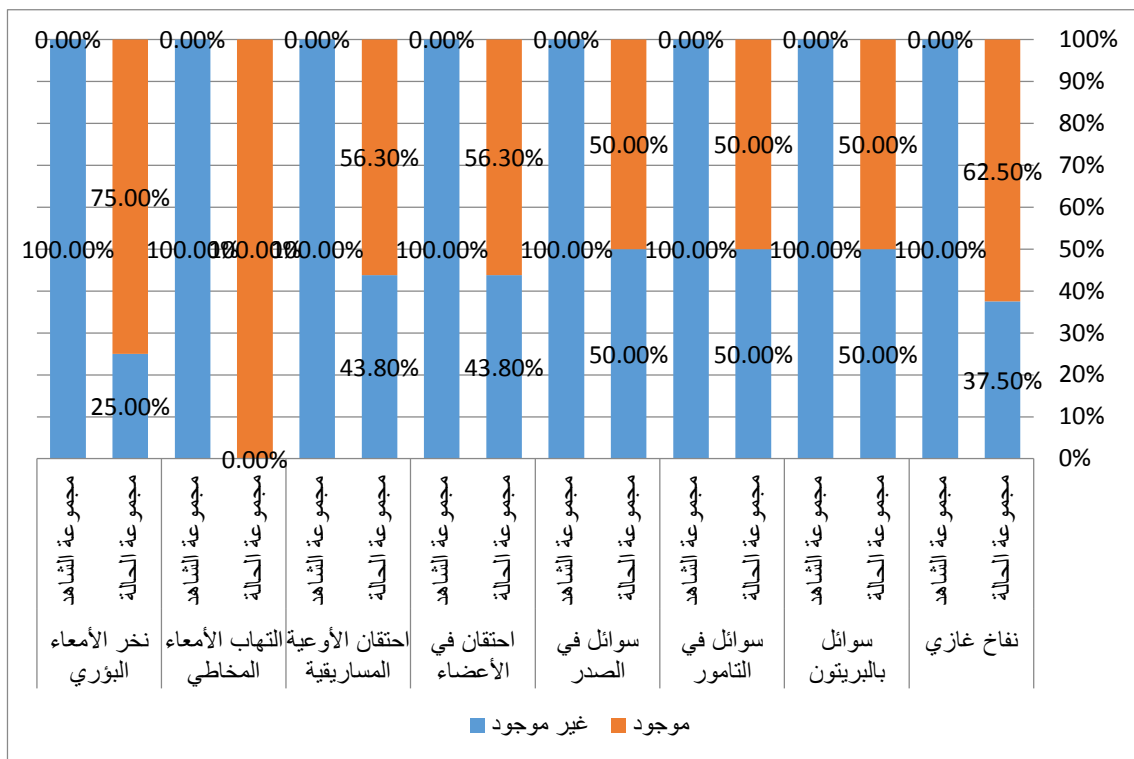


H&E X60
الشكل. (33-4): نخر نببي وكبيبي مع وجود كثيف للخلايا الالتهابية (أحمر).

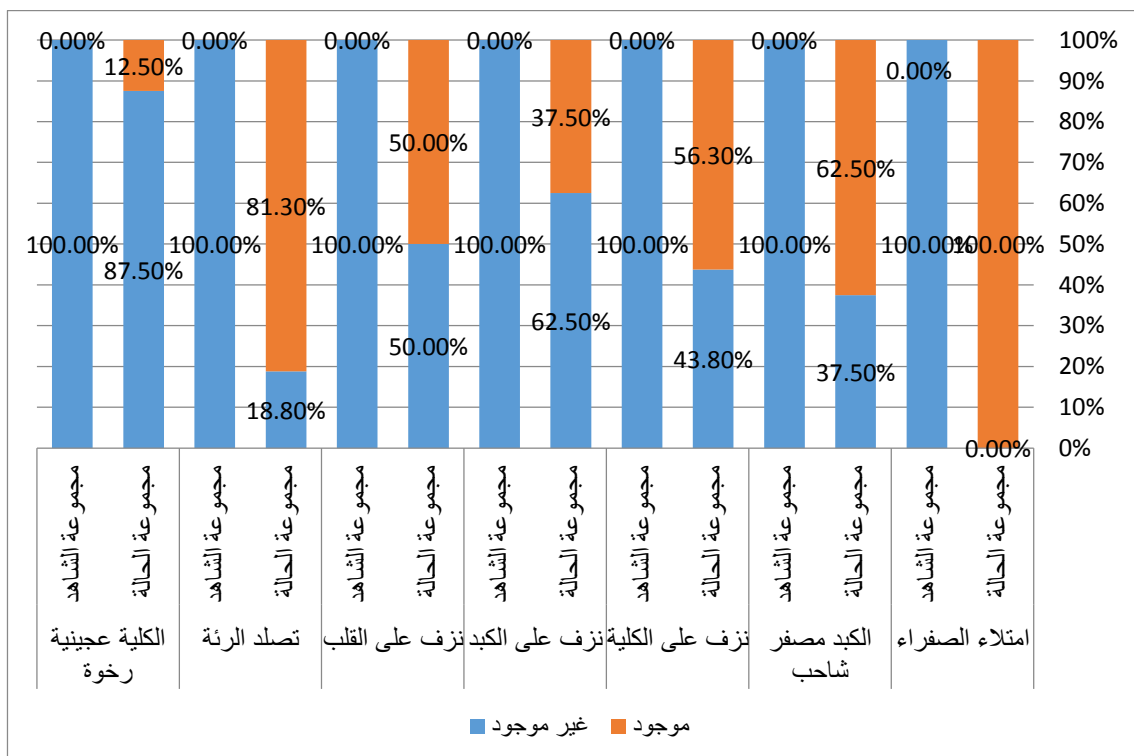
4-3-2-3-2- وجود الخلايا البدنية في المقاطع النسيجية من الكلية لمجموعة الأغnam المصابة:
بين الفحص المجهري وجود للخلايا البدنية حول الأوعية الدموية في المقاطع النسيجية من عينات الشاهد (35-4)، وكانت موجودة بشكل متزايد عم حالتها الطبيعية ومتفاوتة بين كل مقطع نسيجي وأخر في الهيئات من الأغnam المصابة. الشكل (36-4).



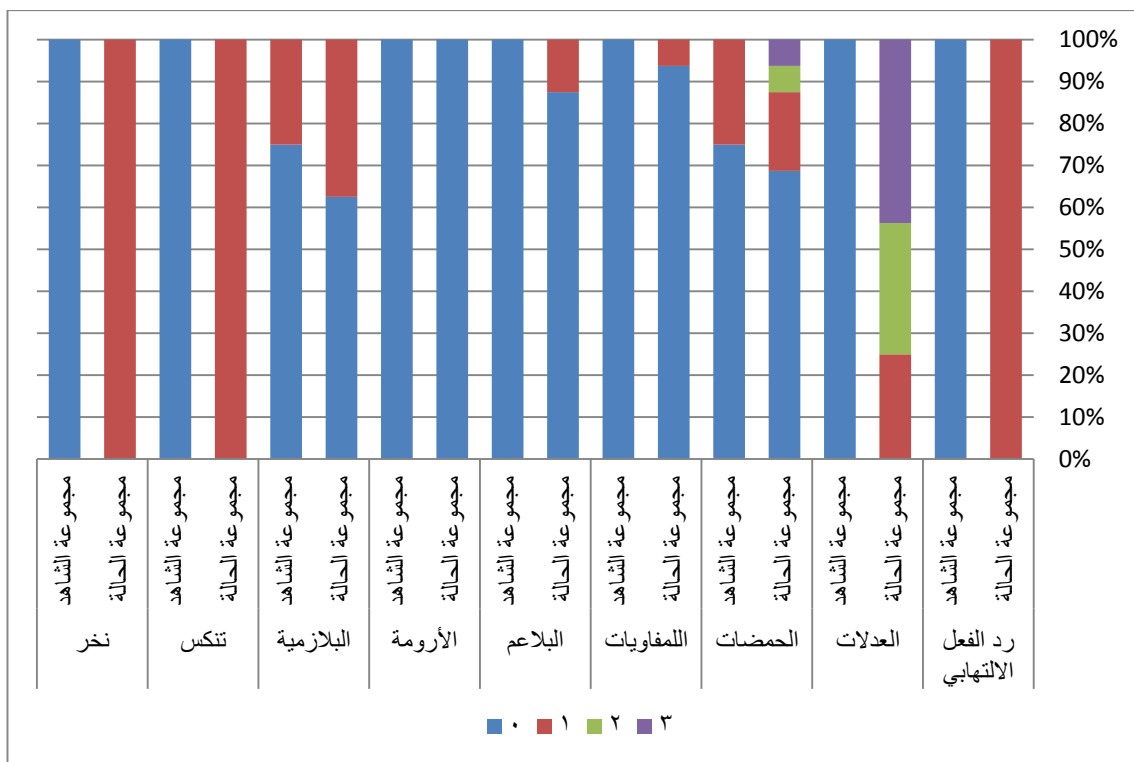
4-2-4- نتائج التحليل الاحصائي:



المخطط. (2-4): النتائج الإحصائية للتغيرات المرضية العيانية.

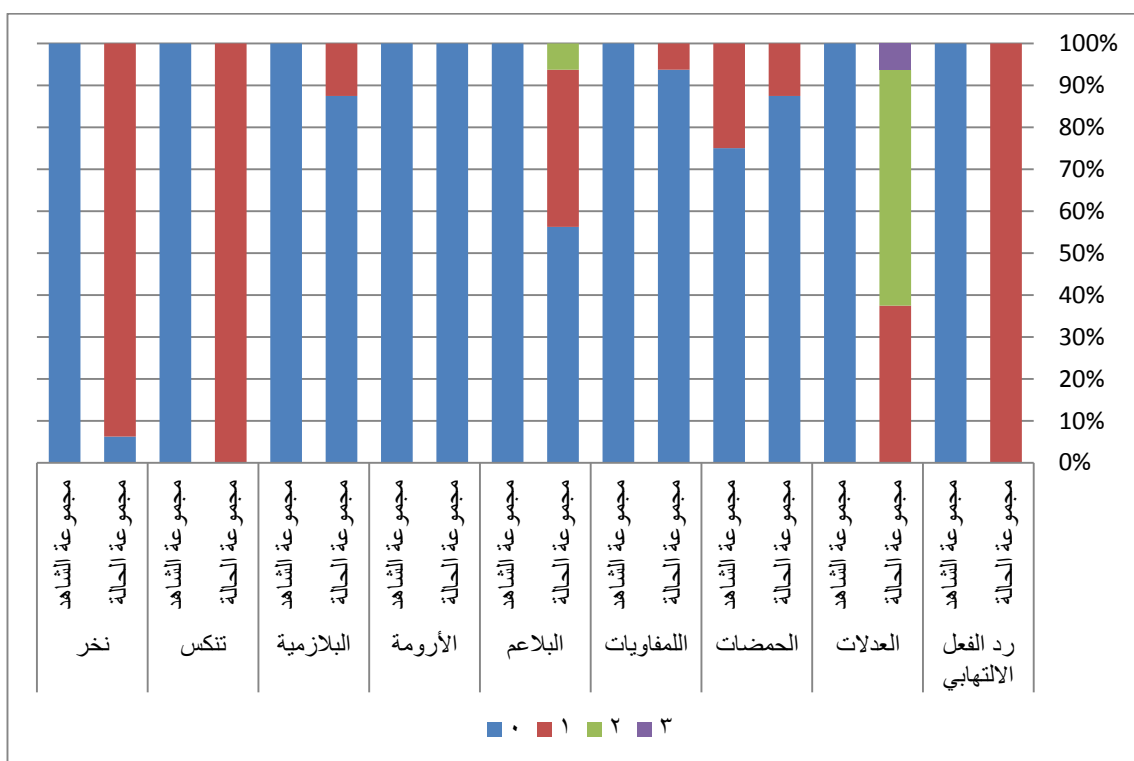


المخطط. (3-4): النتائج الإحصائية للتغيرات المرضية العيانية.

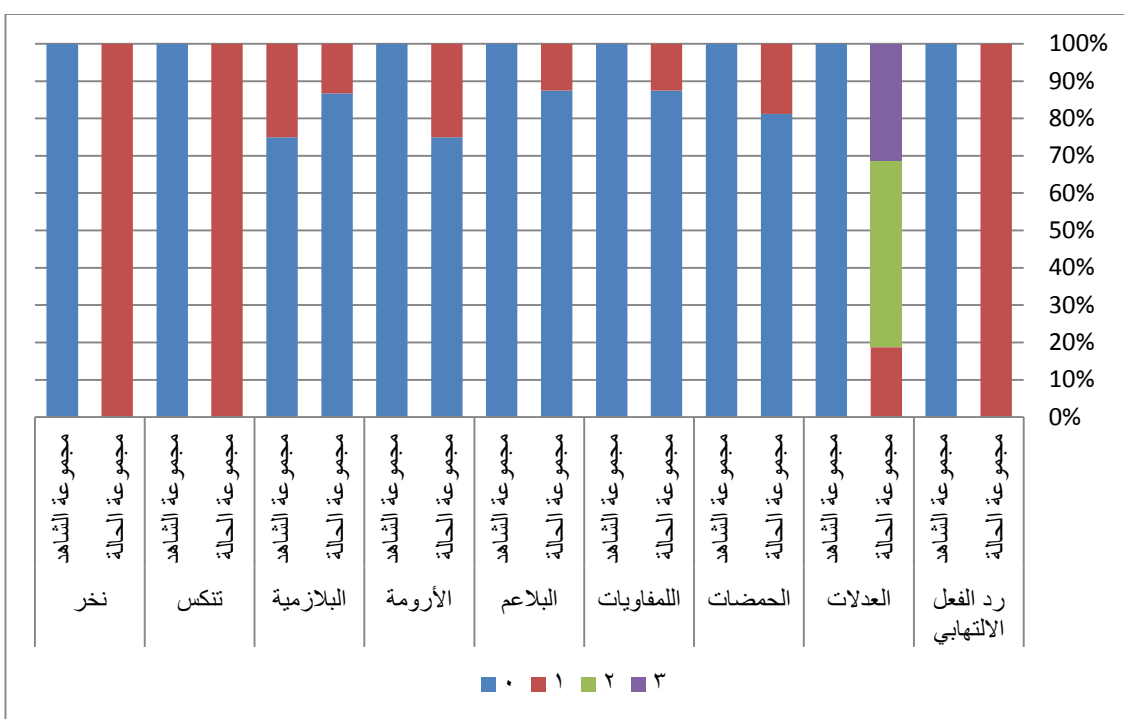


المخطط. (4-4): وجود الخلايا الالتهابية والتلكس والنخر في أنسجة الأمعاء المدرosa.

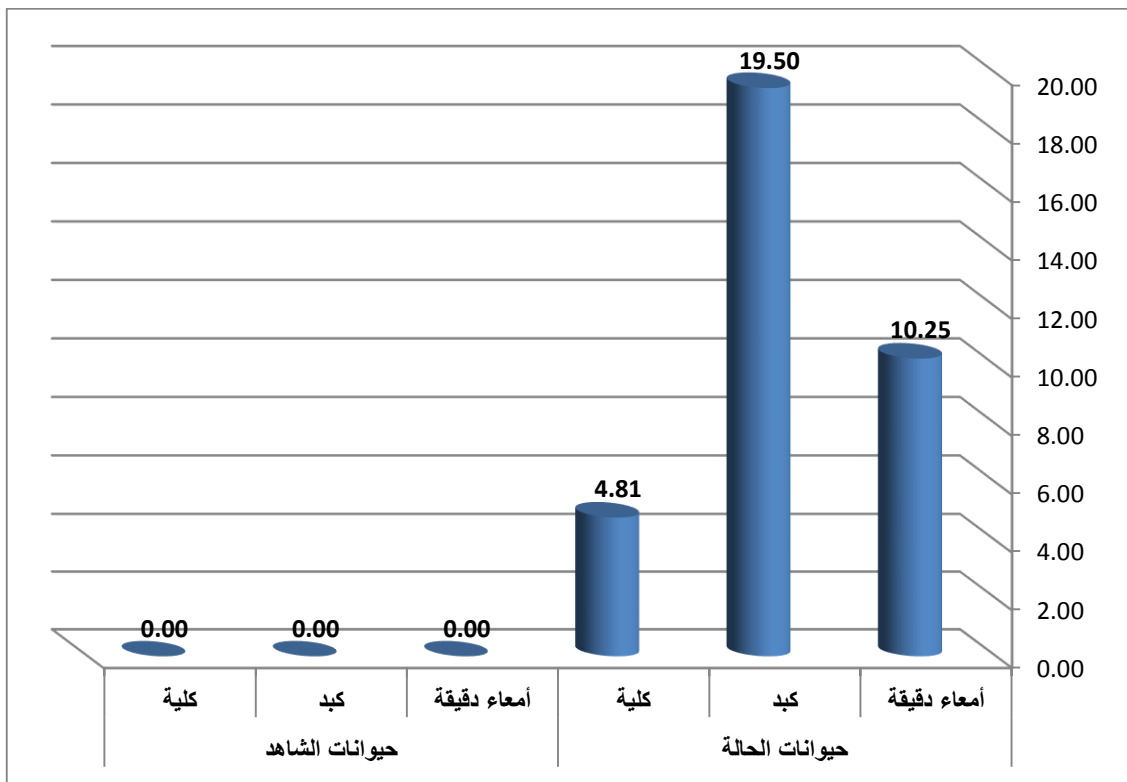
٠: وجود طبيعي للخلايا الالتهابية. (١): زيادة خفيفة. (٢): زيادة متوسطة. (٣): زيادة كثيفة.



المخطط. (4-5): وجود الخلايا الالتهابية والتلكس والنخر في أنسجة الكبد المدرosa.



المخطط (6-4): وجود الخلايا الالتهابية في أنسجة الكلية المدرosa.



المخطط (6-7): وجود الخلايا البدنية في الأنسجة المدرosa.

المناقشة

DISCUSSION

5 المناقشة Discussion

أظهرت هذه الدراسة وجود مرض التذيف الدموي المعموي في قطيع الأغنام الموجود في مركز البحوث العلمية الزراعية في حماة، حيث تم جمع العينات من الأغنام الناقفة نفوقاً مفاجئاً وكان معدل النفوق للحالات المدروسة المصابة بمرض التذيف الدموي المعموي 100% وذلك في فترة الدراسة المحصورة في الفقرة الواقعة ما بين شهر كانون الأول عام 2021 إلى شهر تموز من عام 2022، وكانت نسبة الإصابة 3.66% حيث كان عدد الأغنام المصابة 16 من الأغنام من قطيع مؤلف من 436 رأس من الأغنام مؤلف من 147 نعجة، و31 كبش، و51 رأس من الدغالي، و57 من الثنايا و82 من الخراف الصغيرة، و68 من الحملان الصغيرة.

وُجد أن الأغنام المصابة كانت من فئة النعاج والخراف الصغيرة والحملان حديثة الولادة، فقد كان عدد الحملان المصابة 9 إلى 68 حمل في القطيع، أي بنسبة إصابة 13.23% من جمل الحملان، أما نسبة الحملان الصغيرة المصابة (9) إلى القطيع الكلي (436) فقد كانت 2.06%， وكان عدد الخراف الصغيرة المصابة 4 من الخراف إلى 82 خروف أي بنسبة إصابة 4.87% خروف، أما نسبة الخراف الصغيرة المصابة (4) إلى عدد القطيع الكلي (436) فقد كانت 0.97%， وكان عدد النعاج المصابة 2 نعجة إلى 147 نعجة أي بنسبة إصابة 1.3% نعجة بالنسبة إلى عدد النعاج، أما نسبة النعاج المصابة (2) إلى عدد القطيع الكلي (436) فقد كانت 0.458%.

وقد تعزى نسبة النفوق العالية إلى شدة فوعة المسبب أو إلى أن الحالات المريضة كانت من النوع الحاد أو فوق حاد وهذا يتوافق مع ما أشارت إليه دراسات عديدة منها (Songer, 1996)، في حين ذكر تولوي ومسعودي (Tooloei and Masodei, 2008) أن نسبة النفوق fatality rates قد تراوحت في قطاع دراستهما بين 0-80% وبمعدل 40%， بينما أشار (Gökce et al., 2007) إلى أن معدل الإصابة من الممكن أن يصل إلى 30% بمعدل نفوق مرتفع 100%. (El-Idrissi and Ward., 1992; Greco et al., 2005; Nazki et al., 2021)

توافقت نسبة النفوق مع ما وجده (حمد، 2010) في دراسة للحالات الناقفة لقطعان الأغنام في مدينة حماة وريفها حيث تراوحت نسب انتشار المرض في قطاعان الدراسة بين 7.03-47.32% وبمعدل 18.61% حيث تعتبر نسبة مرتفعة على الرغم من أنها أقل من النسب المذكورة في العديد من الدراسات حول العالم والتي تراوحت بين 24.13% و100%.

وقد تتفاوت نسبة الإصابة من منطقة إلى أخرى ومن دولة إلى أخرى حيث ذكر العالم سونجر في عام (Songer, 1996) أن نسبة الإصابة بالمرض عند الأغنام قد تصل إلى 30% ومعدلات نفوق fatality rates مرتفعة قد تصل إلى 100% وبشكل خاص عند الإصابة بالنمط D، كما أشار العالم نيلو في عام (Niilo, 1988) إلى أن معدلات الإصابة يمكن أن تترواح بين 30 إلى 50% وقد تصل معدلات النفوق بين 50 إلى 100% ترافقها أعراض تدوم أقل من 24 ساعة وبشكل خاص عند الإصابة بالنمط C، وقد أكدت الطرق التشخيصية في هذه الدراسة إيجابية الإصابة بالتزيف الدموي المعموي في جميع الحالات الناقفة والمشتبه بإصابتها بالمرض التي جمعت من

قطيع الأغنام في مركز بحوث حماة بغية الدراسة التشريحية المرضية وهذا ما يتوافق مع الباحثين (Greco *et al.*, 2005; Songer, 1996; Niilo, 1988) ومع ما وجده الباحث (حمد، 2010) حيث كانت نسبة الإصابة نفوق قد تصل إلى 100% في الأغنام المصابة

وفي الدراسة التي تُعنى بالدراسة الوبائية للمرض للباحث (حمد، 2010) حيث كانت نسبة الإصابة مرتفعة جداً بحدود 73.37% في عام 2008 وعند مقارنتها مع نتائج الصحة الحيوانية لنفس العام كانت متشابهة نسبياً حيث أن أعلى نسب لإصابة سُجلت من قبل الصحة الحيوانية خلال الفترة 2006-2008 كانت في عام 2008، وكانت نسبة إصابة في العينات من الأغنام الواردة خلال عام 2006 هي 34.17% بينما ارتفعت النسبة في عام 2007 ووصلت إلى 34.17% وبلغت أعلى نسبة خلال عام 2008 بنسبة إصابة 41.15% على الرغم من أن العينات الواردة في عام 2008 كانت أقل من الأعوام السابقة لكن كانت نسبة إصابة مرتفعة مما يدل على خطورة المرض كما وتشهد هذه النسب ارتفاعاً مستمراً ويرجع ذلك إلى عوامل الخطورة وعوامل الفوعة للسبب والعوامل المهيأة للمرض ومدى العمل على تقادي تلك العوامل ومدى تطبيق طرق التخدير والعلاج والسيطرة على المرض.

قد يعزى هذا التفاوت في معدلات الإصابة والنفوق إلى عدة عوامل منها التغيرات البيئية واختلاف مواسم الدراسة والتحصينات والوقاية باللقالحات وطبيعة التغذية واختلافها من دولة لأخرى ومن منطقة لأخرى ومدى مهارة الأطباء البيطريين في تشخيص المرض والوعي التثقيفي والصحي لدى المربين.

تم في هذه الدراسة أخذ العينات للفحص الجرثومي مباشرة عند النفوق وتم الزرع بشكل فوري في أنابيب مجهزة بمرق الثيوغليكولات وتم تحضيرها مباشرةً ومن ثم تم الزرع على الأوساط حيث تدل النتائج الإيجابية للزرع من الأمعاء الغليظة على وجود جراثيم المطية الحاطمة المتعايشة وتدل النتائج الإيجابية للزرع من الأمعاء الدقيقة على وجود للمطية الحاطمة بالشكل الممرض وتدل النتائج الإيجابية من الكبد أو الكليتين أو الاثنين معاً على تأكيد الإصابة حيث تنتقل هذه الجراثيم إلى الأوعية الدموية المساريقية والمعوية بعد تخريب جدار الأمعاء ومن ثم إلى مجرى الدم ومنه إلى الأعضاء الأخرى.

أظهرت نتائج الفحص الجرثومي وجود جراثيم المطية الحاطمة من الجنس *Clostridium* نوع *Perfringens* في العينات المأخوذة من وسط الأمعاء الغليظة في جميع الحالات المشتبه وفي 50% من حالات الشاهد السليمة، حيث تشكل الأمعاء الغليظة الوسط الذي توجد فيه جراثيم المطية الحاطمة بشكل متعايشه كمكون من الفلورا الطبيعية، ويمكن أن تعزى النتيجة السلبية لوجودها في 50% من أمعاء الغليظة للشاهد إلى انخفاض كبير لنسبة هذه الجراثيم في وسط الأمعاء الغليظة مما أدى إلى تعذر نموها على المنابت الجرثومية وهذا ما يتوافق مع (Quinn *et al.*, 2003)

أكّدت النتائج السالبة لعينات الشاهد من الأمعاء الدقيقة أنّ مكان وجود جراثيم المطثية الحاطمة الطبيعي (السليم) في الأمعاء الغليظة فقط، وأنّ وجودها خارج الأمعاء الغليظة يدل على الحالة المرضية حيث لم تُوجَد هذه الجراثيم في العينات من أماكن أخرى غير الأمعاء الغليظة عند الأغنام السليمة، وهذا ما يتوافق مع (Songer, 1996). وقد كانت النتائج إيجابية لعزل جراثيم المطثية الحاطمة في جميع العينات من الأمعاء الدقيقة المأخوذة من الحالات المدروسة الناقفة، وكان السؤال قبل البدء بالعمل في هذه الدراسة (كيف سيتم إثبات أن جراثيم المطثية الحاطمة المعزولة من أغذام الدراسة هي جراثيم متعايشة أم جراثيم مرضية)، حيث أنّ هذه الجراثيم هي جزء من الفلورا المتعايشة بشكل طبيعي في الأمعاء الغليظة) وبعد البحث في مراجع علمية كثيرة منها (Simpson et al., 2017 و Quinn et al., 2004) تبيّن أنّ وجود هذه الجراثيم في الأمعاء الدقيقة يدل على أنّ الجراثيم المتعايشة في الأمعاء الغليظة أصبحت ممرضة عندما توفرت البيئة الغنية للتکاثر (العوامل المهيئه) ما أدى إلى ارتفاع التعداد الجرثومي وارتفاع شدة فرعة المسبب الأمي الذي أدى إلى انتشار هذه الجراثيم باتجاه الأمعاء الدقيقة، الأمر الذي يعمل على إنتاج كميات كبيرة من الديفانات التي تسبّب تخريباً نسيجياً كبيراً في بطانة الأمعاء والأوعية الدموية ومن ثم امتصاص الديفانات وتسرّبها إلى الدم عبر الأنسجة المتضررة ما يؤدي إلى تذيفن الدم المعوي وباستمرار تأثير ذلك الأمي الواقع على نسيج الأمعاء والأوعية الدموية يتم خروج قسم من جراثيم المطثية الحاطمة إلى مجرى الدم ويزداد ذلك بازدياد شدة الإصابة إلى أن تصل هذه الجراثيم إلى أعضاء الجسم عبر الدورة الدموية ما يفسّر إيجابية نتائج عزل جراثيم المطثية الحاطمة من الكبد والكلى في معظم الحالات الناقفة، الأمر الذي يؤكّد إيجابية الإصابة ويدل على شدة الإصابة وسيرها المرضي.

إلا أنه في دراسة (حمد، 2010) لم يتم تحديد منطقة معينة من الأمعاء التي تم أخذ العينات منها ولم يُؤخذ بعين الاعتبار إن كان وجود هذه الجراثيم بشكلها الممرض أم بالشكل الطبيعي لها، كما أن الفحص الجرثومي للكبد والكليّة وأعضاء أخرى المباشر بعد النفوق قد أظهر وجود نتائج سالبة لجميع العينات، وأنه قد وجد نتائج إيجابية لعينات للزرع الجرثومي من بعض تلك الأعضاء التي أخذت بعد النفوق بأكثر من 6-4 ساعات، إلا أن النتائج الصحيحة والحقيقة تكون من عينات أخذت عند النفوق مباشرة وتعبر عن نتائج مرضية بينما تهمل نتائج العزل الجرثومي من عينات أخذت بعد النفوق بـ 4-6 ساعات لأنّها نتائج غير مرضية ناتجة عن تفسخ الجثة بعد الموت حيث تنتشر الجراثيم في الجثة بعد النفوق في أماكن لم تتوارد بها أثناء الحياة وبذلك فهي مؤشر غير مرضي وإنما هي مؤشر رمي.

من المحتمل أن يعزى السبب الذي يجعل جراثيم المطثية الحاطمة جراثيم متعايشة في الأمعاء الغليظة في ذات الوقت التي من الممكن أن تصبح جراثيم ممرضة عند توفر الظروف والعوامل المهيئه إلى الطبيعة النسيجية لبنية الأمعاء الغليظة التشريرية التي تحتوي على عقائد لمفافية في الصفيحة المخصوصة لجدار الأمعاء تمتد على طول الطبقة تحت المخاطية، بينما توجد في الأمعاء الدقيقة العقائد الليمفاوية (لطخ باير) في الجزء اللفائفي من الأمعاء الدقيقة، ومن جهة أخرى فإن

بنية الطبقة العضلية في الأمعاء الغليظة تتألف من ألياف طولية وألياف دائريّة لكنها تختلف عن الطبقة العضلية الموجودة في الأمعاء الدقيقة في أن طبقة الألياف تتألف من ثلاث حزم بالإضافة إلى أنّ جدار القولون يحتوي على شرائط عضلية (Bacha and Linda, 2012) الأمر الذي يعمل على دعم البنية النسيجية للأمعاء الغليظة ويشكل سماكة مقاومة لعمل الذيفانات الناخر للخلايا.

من الممكن أن يُعزى السبب الذي يجعل جراثيم المطثية الحاطمة جراثيم متعايشة في الأمعاء الغليظة في ذات الوقت التي من الممكن أن تصبح جراثيم ممرضة عند توفر الظروف والعوامل المهيأة إلى بنية الأمعاء الغليظة التشريجية التي تحتوي على عقادات لمفاوية في الصفيحة المخصوصة لجدار الأمعاء تمتد على طول الطبقة تحت المخاطية، بينما توجد في الأمعاء الدقيقة العقادات الليمفاوية (لطخ باير) في الجزء من اللفائف، ومن جهة أخرى فإن بنية الطبقة العضلية في الأمعاء الغليظة تتألف من ألياف طولية وألياف دائريّة لكنها تختلف عن الطبقة العضلية الموجودة في الأمعاء الدقيقة في أن طبقة الألياف تتألف من ثلاث حزم بالإضافة إلى أنّ جدار القولون يحتوي على شرائط عضلية (Bacha and Linda, 2012) الأمر الذي يعمل على دعم البنية النسيجية للأمعاء الغليظة ويشكل سماكة مقاومة لعمل الذيفانات الناخر للخلايا.

من المحتمل أنه قد يحدث الموت المفاجئ نتيجة الصدمة Shock وهي على عدة أشكال وبعدة آليات، معظم الأسباب التي تؤدي إلى الصدمة ممكّن أن يسببها مرض تذيفن الدم المعوي، وهي تعبّر عن قصور الدورة الدموية الطرفية وتتصف بتجمّع الدم في الفُرُش النهائية للدورة الدموية وقد تكون سبباً رئيسياً للنفوق، وتعني في علم الأمراض Pathological أنّ الدم غير كافٍ عند فتح جميع الفرش الشعريّة الانتهائين وعند كفاية الدم العائد إلى القلب Hypovolemic shock في انخفاض جريان الدم العام وانخفاض ضغط الدم وبالتالي عدم وصول الدم إلى الأعضاء الهامة في الجسم وأهمها الكلى حيث ينخفض ضغط الترشيح للكبيبات ويحصل توقف كامل لتشكل البول ما يدعى بالرّازم Anuria ما يؤدي إلى حدوث تبلّون الدم Uremia، وبذلك نجد أنه إن لم تحدث الصدمة بقصور الدورة الطرفية فقد تحدث بتأثير نسبة اليوريّا السامة المرتفعة على الدماغ، وقد يؤدي هبوط ضغط الدم فيزيولوجيًّا إلى رد فعل تصعيدي وعائي Vasoconstriction، فيتحرر الرينين Renin الذي يعمل في الكبد على تشطيط الأنجيوتنسين، الذي يرفع ضغط الدم ويحرر الألدستيرون Aldosterone من قشرة الكظر مسبباً احتباس الصوديوم والماء فيزييد حجم الدم الذي قد يكون مميتاً أحياناً نتيجة قصور في القلب Cardiogenic shock كما يؤدي التضيق الوعائي الشديد في علم الأمراض إلى الإقفار Ischemia التكتسي ونخر عشوائي في الكلية، كما تسبّب الذيفانات فيزيولوجيًّا الصدمة التسممية أي Acute renal tubular necrosis Septicemia إلى جانب التخريب الشديد في بطانة الأوعية الدموية وكلاً من الذيفانات والبطانة المخربة يعملان على تشكيل خثرات صغيرة منتشرة في الشعيرات الدموية والشريانات والأوردة الصغيرة وينجم عن ذلك التخَّر داخل الوعائي المنتشر Disseminated

تجاويف الجسم إلى عمل الـ**ذيفانات المطثية** **الحاطمة** **عدة** **آليات** يمكن أن تسبب الصدمة وقد لاحظ (Gohari *et al.*, 2022) تلك التغيرات.

يعزى وجود السوائل في تجاويف الجسم إلى عمل الـ**ذيفانات** (**Iota - Epsilon- Beta - Alpha**) **Beta-2** **الذيفان المعموي**) المفرزة من جراثيم المطثية الحاطمة بالإضافة إلى الأنزيمات (**Tpel- NetB- Hyaluronidase- Collagenase- Clostripain- Sialidase**) التي تؤثر في نفوذية الأوعية الدموية أو نخرها (Finnie *et al.*, 2020) و(UzaL *et al.*, 1999) ما يؤدي إلى تسرب مصل الدم أو البلازما مع الألبومين وألياف الفيبرين وبروتينات الدم الأخرى إلى تجاويف الجسم التي تلعب دوراً هاماً في حركة السوائل من الدم إلى الأنسجة وبالعكس وذات أهمية كبيرة في المحافظة على توازن الضغط التناضحي (**Osmotic Pressure**)، وصولاً في التأذى إلى تسرب الكريات الحمراء إضافة للبروتينات في المنطقة المتضررة فيكون الرشيح نزف دموي وقد وجد ذلك جلياً في الحالات المدروسة حيث لوحظ وجود سوائل مصلية إلى فيبرينية أو دموية في تجويف الصدر Hydrothorax و/أو في تجويف البطن Ascites و/أو في كيس التامور Hydropericardium.

يمكن أن يفسر ملاحظة النخر المنتشر في الغشاء المخاطي في الأمعاء بشكل واسع لتأثير الذيفانات الجرثومية على الخلايا الظهارية المعموية، وهذا ما أشار إليه (Popoff, 1984)، وقد لوحظ الالتهاب المخاطي والالتهاب التقرحي حيث وجد تجمع كبير لسائل مدمم وخثرات فيبرينية ناتج عن تحطم الخلايا بفعل الذيفانات وهذا ما يتوافق مع ما وجده (UzaL, Quinn *et al.*, 2004) (Quinn *et al.*, 2004) حيث يبدأ الأذى في الخلايا المبطنة للأمعاء ومن قسم الزغابات المعموية بالتحديد المتآثرة بشكل موضعي بالذيفانات المفرزة من جراثيم الحاطمة، يرتبط الذيفان بشكل أساسياً بأطراف الزغابات المعموية لكنه يتسبب بتدمير الزغابات بأكملها حيث تطلق الخلايا الحساسة للذيفان المتآثرة عاملًا (سيرين بروتياز Serine protease) لنخر الخلايا الغير حساسة وبذلك يتم تدمير الخلايا المعموية المجاورة.

سجلت الأعراض الأكيلينيكية الظاهرة على الأغنام المصابة بالتنفس الدموي المعموي على شكل خمول وتعب وانخفاض في الشهية والمgesch المفاجئ والرقود والاستلقاء على الأرض والهاث وهذا ما يتافق مع الكثير من الباحثين منهم (Dadhich, Hayati and Tahamtan, 2020), (Songer, et al., 2021) ومن الممكن أن تعزى إلى تراجع الفاعلية الوظيفية لأعضاء الجسم وعملياته الحيوية وذلك تحت تأثير تسمم الدم بذيفانات المطثية الحاطمة التي تعمل على نخر الأنسجة لا سيما الذيفان ألفا (CPA) الذي يفرز من جميع أنماط الحاطمة بتأثيره المباشر على الموصلات الخلوية والشحوم المفسّرة في الغشاء الخلوي وفي الخلايا المبطنة للأمعاء والأوعية الدموية والكريات الدموية الحمراء والبيضاء والخلايا العضلية والصفائح الدموية على وجه الخصوص وتشكيل مسام فيها مسبباً تجمي الخليمة وتحللها بتأثيره الناخر والحال للدم وهذا ما أيده (Songer, 2006) كما يؤدي الخلل في الغشاء السيتوبلازمي إلى انخفاض سريع في مستويات البوتاسيوم السيتوبلازمي ونطاف أيونات الصوديوم والكلوريد مما يؤدي إلى نضوب في الطاقة الأدينوزين

ثلاثي الفوسفات ATP ونخر في الخلايا البطانية، كما يعمل الـذيفان ألفا (CPA) على تراص الصفيحات الدموية الأمر الذي يعيق جريان الدم ويسبب نقص التروية ونقص الأكسجة الخلوية، وتشكيل خثرات أو صمات في الأوعية الدموية، وقد تؤدي تأثيراته المختلفة بالاشتراك مع تأثيرات ذيفانات أخرى للحاطمة إلى الصدمة والموت بدون أي عرض سابق وهذا ما لاحظه (Timoney et al., 1988).

قد وجد في الفحص العياني والفحص المجهري حالات من النزف Hemorrhage في ملاحظة وجود لكريات الدم الحمراء خارج الأوعية الدموية المخربة على شكل نزف جبري Petechial أو كدمي Ecchymosis على القلب وكذلك في الكبد وأنسجة الكلية ما يتواافق مع مشاهدات Kalender et al., 2023) ومن الممكن أن يعزى ذلك إلى فعل الأذى المطبق على أنسجة الجسم الناتج عن تأثير الذيفانات التي تعمل على تخريب الخلايا المبطنة للأوعية الدموية وأنسجة الجسم وخلايا العضلة القلبية ما يسبب تسرب الدم عبر البطانة المتضررة للأوعية الدموية حسب شدة الاصابة وسير المرض ما يتواافق مع (Songer, 2006)، النزف شائع الحدوث تحت محفظة الكلية في حالات تجرثم الدم Bacteremia أو تسمم الدم Septicemia حيث أنه غالباً ما يرافق السمديمية المعيشية المطئية النزف المحفظي وتم ملاحظته في أغلب الحالات المدروسة،

كما لاحظ الباحث (UzaL et al., 2020) النزف المحفوظي والنزف على شغاف القلب وفي الأغشية المخاطية.

وجد من خلال نتائج الفحص النسيجي المجهري نخر في ظهارة الأمعاء ونخر في الزغابات المعيشية في جميع الحالات المدروسة وهذا ما يؤكّد نتائج الفحص الجرثومي والفحص التشريحي والأعراض الإكلينيكية وهذا ما يتواافق مع (UzaL et al., 2020) حيث تسبب ذيفانات المطئية الحاطمة بتخريب الخلايا المبطنة للأمعاء كما تسبب نخر في الصفيحة المخصوصة وقد يصل الضرر إلى طبقات نسيج الأمعاء كافة (Finnie et al., 1999).

حيث لوحظ أيضاً احتقان في الأوعية الدموية وتنكس فجوي في الخلايا المعيشية وتضخم الغدد الخبيثة، كما لوحظ الضرر الأكبر في الجزء العلوي من الأمعاء بالآفاف النخريّة وقد يعزى ذلك إلى وجود مفرزات العصارة الصفراوية والتي تعمل على تحريض نمو جراثيم المطئية الحاطمة وتبوغها.

يفسر الشحوب في لون الكبد المسجل في أغلب الحالات المدروسة وتضخم حجمه وظهوره بمظهر باهت مصفر على التنكس الدهني بما وجد من تأذى الخلايا، كما لوحظ وجود بؤر تنكسية وبؤر نخريّة ما ينجم عن ذلك تراكم الغليسيريدات الثلاثية والدهون والغликوجين بسبب تأذى الخلايا الكبدية التي تقوم بعمليات الاستقلاب ومعادلة السموم ما ينجم عن ذلك التنكس الدهني في الكبد الذي يعطي عيانياً اللون المصفر للكب والقوام الهش والحواف المدور وهذا وجده أيضاً (Brown et al., 2007)

وُجِدَ عَنْدَ فَحْصِ مَقَاطِعِ نَسِيجِ الْكَلِيَّةِ حَالَاتٌ مُخْتَلِفةٌ مِنَ الْكَلَاءِ Nephrosis وَذَلِكَ عَنْدَ مُلْاحَظَةِ آفَاتٍ تَنَكُّسِيَّةٍ مُتَرَافِقةً مَعَ وُجُودِ الْبِرُوتِينَاتِ الْحَامِلَةِ لِلأُوكْسِجينِ مُثَلَّ خَضَابِ الدَّمِ وَهِيَ مِنَ السُّومَ الدَّاخِلِيَّةِ، فَقَدْ لَوْحَظَ لِدِيَ الْفَحْصِ الْمَجْهُرِيِّ وَجُودُ لِقَوَالِبِ مِنْ خَضَابِ الدَّمِ تَسْدِيْدِ لِمَعَةِ النَّبِيَّاتِ الْكَلِيَّةِ (Dorca-Arévalo and Gómes de Aranda, 2022) عَلَى تَأْثِيرِ تَلَكَ الْذِيفَانَاتِ فِي نَخْرِ الْخَلَايَا الْمَبَطَّنَةِ لِلنَّبِيَّاتِ الْكَلِيَّةِ كَمَا أَنَّهُ مِنَ الْمُمْكِنِ أَنْ يَرْتَبِطَ حَدُوثُ نَخْرٍ حَادٍ فِي النَّبِيَّاتِ الْكَلِيَّةِ وَهَذَا مَا لَاحَظَهُ (Manday *et al.*, 2020) (Kalender *et al.*, 2023) أَيْضًاً بِنَقْصِ الْأَكْسَاجِ النَّاتِحِ عَنِ اِنْهَالِ الدَّمِ دَاخِلَ الْأَوْعِيَةِ الدَّمْوِيَّةِ وَبِالْتَّالِي فَقَرَ الدَّمِ النَّاتِحِ عَنِهِ مَعَ تَسْلُلِ عَدْدٍ كَبِيرٍ مِنَ الْعَدَالَاتِ وَيَفْسِرُ وُجُودَ خَضَابِ الدَّمِ فِي لِمَعَةِ النَّبِيَّاتِ عَلَى تَحْلِلِ الدَّمِ وَذَلِكَ بِفَعْلِ ذِيفَانَاتِ الْمَطَبِّيَّةِ الْحَاطِمَةِ وَتَرْسِبِ خَضَابِ الدَّمِ الْمُتَسَرِّبِ مِنَ الْكَرِيبَاتِ الْحَمَرَاءِ الْمَتَهَكَّةِ وَتَوْضِعَهُ عَلَى شَكْلِ قَوَالِبِ هِيمُوْغُلُوبِيَّيَّةِ فِي لِمَعَةِ النَّبِيَّاتِ الْكَلِيَّةِ الَّذِي يُشَكَّلُ بِالْبِيلَةِ الْخَضَابِيَّةِ وَالَّتِي هِيَ مِنْ أَعْرَاضِ وَمَمِيزَاتِ التَّدِيْفِ الْدَمْوِيِّ الْمَعَوِيِّ وَبِشَكْلِ خَاصٍ مِنَ النَّمَطِ A وَقَدْ وَجَدَ الْبَاحِثُ فَرَانْسِيسُوكُ أُوزَالُ فِي دراسَةِ عَنِ النَّمَطِ A أَنَّ جَمِيعَ الْحَالَاتِ فِي الْأَغْنَامِ كَانَتْ تَعَانِي مِنْ بِيلَةِ خَضَابِيَّةٍ (Uzal *et al.*, 2020)، كَمَا وَجَدَتْ حَبِيبَاتِ هِيمُوْغُلُوبِيَّيَّةِ فِي الْخَلَايَا الْمَبَطَّنَةِ لِلنَّبِيَّاتِ وَيَفْسِرُ ذَلِكَ فِي مُحاوَلَةِ الْخَلَايَا الْنَّبِيَّيَّةِ لِاستِرْجَاعِ السَّوَالِيْنِ إِلَى الدَّمِ فَمُتَّصِّسٌ مَعَ الرَّاشِنِيِّيِّيِّ تَظَهُرُ بِاللُّونِ الْبَرْتَقَالِيِّ عَادَةً بِصَبْغَةِ H&E.

تَعْمَلُ ذِيفَانَاتِ جَرَاثِيمِ الْمَطَبِّيَّةِ الْحَاطِمَةِ عَلَى نَخْرِ الْخَلَايَا الْمَبَطَّنَةِ لِلأنْسَجَةِ بِشَكْلِ عَامٍ وَبِشَكْلِ خَاصٍ يَعْمَلُ الذِيفَانُ إِبْسِيلُونُ عَلَى نَخْرِ الْخَلَايَا الْمَبَطَّنَةِ لِلْأَوْعِيَةِ الدَّمْوِيَّةِ (Dorca-Arévalo and Gómes de Aranda, 2022) وَعِنْدَ النَّظَرِ إِلَى الْكَبِيَّاتِ الْكَلِيَّةِ تَحْتِ الْمَجْهَرِ وَجَدَ نَخْرٌ كَبِيَّيٌ مُخْتَلِفٌ الشَّدَّةِ، وَالَّتِي بِدُورِهَا تَقْوِيمُ بِتَرْشِيحِ السَّوَالِيْنِ مِنَ الدَّمِ بِدُونِ بِرُوتِينَاتِ مَصْلِ الدَّمِ وَعِنْدَ وَجْودِ تَهْتَكٍ أَوْ أَيِّ ضَرَرٍ فِي بَنِيهَا الدِّيقَةُ يَحْدُثُ أَنْ يَتَمْ نَزُوحُ لِلْبِرُوتِينَاتِ مِنَ الدَّمِ وَتَرْسِبُهَا فِي النَّبِيَّاتِ الْكَلِيَّةِ الَّتِي تَعْمَلُ عَلَى إِعَادَةِ اِمْتَصَاصِ السَّوَالِيْنِ الْزَّائِدَةِ مِنَ الرَّشِيقِ الْكَبِيَّيِّ، وَبِازْدِيَادِ شَدَّةِ الْأَذَى الْمَطَبِّقِ عَلَى الْكَبِيَّاتِ الْكَلِيَّةِ وَالْفَرْوَنَاتِ بِشَكْلِ عَامٍ تَزَادُ نَسْبَةُ الْبِرُوتِينَاتِ الْمُتَسَرِّبةِ مِنَ الْكَبِيَّاتِ الْكَلِيَّةِ فَقَدْ لَوْحَظَ تَوْضِعُ لِمَوَادِ بِرُوتِينَيَّةِ حَامِضَيَّةِ الصَّبْغَةِ فِي فَرَاغِ بُوْمَانِ لِبعْضِ الْحَالَاتِ وَعَلَى الْأَغْشِيَّةِ الْفَاعِدَيَّةِ لِبِطَانَةِ النَّبِيَّاتِ الْكَلِيَّةِ وَعَلَى الأنْسَجَةِ الضَّامَةِ فِي الْكَلِيَّةِ فِي حَالَاتِ أُخْرَى.

يَفْسِرُ حَدُوثُ لِيُونَةٍ فِي قَوَامِ الْكَلِيَّةِ الَّتِي كَانَتْ عَجِينَيَّةً رَخْوَةً فِي مَلْمَسِهَا وَمَقْطَعِهَا (فِي حَالَتِينِ مِنْ حَيَوانَاتِ الْدَرَاسَةِ) بِتَأْثِيرِ الذِيفَانَاتِ وَالْذِيفَانِ إِبْسِيلُونِ (ETX) عَلَى وجْهِ الْخَصُوصَ عَلَى بِرُوتِينَاتِ الْخَلَايَا الْكَلِيَّةِ وَالْفَوسْفَولِيَّدَاتِ وَالْكَوْلَاجِينِ الَّذِي يَعْمَلُ عَلَى تَحْلِلِهَا مَا يَؤْدِي إِلَى تَلَينِ وَرَخَاوَةِ فِي أَنْسَجَةِ الْكَلِيَّةِ، كَمَا تَضَرَّرُ مَكَوْنَاتِ الْخَلَايَا وَالْأَنْسَجَةِ بِفَعْلِ الْأَنْزِيَّمَاتِ الَّتِي تَفَرِّزُهَا جَرَاثِيمُ الْحَاطِمَةِ وَتَأْثِيرُهَا الْمُحَلِّلُ عَلَى الْجِيلَاتِينِ وَالْكَازَيَّينِ وَالْهِيمُوْغُلُوبِيَّينِ، وَتَشِيرُ تَلَكَ التَّأْثِيرَاتِ مُجَمَّعَةً إِلَى أَنَّ نَمَطَ الإِصَابَةِ هُوَ مِنَ النَّمَطِ D الَّذِي يَتَمِيزُ بِإِفَرَازِ الذِيفَانِ إِبْسِيلُونِ الْمُسَبِّبِ لِلْكَلِيَّةِ الرَّخْوَةِ، يَتَوَافَقُ ذَلِكَ مَعَ مَا وَجَدَهُ كُلُّ مِنَ الْبَاحِثِينِ (Quinn *et al.*, 2004) (Brown *et al.*, 2007) (Uzal *et al.*, 2020).

للحظ وجود الخلايا الالتهابية وذلك في جميع المقاطع النسيجية للحالات المدروسة من الأمعاء والكبد والكلى، وكانت الخلايا العدلة هي الخلايا السائدة الموجودة في النسيج المتنفس أو المنتخر ويدل وجودها بشكل سائد على أن الالتهاب في الطور الحاد للمرض، وهذا ما يتواافق مع *et al., et al., 2020* (UzaL 2020)، وقد ترافق مع وجود بعض الحمضات في بعض الحالات وهي الخلايا المستجيبة غالباً كرد فعل تحسسي ضد السموم والذيفانات، وهذا ما يتواافق مع حالة وجود الذيفانات المفرزة من جراثيم المطثية الحاطمة، كما وجدت بعض الخلايا المتصورية ومن خصائص هذه الخلايا أنها تنتج الأضداد كما رافق ذلك الخلايا العدلة بعض البلازم في بعض الحالات وبعض الملفاويات في بعض الحالات الأخرى وهذا ما يتواافق مع ما وجد (Kalender et al., 2023) و (Manday et al., 2020).

يمكن تقسيم الحالة التي سجل فيها وجود كثيف للعدلات إلى جانب وجود للخلايا البلعمية والحمضات والمفاويات والمتصورية على أن سير المرض فيها في الطور التحول حاد وهي حالات قليلة جداً.

تمت دراسة الخلايا البدنية في المقاطع النسيجية التي أخذت من الأغنام الشاهد ومن الأغنام الناقصة وقد كان الهدف من دراستها هو العمل على تطبيق صبغة نوعية لإظهار الخلايا البدنية دون غيرها من الخلايا وذلك بناءً على خصائصها الكيميابيولوجية النسيجية والكيميابيولوجية حيث ظهرت باللون الأرجواني الوردي عند تطبيق صبغة أزرق الليلودين ما يتواافق مع ما أشار إليه Michaloadi (1999) حيث ظهرت حدود الخلايا باللون الأزرق في الساحة المجهرية كما ظهرت الحبيبات الإفرازية للخلايا البدنية باللون الأرجواني الوردي إذ أن قابلية الصبغة لأزرق الليلودين غالباً ما تدل على حبيبات البروتونغليكان المجددة في هيولى الخلية أو خارج الخلية بالقرب منها في حال إطلاقها من قبل الخلية البدنية فقد شوهد في بعض المقاطع الخلية متضمنة للحبيبات داخلها وفي البعض الآخر كانت مطلقة خارج الخلية وبالقرب منها ظهر باللون الوردي في الساحة المجهرية بالإضافة إلى أن الخلية لازالت متضمنة لقسم منها الذي ظهر باللون البنفسجي الوردي أيضاً وهذا ما أشار إليه (Wastling et al., 1998).

وجودت الخلايا البدنية في النسيج الضام بين الغدد المعلوية (لابريكان) في الأمعاء وغالباً ما وجدت في الكبد على جدر الجيوب الكبدية وفي الكلية بين النبيبات الكلوية وغالباً بالقرب من وعاء دموي، وقد لوحظ بأنها وجدت بأعداد أكبر في الكبد على جدر أشيه الجيوب الكبدية أو حولها وقد بلغت في إحدى عينات الكبد 70 خلية في المقطع الواحد، تلى عينات الكبد من حيث العدد العينات من الأمعاء وقد بلغ أقصى عدد لها 34 خلية في المقطع النسيجي الواحد، ثم العينات من الكلية فقد تراوحت أعدادها بين 4-3 وأقصاها 22 خلية في المقطع الواحد، في حال كانت أعداد الخلايا البدنية في المقاطع النسيجية من أغنام الشاهد 0-2 في كامل المقطع، وقد يعزى وجودها بشكل أكبر في الكبد كونه الأكثر تأثراً بحالة الجهاز الهضمي حيث وجدت على جدر الجيوب غالباً، وتكون أفضليتها وجودها طبيعياً في الحدود الفاصلة بين الجسم والوسط الخارجي كالجلد ومخاطية الرئتين والأنبوب الهضمي (Lee et al., 2012) حيث غالباً ما وجدت في العينات من

الأمعاء ما يفسّر أعدادها في المقاطع من الأمعاء حيث أنها كانت أقل من أعدادها في المقاطع من الكبد وأكثر من أعدادها في المقاطع من الكلية.

وجد أنّ أعداد الخلايا البينية قد تفاوتت من حالة إلى حالة ومن عضو إلى عضو آخر للعيّنات من الأغnam النافقة المدروسة وقد يُعزى ذلك وهذا ما وجده أيضًا الباحثان (Michaloadi and Papadopoulos, 1999)، حيث تفاوتت أعدادها بين الأنواع من الحيوانات المختلفة ولدى الإنسان كما أنها تتفاوت بين الأفراد من نفس النوع، بشكل عام وجدت أعداد الخلية البينية مرتفعة في واحد على الأقل من الأعضاء المدروسة لكل حالة كالكبد مثلاً، أو وجدت بأعداد مرتفعة في عضوين كالكبد والأمعاء مثلاً وفي حالات أخرى وجدت أعدادها مرتفعة في الأعضاء الثلاث المدروسة (كبد- أمعاء- كلية).

كما أنه من الممكن أن تلعب عوامل أخرى مهيئة دوراً هاماً في ذلك كالحالة الفيزيولوجية للأفراد والحالة المناعية وسير المرض لكل منها.

يعمل الهيستامين الذي تطلقه الخلايا البينية عبر إزالة التحبب على توسيع الوريدات مما بعد الشعيرات الدموية وينشط بطانة الأوعية الدموية ويزيد نفوذية الأوعية الدموية ما يؤدي إلى التسبّب في وذمة موضعية (Moon et al., 2014) وبالتالي من الممكن أن تعمل الخلايا البينية كعامل مساعد لحدوث الوذمة في هذا المرض.

وجد أثناء الفحص الجهيـري للعينات التي تمت صياغتها بأزرق التلودين خلايا مغايرة للخلايا البينية لكنها أبـدت قابلـيتها لـصبـغـة أزرـقـ التـلـودـينـ وكانتـ مـحتـويـةـ عـلـىـ حـبـيـاتـ إـفـراـزـيـةـ تـلـوـنـتـ بـالـلـوـنـ الأـرـجـوـانـيـ الـوـرـديـ إـلـاـ أنـ تـلـكـ الـخـلـاـيـاـ كـانـتـ أـصـغـرـ حـجـمـاـ عـنـ الـبـيـنـيـةـ وـنـوـاتـهـاـ مـخـتـافـةـ عـنـ نـوـاـةـ الـبـيـنـيـةـ ولـدـىـ إـجـرـاءـ الـبـحـثـ لـإـيجـادـ تـوضـيـحـ لـهـذـاـ الـأـمـرـ فـقـدـ وـجـدـ أـنـ هـنـاكـ تـشـابـهـ مـاـ بـيـنـ الـخـلـاـيـاـ الـبـيـنـيـةـ وـالـخـلـاـيـاـ الـقـاعـديـةـ الـمـحـبـبةـ إـلـىـ حـدـ كـبـيرـ إـذـ أـنـ كـلـاـهـماـ تـمـكـانـ حـبـيـاتـ إـفـراـزـيـةـ مـنـ الـهـيـسـتـامـينـ وـالـهـيـبـيـارـينـ لـكـنـ الـاـخـتـلـافـ بـيـنـهـمـاـ بـالـنـوـاـةـ إـذـ تـكـوـنـ نـوـاـةـ الـخـلـيـةـ الـقـاعـديـةـ مـفـصـصـةـ بـيـنـمـاـ نـوـاـةـ الـخـلـيـةـ الـبـيـنـيـةـ مـدـوـرـةـ (Franco et al., 2010)، تحـيطـ المـنـطـقـةـ FCـ مـنـ لـغـلـوـبـيـولـيـنـ الـمـنـاعـيـ IgEـ بـالـخـلـاـيـاـ الـبـيـنـيـةـ وـالـخـلـاـيـاـ الـقـاعـديـةـ وـعـنـدـمـاـ تـرـتـبـتـ هـذـهـ الـغـلـوـبـيـولـيـنـاتـ بـمـوـلـدـ الضـدـ تـحـرـضـ الـخـلـاـيـاـ عـلـىـ إـطـلـاقـ الـهـيـسـتـامـينـ وـالـوـسـائـطـ الـاـتـهـابـيـةـ الـأـخـرـىـ،ـ أـدـتـ هـذـهـ التـشـابـهـاتـ إـلـىـ الـاعـتـقـادـ بـأـنـ الـخـلـاـيـاـ الـبـيـنـيـةـ خـلـاـيـاـ قـاعـديـةـ تـسـقـرـ فـيـ النـسـجـ،ـ بـإـلـاضـافـةـ إـلـىـ ذـلـكـ فـقـدـ وـجـدـ سـلـفـ مشـترـكـ بـيـنـ كـلـاـهـيـتـيـنـ فـيـ نـخـاعـ الـعـظـمـ يـعـبرـ عـنـ جـزـيـءـ CD34ـ.



الشكل. (5-1): تلون خلية قاعدية (أزرق) بالقرب من خلية بدينة (أحمر) بصبغة أزرق التلودين حيث تبدو الخلية القاعدية صغيرة وبنواة مفصصة.

لكن اتّضح أنَّ الخلايَّتين تتطوّران من سبل اصطناع دمويَّة مختلفة وبالتالي لا يمكن اعتبار هما خلية واحدة (Franco *et al.*, 2010) حيث تغادر الخلايا القاعدية نخاع العظم بعد نضجها بينما تجول الخلايا البدينة بشكّلها الغير ناضج ولا تنضج حتى تستقر في موقعها النسيجي، من المحتمل أن موقع الخلايا البدينة له دور في تحديد خصائصها الدقيقة، حيث أتَّه قد أجري أول عمليَّة تمَّايز ونمو خلوي للخلايا البدينة ضمن الزُّجاج في المختبر بدءاً من خلايا جذعية فأريَّة ضمن وسط بشروط محددة مشتق من الخلايا الطحالَّية المحرَّضة بكونكافالين A، اكتُشِف لاحقاً أنَّ الإنترلوكين 3 الذي تطلقه الخلايا التائيَّة كان واحداً من المكوّنات الموجودة في الوسط المحضر ضمن شروط نمو وتمَّايز الخلايا البدينة.

الاستنتاجات

Conclusions

6- الاستنتاجات: Conclusions

خلصت هذه الدراسة إلى ما يلي:

1. يُظهر مرض التذيفن الدموي المعوي أعراضًا إكلينيكية قبل النفوق، وقد تم عزل جراثيم المطية الحاطمة من العينات التي أخذت منها وبالتالي يمكن الاعتماد على الأعراض الحقابية والاشتباه بشكل كبير بهذا المرض من خلال هذه الأعراض ويفيد ذلك في اتخاذ إجراءات طبية تخفف من نسبة النفوق ريثما تتم الفحوص المخبرية.
2. كانت الصفات التشريحية المرضية العيائية والنسيجية واضحة وتؤكد الإصابة وقد لوحظت أنها كانت مشتركة في أغلب الحالات والتي تعتبر كمؤشر لتشخيص الإصابة في القطيع ومدى انتشارها.
3. أظهرت ردود الفعل الالتهابية عن وجود الخلايا المناعية إلى جانب الإصابة النسجية في جميع العينات المأخوذة من الحالات المدروسة مع وجود كثيف للخلايا العدلة في أغلب الحالات ما يشير إلى سير المرض الحاد أو فوق الحاد.
4. وجدت الخلايا البدنية بأعداد متزايدة وبحالة نشطة والتي ظهرت كخلايا بحدود زرقاء مشتملة على حبيبات إفرازية وردية اللون في المقاطع النسجية من الأمعاء والكبد والكلى المأخوذة من الأغnam المشتبه.
5. من خلال العمل في هذه الدراسة تأكّدت إصابة الحالات المدروسة من الأغنام النافقة بالتذيفن الدموي المعوي من مراحل التشخيص المختلفة والمتعلقة ابتداءً بالأعراض الإكلينيكية والتشخيص الميكروبيولوجي والصفات التشريحية العيائية والصفات التشريحية المرضية المجهرية ومن ثم مشاهدات ردود الفعل الالتهابية.

النحو والمقترنات

Recommendations & Suggestions

7- التوصيات والمقررات: Recommendations and Suggestions:

1. تحسين رعاية الأغنام الصحية وتجنب إعطاء الأغنام العائق الخسنة والقاسية والمجمدة لتجنب حدوث أذى أو تضرر للأغشية المخاطية للأمعاء والعمل على المحافظة على صحة الأغشية المخاطية والظهارة المبطنة المعاوية بالإضافة للمتممات الغذائية مثل فيتامينات A, C, D₃, E, K وللحد من النزف.
2. من الجيد إجراء دراسة مسحية شاملة لعموم الأغنام النافقة والمشتبه بإصابتها للقطعان الموجودة في مراكز ومحطات الهيئة العامة للبحوث العلمية الزراعية لتحديد الذاري المحلي المسئولة للمرض والعمل على تطوير لفحات خاصة بتلك الذاري المعزولة.
3. تحديد النمط المصلي المسبب للإصابة باستخدام تقنية تفاعل البوليمراز المتسلسل المتعدد PCR وربط كل نوع من الظيفانات الناتجة مع التغيرات التشريحية المرضية العيانية والمجهرية.
4. اعتماد طريقة تشخيصية سريعة بواسطة كيّات سهلة الاستخدام للتشخيص المباشر لنوع النمط المصلي وذلك بعد ربط نوع الظيفان الناتج مع التغيرات التشريحية العيانية والمجهرية.
5. بسبب طبيعة المرض التي تتصف بالشكل الحاد وجد أن المعالجات الدوائية قليلاً ما تكون ناجعة لذا ينصح باستعمال البدائل التي تعزز الصحة العامة وصحة القناة الهضمي والوقاية من حدوث الإصابة بهذا المرض وبعيداً عن الاستخدام الجائر للصيادات الحيوانية وبشكل خاص عندما تكون الفائدة من استخدامها منخفضة أو معدومة ومن هذه البدائل ما يضاف إلى العلف مثل البروبوتينيك والبريبايوتكس والأحماض الدهنية قصيرة السلسلة والمستخلصات النباتية والزيوت الأساسية حيث تعتمد هذه الإضافات على الاستجابة المناعية وتوازن الوسط الغذائي ورفع مقاومة المضيق والحد من فوهة مسببات الأمراض كما يجب تطبيق تدابير الأمان البيولوجي واستراتيجيات الوقاية والعلاج والتحصين للقطعان لحمايتها من هذا المسبب وغيره من المسببات المرضية الأخرى.

المراجع

References

8- المراجع: References

المراجع العربية:

- 1- المكتب المركزي للإحصاء. (2023). فصل السكان، الكتاب الإحصائي السنوي، المجموعة الإحصائية لعام 2022، رئاسة مجلس الوزراء، دمشق، سوريا.
- 2- وزارة الزراعة والإصلاح الزراعي (2023). قسم الإحصاء، مديرية الإحصاء والتخطيط، وزارة الزراعة والإصلاح الزراعي، دمشق، سوريا.
- 3- حمد، محمد علي. (2010). دراسة جرثومية لأ xmax المطئية الحاطمة عند الأغنام في سوريا. رسالة دكتوراه، كلية الطب البيطري، جامعة حماة، (167) صفحة.
- 4- نفس، عمر عبد العزيز. (2018). دراسة التغيرات المرضية الناجمة عن الإصابة بالأمراض نيكاتريكس والمطئية الحاطمة عند أمهات اللحم. رسالة ماجستير، كلية الطب البيطري، جامعة حماة، (80) صفحة.

English References:

1. Aiello, S.E.; and Mays, A., (2000). "Enterotoxemias" In The Merck Veterinary Manual, 8th ed. Whitehouse Station, NJ: Merck and Co. Pp; 445-447.
2. Aitken, I.D. (2007). Diseases of Sheep, 4th ed. Blackwell Publishing Oxford .UK. pp; 158-160.
3. Amimoto, K.; Noro, T.; Oishi, E.; and MiShimizu, M. (2007). A novel toxin homologous to large clostridial cytotoxins found in culture supernatant of *Clostridium perfringens* type C. Microbiology 153: 1198-1206.
4. Bacha, W. J.; and Linda M.B. (2012). Color Atlas of Veterinary Histology. 3rd ed., WILEY -BLACKWELL, (358) Pp.
5. Barth, H.; Aktories, K.; Popoff, M.R.; and Stiles, B.G. (2004). Binary bacterial toxins: biochemistry, biology, and applications of common *Clostridium* and *Bacillus* proteins. Microbiol. Mol. Biol. Rev. 68: 373-402.
6. Bath, G.F.; van Wyk, J.A.; and Petty, K.P. (2005). Control measures for some important and unusual goat diseases in South Africa Small Ruminant Research. 60: 127-140.
7. Brown, C.; Baker, D.C.; and Baker, I.K. (2007) Alimentary System in Jubb, Kennedy and Palmer's: Pathology of domestic animals. 5th Ed. Elsevier Saunders, Philadelphia
8. Buxton, D.; MacLeod, N.S.M.; and Nicolson, T.B. (1981). Focal symmetrical encephalomalacia in young cattle, caused by *Clostridium welchii*. Vet.Rec.108: 459.
9. Cano, R.J.; Tiefenbrunner, F.; Ubaldi, M.; Del Cueto, C.; Luciani, S.; Cox, T.; Orkand, P.; Kunzel, K.H.; and Rollo, F. (2000). Sequence analysis of bacterial DNA in the colon and stomach of the Tyrolean Iceman. Am. J. Phys. Anthropol., 113: 297-309.
10. Chai, T.; Wang, L.; Wang, H.; Duan, H.; Müller, W.; and Zucker, B. A. (2007). Isolation and characterization of *Clostridium perfringens* from apparently healthy animals of the Shandong province of China. Dtsch Tierarztl Wochenschr, 114(10): 394-396.
11. Chandran D. S. S. Naidu, P.; Sugumar, G. S.; Rani, S.P.; Vijayan, D.; Mathur, L. C.; Garg, V. A.; and Srinivasan. (2010). Development of a Recombinant Epsilon Toxoid Vaccine against Enterotoxemia and Its Use as a Combination Vaccine with Live Attenuated Sheep Pox Virus against Enterotoxemia and Sheep Pox. <https://doi.org/10.1128/CVI.00013-10>
12. Collins, M.D.; Lawson, P.A.; Willems, A.; Cordoba, J.J.; Fernandez-Garayzabal,J.; Garcia, P.; Cai, J.; Hippe, H.; and Farrow, J.A. (1994). The phylogeny of the genus *Clostridium* : proposal of five new genera and eleven new species combinations. International Journal of Systematic Bacteriology 44, 812-26.

13. Cooper, K.K.; and Songer, J.G. (2009). Necrotic enteritis in chickens: A paradigm of enteric infection by *Clostridium perfringens* type A. *Anaerobe*, 15: 55-60.
14. Crookham, J.; and Dapson, R.; Hazardous Chemicals in the Histopathology Laboratory, 2nd Ed, '991, Anatech.
15. Da Silva, E. Z.; Jamur, M. C.; and Oliver, C. (2014). "Mast cell function: a new vision of an old cell". *J. Histochem. Cytochem.* 738-698: 10. DOI:10.1369/0022155414545334. PMC:4230976. PMID:25062998. Davis, R., Oakley, R.G., Free, M., Miller, C., and Rivera, R., (1980). Prophylaxis de la enteritis necrotica con la virginiamicina, P. 117-119.
16. Dadhich, H.; Mathur, M.; Rani, S.; Boyal, P.K.; and MehAbstract, M. (2021). Pathological study of kidneys in *Clostridium perfringens* type D enterotoxemia in sheep Renu. In *Journal of Entomology and Zoology Studies* 2021; 9(2): 1395-1397
17. Dafwang, I.I.; Ricke, S.C.; Schaefer, D.M.; Brotz, P.G.; Sunde, M.L.; and Pringle, D.J. (1987). Evaluation of some commercial media for the cultivation and enumeration of *Clostridium perfringens* from the chick intestine. *Poult. Sci.* 66: 652-658.
18. De Bosschere, H.; and Deloose, S. (2009). Mast cell leukemia in dog. *Vlaams Diergeeskundig Tijdschrift*. Jan 2009, 78(1), 49-52.
19. Debeltak, Z.; Plavise, Z.; and Zarkovic, A. (1991). Vaccination Schedules to Raise Antibody Concentrations Against ϵ -Toxin of *Clostridium perfringens* in Ewes and Their Triplet Lambs. *J. Amin. Sci.* 75: 2328-2334.
20. Dhillon, A.S.; Roy, P.; Lauerman, L.; Schaberg, D.; Weber, S.; and Bandli, D. (2004). High mortality in egg layers as a result of necrotic enteritis. *Avian Dis.* 48:675–680.
21. Dohoo, I.R., Curtis, R.A., and Finaley, G.G., (1985). A Survey of Sheep Diseases in Canada. *Can J Comp Med*; 49: 239-247.
22. Dorca-Arévalo, J.I.; and Gómez de Aranda, J. B. (2022). New Mutants of Epsilon Toxin from *Clostridium perfringens* with an Altered Receptor-Binding Site and Cell-Type Specificity. <https://www.mdpi.com/journal/toxins> 2022,14 ,288.
23. Duchesne's, C.; Granum, P.E.; Menozzi, M.G.; Peck, M.; Pelkonen, S.; Popoff, M.; Stackebrandt, E.; and Titball, R. (2006). European Commission-European Concerted Action QLK2-CT2001-01267: Clostridia in medical, veterinary and food microbiology Diagnosis and typing Key Action 2 – Control of infectious diseases EUR 21463 EN.
24. Ehrlich, P. (1878). "Beiträge zur Theorie und Praxis der Histologischen Färbung". Leipzig University.
25. EL-Idrissi, A. H.; and Ward, G. E., (1992). Evaluation of enzymelinked immunosorbent assay for diagnosis of *Clostridium perfringens* enterotoxemias. *Vet. Microbiol.* 31: 89-99.
26. Finnie, J. W.; Navarro, M. A.; and Uzal, F. A. (2020). Pathogenesis and diagnostic features of brain and ophthalmic damage produced by *Clostridium perfringens* type D epsilon toxin. <https://orcid.org/0000-0003-0681-1878>.
27. Finnie, J.W.; Blumbergs, P.C.; and Manavis, J. (1999). Neuronal damage produced in rat brains by *Clostridium perfringens* type D epsilon toxin. *J Comp Pathol.* 120(4):415-20.
28. Fleming, S. (1985). Enterotoxemia in neonatal calves. *Vet. Clin. North Am. Food Anim. Pract.* 1: 509-514.
29. Franco, C. B.; Chen, C. C.; Drukker, M.; Weissman, I. L.; and Galli, S. J. (2010). "Distinguishing mast cell and granulocyte differentiation at the single-cell level". *Cell Stem Cell.* 8-361 :4.

. DOI:[10.1016/j.stem.2010.02.013](https://doi.org/10.1016/j.stem.2010.02.013). PMC:2852254. PMID:20362540.

30. Garcia, J.P.; Adams, V.; Beingesser, J.; Hughes, M.L.; Poon, R.; Lyras, D.; Hill, A.; McClane, B.A.; Rood, J.I.; and Uzal, F.A. (2013). Epsilon Toxin Is Essential for the Virulence of *Clostridium perfringens* Type D Infection in Sheep, Goats, and Mice. RCJF. 2017.
31. Giannitti, F.; Garcia, J.I.; Rood, J.I.; Adams, V.; Armendano, J.I.; Beingesser, J.; and Uzal, F.A. (2021). Cardiopulmonary Lesions in Sheep Produced by Experimental Acute *Clostridium perfringens* Type D Enterotoxemia. In Veterinary Pathology: 2020, Vol. 58(1) 103-113, 2021.
32. Gohari, I. M.; Navarro, M.A.; Li, J.; Shrestha, A.; Uzal, F.A.; and McClane, B.A. (2021) Pathogenicity and virulence of *Clostridium perfringens*. Virulence. 2021 12; 12(1):723-753. PMID: 33843463; PMCID: [PMC8043184](https://doi.org/10.1101/2021.01.11.523184).
33. Gohari, I.M.; Li, J.; Rood, J.I.; and McClane, B.A. (2022). Reevaluation of whether a Functional Agr-like Quorum-Sensing System Is Necessary for Production of Wild-Type Levels of Epsilon-Toxin by *Clostridium perfringens* Type D Strains. (https://doi.org/10.1128/mBio.00275_21).
34. Gökce, H.I.; Genç, O.; Sözmen, M.; and Gökçe, G. (2007): Determination of *Clostridium* Perf-ringens Toxin-Types in Sheep with Suspected Enterotoxemia in Kars Province, Turkey. Turk J Vet Anim Sci. 31(5): 355-360.
35. Greco, G.; Madio, A.; Buonavoglia, D.; Totaro, M.; Corrente, M.; Martella, V.; and Buonavoglia, C. (2005). *Clostridium perfringens* toxin-types in lambs and kids affected with gastroenteric pathologies in Italy. Vet. J., 170: 346-350.
36. Hassanein. K. M. A.; Sayed M. M.; and Hassan A. M. (2017). Pathological and biochemical studies on enterotoxemia in sheep. In Comp Clin Pathol (2017) 26:513–518.
37. Hayati, M.; and Tahamtan, Y. (2020). Short Communication Toxin typing of *Clostridium perfringens* Associated with Enterotoxaemia in Sheep in Fars Province. Archives of Razi Institute, Vol. 76, No. 3 (2021) 691-697.
38. Hussein, H.A.; El-Amir, Y.O.; Aemer, A.A.; and Abd Elghaffar, S.K. (2013). Bacillary hemoglobinuria in dairy cows: clinical, hematological, biochemical, and pathological alterations. Comp Clin Pathol 22:1137–1143.
39. Johansson, A. (2006). *Clostridium perfringens* the causal agent of necrotic enteritis in poultry Doctor's dissertation. ISSN 1652-6880, ISBN 91-576-7083-8.
40. Jost, B.H.; Billington, S.J.; Trinh, H.T.; Bueschel, D.M.; and Songer, J.G. (2005). Atypical cpb2 genes, encoding beta2-toxin in *Clostridium perfringens* isolates of nonporcine origin. Infection and Immunity 73, 652-62. McClane, B.A., 2001. The complex interactions between *Clostridium perfringens* enterotoxin and epithelial tight junctions. Toxicon 39, 1781-91.
41. Jubb, K.V.F.; Kennedy, P.C.; and Palmer, N. (1993). Pathology of domestic animals, vol. 2, 4th ed. Academic Press, London. Pp; 314-315.
42. Kalender, H.; Ongor, H.; Timurkaan, N.; Karagulle, B.; Karabulut, B.; and Lncili, C.A. (2023). Detection and molecular characterization of *Clostridium perfringens*, *PaeniClostridium sordellii* and *Clostridium septicum* from lambs and goat kids with hemorrhagic abomasitis in Turkey. (<https://www.ncbi.nlm.nih.gov/pmc/articles/PMC9780333/>). (2022/16).
43. Kiu, R.; Price, C.A.; Bedwell, H.; Dreger, S.A.; Fowler, W.J.; Cornwell, E.; Pickard, D.; Belteki, G.; Malsom, J.; Phillips, S.; Young, G.R.; Schofield, Z.; Alcon-Giner, C.;

- Berrington, G.E.; Stewart, C.J.; Dougan, G.; Clarke, P.; Douce, G.; Robinson, C.D.; Kroll, J.S.; and Hall, L.J. (2023). Particular genomic and virulence traitassociated with preterm infant-derivedtoxigenic *Clostridium perfringens* strains. <https://doi.org/10.1038/s41564-023-01385-z>
44. Koneman, E. W.; Allen, S. D.; Dowell, V. R.; Janda, W.M.; Sommers, H. M.; and Winn, W. C. (1988). Color Atlas of Diagnostic Microbiology. 3rd ed., Lippincott Company.
 45. Kubo, M.; and Watase, H. (1985). Electron microscopy of *Clostridium perfringens* in the intestine of neonatal pigs with necrotic enteritis. Jpn. J. Vet.Sci. 47: 497-501.
 46. Lee, K.W.; and Lillehoj, H.S. (2021). Role of *Clostridium perfringens* Necrotic Enteritis B-like Toxinin Disease Pathogenesis. (CC BY) (<https://creativecommons.org/licenses/by/4.0/>).
 47. Leite-Browning, M. L. (2008). Enterotoxemia (Overeating Disease) in Sheep and Goats. The Alabama Cooperative Extension System (Alabama AandM University and Auburn University).
 48. Luna, L.G. (1968). Manual of histological stannng methods of the Armed Forces Institute of Pathology. 3rd ed. The Blakiston Division, McGraw-Hill Book Company, New York. 258p
 49. Mahmoud, B.S. (1991). Isolation and Identification of Clostridia among apparently healthy slaughtered Sheep and Goats. M. V. Sc. Thesis; Facul. Vet. Med. Cairo Univ. Egypt. Pp; 12-13.
 50. Manday, J.S.; Bentall, H.; Aberdein, D.; Navarro, M.; Uzal, F.A.; and Brown, S. (2020). Death of a neonatal lamb due to *Clostridium perfringens* type B in New Zealand. N Z Vet J. 2020 Jul; 68(4):242-246 PMID: 31852382.
 51. Malone, F. (2004). Clostridial Diseases of Cattle and sheep. Text of a paper presented at the annual meeting of the Association of Veterinary Surgeons Practising in Northern Ireland, Enniskillen.
 52. Manavis, J.; Blumbergs, P.; Jerrett, I.; Hanshaw, D.; Uzal, F.A.; and Finnie, J. (2022). Heterogeneous immunoreactivity of axonal spheroids in focal symmetrical encephalomalacia produced by *Clostridium perfringens* type D epsilon toxin in sheep. Vet Pathol. 2022 03; 59(2):328-332. PMID: 34872408.0
 53. Mander, K.A.; Uzal, F.A.; Williams, R.; and Finnie, J.W. (2020). *Clostridium perfringens* type D epsilon toxin produces a rapid and dose-dependent cytotoxic effect on cerebral microvascular endothelial cells in vitro. In Journal of Veterinary Diagnostic Investigation 2020, Vol. 32(2) 277–281.
 54. McClane, B.A. (2001). The complex interactions between *Clostridium perfringens* enterotoxin and epithelial tight junctions. Toxicon 39, 1781-91.
 55. McClane, B.A.; Lyerly, D.M.; Moncrief, J.S.; and Wilkins, T.D. (2000). Enterotoxic clostridia: *Clostridium perfringens* type A and *Clostridium difficile*, p. 551-562. In V. A. Fischetti, R. P. Novick, F. J. J., A. D. Portnoy, and J. I. Rood (ed), Gram-positive pathogens. ASM Press, Washington, D. C.
 56. McDonel, J.L. (1986). Toxins of *Clostridium perfrinens* types A, B, C, D, and E, p. 477-517. In F. Dorner and J. Drwes (ed.), Pharmacology of bacterial toxins. Pergamon Press, Oxford.
 57. McGinley, S. (1998). New ways to type a deadly bacteria. Online [htt: // ag. arizona. edu/pubs/general/ resrpt1998/ Clostridium . Htm1](http://ag.arizona.edu/pubs/general/resrpt1998/Clostridium.htm1).

58. Michaloudi, H.C.; and Papadopoulos, G.C. (1999). Mast cells in the sheep, hedgehog and rat forebrain. In *Veterinary School, Aristotle University of Thessaloniki, 54006 Thessaloniki, Greece*. (1999)
59. Mohiuddin, M.; Iqbal, Z.; Siddique, A.; Liao, S.; Salamat, M.KF.; Qi, N.; Mohiud Din, A.; and Sun, M. (2020). Feces of Sheep (*Ovis aries*) and Goats (*Capra hircus*) in Punjab, Pakistan. /toxins12100657 www.mdpi.com/journal/toxins2020, 12, 657 -142.
60. Moonn, T. C.; Befuus, A. D.; and Kulka, M. (2014). "Mast cell mediators: their differential. 569: 5. Release and the secretory pathways involved". *Front Immunol.* DOI: 10.3389/fimmu. (2014). 00569. PMC: 4231949. PMID: 25452755.
61. Navarro, M.A.; and Uzal, F.A. (2020). Pathobiology and diagnosis of clostridial hepatitis in animals. *J. Vet Diagn Invest.* 2020 Mar.; 32(2):192-202. PMID: 31735127; PMCID: [PMC7081508](#)
62. Nazki, S.S.; Wani, A.; Parveen, R.; Ahangar, S.A.; Kashoo, Z.A.; Hamid, S.; Dar, Z.A.; Dar, T.A.; and Dar, P.A. (2021). Isolation, molecular characterization and prevalence of *Clostridium perfringens* in sheep and goats of Kashmir Himalayas, India. (<http://creativecommons.org/licenses/by/4.0/>)
63. Niilo, L. (1988). Haemolytic patterns for presumptive identification of *Clostridium perfringens* type C. *Vet. Rec.* 122: 281.
64. Özcan, C.; and Gürçay, M. (2000). Enterotoxemia incidence in small ruminant in Elazig and surrounding provinces in 1994-1998. *Turk J Vet Anim Scin*; 24: 283-286.
65. Paul, W.E. (2008). editor. *Fundamental Immunology*. 6th ed. Philadelphia, PA: Lippincott Williams and Wilkins; 2008. pp. 22–23.
66. Popoff, M.R. (1984). Bacteriological examination in enterotoxaemia of sheep and lamb. *Vet. Rec.* 114: 324.
67. Popoff, M.R.; Rubin, E.J.; Gill, D.M.; and Boquet, P. (1988). Actin-specific ADP-ribosyltransferase produced by a *Clostridium difficile* strain. *Infect. Immun.* 56: 2299-2306.
68. Quinn, P.J., Markey, B.K., Carter, M.E., Donnelly, W.J.C., Leonard, F.C., (2003). Veterinary Microbiology and Microbial Diseases. Blackwell publishing Company .USA.Pp.84-96.
69. Quinn, P.J.; Carter, M.E.; Markey, B.; and Carter, G.R., (2004). Clinical Veterinary Microbiology 6th ed. Mosby. Edinburgh, Newyork. Pp. 191-208.
70. Rajic, A.; Latinovic, V.; and Bajalo, N. (1992). Antibiotic sensitivity of *Clostridium perfringens* strains from the liver of clinically healthy animals, emergency slaughtered animals, and dead animals. *Vet. Glas.* 46: 79-83.
71. Russell, W.C. (1987). Type A enterotoxaemia in captive wild goats. *J. Am. Vet. Med. Assoc.* 157: 643-646.
72. Senthilkumar, V.; Thirunavukkarasu, M.; and Kathiravan, G. (2008). Economic losses due to enterotoxaemia in sheep. *Indian J.Sci. Techol.* 1(6): 1-3.
73. Shahna, F.W.; Al Hakeem, G.H.; Shanmugasundaram, R.; and Selvaraj, R.K. (2022). Necrotic Enteritis in Broiler Chickens: A Review on the Pathogen, Pathogenesis, and Prevention. selvaraj@uga.edu.
74. Sheehan, D.; and Hrapchak, B. (1980). Theory and practice of Histotechnology, 2nd Ed, 1980, pp282, Battelle Press, Ohio.
75. Shimizu, T.; Ohtani, K.; Hirakawa, H.; Ohshima, K.; Yamashita, A.; Shiba, T.; Ogasawara, N.; Hattori, M.; Kuhara, S.; and Hayashi, H. (2002). Complete genome

- sequence of *Clostridium perfringens*, an anaerobic flesh-eater. Proceedings of the National Academy of Sciences of the United States of America 99, 996-1001.
76. Simpson, K.M.; Callan, R.G.; and Van Meter, D.C. (2017). Abomasitis Enteritis by *Clostridium perfringens* in ruminants. <https://doi.org/10.1016/j.cvfa.2017. katie.simpson@colostate.edu>
77. Smedley, J.G.; Fisher, D.J.; Sayeed, S.; Chakrabarti, G.; and McClane, B.A. (2004). The enteric toxins of *Clostridium perfringens*. Rev Physiol Biochem Pharmacol: 152: 183-204.
78. Songer, G. (1997). Clostridial diseases of animals. In The Clostridia – molecular biology and pathogenesis. Edited by J.I. Rood, B.A. McClane, G. Songer and R.W. Titball. Academic Press. San Diego. 153 - 182. pp.
79. Songer, J.G. (1995). Diagnosis of Clostridial infections of domestic animals, p.9. International Conference on the Molecular Genetics and Pathogenesis of the Clostridia, 1995.
80. Songer, J.G. (1996). Clostridial Enteric Diseases of Domestic Animals. Clinical Microbiology Reviewos.9(2): 216-234.
81. Songer, J.G. (1999). *Clostridium perfringens* type A infection in cattle. Proc Am Assoc Bov Prac; pp 40-44.
82. Songer, J.G. (2006). Clostridial abomasitis in: Duchesne, C., Granum, P.E., Menozzi, M.G., Peck, M., Pelkonen, S., Popof, M., Stackebrandt, E., and Titball R. European Commissin-European Concerted Action QLK 2-CT2001-01267: Clostridia in medical, veterinary and food micro-biology Diagnosis and typing Key Action 2-Control of infect. Dis. EUR 21463 EN.
83. Songer, J.G.; Carlton, L.; Gyles, C.L.; John, F.; Prescott, J.F.; Songer, J.G.; and Thoen, C. O. (2004). Enter Clostridia. In: Pathogenesis of practerial infections in Animals.3rd ed. Blackwell Publishing. Iowa. Pp; 132-134.
84. Stackebrandt, E.; and Rainey, F.A. (1997). Phylogenetic relationships. In The Clostridia - molecular biology and pathogenesis. Edited by J.I. Rood, B. A. McClane, G. Songer and R.W. Titball. Academic Press. San Diego.
85. Stackebrandt, E.; Kramer, I.; Swiderski, J.; and Hippe, H. (1999). Phylogenetic basis for a taxonomic dissection of the genus *Clostridium* . FEMS Immunology and Medical Microbiology 24, 253-8.
86. Stutz, M.W.; Johnson, S.L.; and Judith, F.R. (1983a). Effects of diet and bacitracin on growth, feed efficiency, and populations of *Clostridium perfringens* in the intestine of broiler chicks. Poult. Sci. 62: 1619-1625.
87. Thompson, A.; Hinton, J.C.; and Van Immerseel, F. (2006). Butyrate specifically down – regulates Salmonella pathogenicity island I gene expression. *Applied and Environmental Microbiology*, 72, 946-949.
88. Timoney, J.F.; Gillespie, J.H.; Scott, F.W.; and Barlough, J.E. (1988). Hagan and Bruner`s microbiology and infectious diseases of domestic animals. Comstock Publishing Associates, Ithaca, N.Y.Pp; 221-223.
89. Titbal, R.; Mainil, J.; Duchesne` s, C.; and Popoff, M. (2003). Protein toxins of the genus *Clostridium* and vaccination. In : Genus *Clostridium* ([http:// www. Genus-Clostridium .net](http://www. Genus-Clostridium .net)).
90. Tooloei, M.; and Masodei, M. H. (2008). The distribution and prevalence rate of enterotoxemia in sheep in east Azerbaijan province, Northwestern Iran in spring. 2008. J of Animal and Veterinary Advances; 7(11): 1434- 1439.

91. Uzal, F.A.; and Giannitti, J. (2022). Asin. Yellow Lamb Disease (*Clostridium perfringens* Type A Enterotoxemia of Sheep): A Review. *Animals* (Basel). 2022 Jun 20; 12(12). PMID: 35739925; PMCID: [PMC9219707](#).
92. Uzal, F.A.; and Songer, J.G. (2008). Diagnosis of *Clostridium perfringens* Intestinal Infections in Sheep and Goats. *Journal of Veterinary Diagnostic Investigation* 2008; 20:253-265.
93. Uzal, F.A.; Kelly, W.R.; Morris, W.E.; Bermudez, J.; and Baison, M. (2004). The pathology of peracute experimental *Clostridium perfringens* type D enterotoxemia in sheep. *J. Vet. Diagn. Invest.* 16:403-411.
94. Uzal, F.A.; Navarro, M.E.; Li, J.J.; Freedman, J.C.; Shrestha, A.; and McClane, B.A. (2019). Comparative pathogenesis of enteric clostridial infections in humans and animals. *Anaerobe*. 2018 October; 53: 11–20. doi: 10.1016/j.anaerobe.2018.06.002.
95. Van Kruiningen, H.J.; Nyaoke, C.A.; Sidor, I.F.; Fabis, J.J.; and Hinckley, L.S. (2009). Clostridial abomasal disease in Connecticut dairy calves. *Can Vet J* 2009; 50:857–860
96. Van Metre, D.C. (2006). Clostridial Infections of the Ruminant GI Tract. In: NAVC Proceedings, North American Veterinary Conference PublisheR: NAVC (www.tnavc.org).Internet PublisheR: International Veterinary Information Service, Ithaca NY(www.ivis.org).
97. Van-Khanh, N.; Bourges, N.; Concordet, D.; and Dorchies, P. (1995). Mastocytes et éosinophiles de la muqueuse respiratoire du mouton infesté par *Oestrus ovis* (linné, 1995).
98. Verherstraeten, S.; Goossens, E.; Valgaeren, B.; Pardon, B.; Timbermont, L.; Vermeulen, K.; Schauvliege, Haesebrouck, F.; Ducatelle, R.; Deprez, P.; and Van Immerseel, F. (2023). The synergistic necrohemorrhagic action of *Clostridium perfringens* perfringolysin and alpha toxin in the bovine intestine and against bovine endothelial cell.
99. Wang, X.; Huang, X.; Yang, Q.; Yan, Z.; Wang, P.; Gao, X.; Luo,; and Guo, S. (2022). TMT labeled comparative proteomic analysis reveals spleen active immune responses during *Clostridium perfringens* type C infected piglet diarrhea. DOI 10.7717/peerj.13006-16.
100. Wastling, J.M.; Knight Ure, J.; Wright, S.; Thornton, E.M.; Scudamore, C.; Mason, J.; Smith, A.; and Miller, H.R.P. (1998). Histochemical and Ultrastructural modification of Mucosal Mast Cell Granules in Parasitized Mice Lacking the b-Chymase, Mouse Mast Cell Protease-1. In American Society for Investigative Pathology. 1998. 153 |2|.
101. Younan, M.; Both, H.; and Muller, W. (1994). Frequency of *Clostridium perfringens* types in Jordanian sheep. *Zentralblatt fur Bakteriologie*; 281: 240-247

المُلْخَصُ بِالْلُّغَةِ الإِنْجْلِيزِيَّةِ

ABSTRACT

Histopathological Changes Resulting from Enterotoxemia Caused by *Clostridium Perfringens* in Awassi Sheep

Abstract

Enterotoxemia caused by *Clostridium Perfringens* disease is one of the most important infectious diseases affecting sheep flocks, especially Awassi sheep in Syria. It causes huge economic losses resulting from sudden death of sheep and high costs of prevention and control. Hence, this research aimed to study the macroscopic and microscopic pathological changes and inflammatory reactions resulting from infection with *Clostridium perfringens* in the Awassi sheep.

Samples were collected from (16) sheep that died suddenly from improved breeding flocks at the Agricultural Scientific Research Center in Hama within a semi-intensive breeding system in semi-open pens. The study was completed at Hama University - Faculty of Veterinary Medicine.

Clostridium perfringens bacteria were isolated and identified from all samples were taken from death sheep. The studied cases of sheep showed clinical symptoms, the most important of which were nervous convulsions, recumbency on the ground, and pushing the legs forward and the head backward. The most important macroscopic pathological changes were observed, the most important microscopic of which were hemorrhagic and fibrinous necrotic enteritis, gallbladder filling and congestion of internal organs. Bleeding was observed in the liver, kidney, heart and other organs. The liver and kidney were pale and fragile, and serous to bloody fluids were observed in the body cavities in most cases. The kidney was found dark, pulpy, pasty (pulpy kidney) in some cases. Microscopic pathological changes were recorded in the intestine, liver and kidney, where erosion was found in the tissue layers of the intestine, vascular degeneration and protein degeneration in the cells of the studied tissues, as well as necrosis in the lining of the renal tubules. In the histological sections of the liver, congestion was found in the hepatic sinusoids and central veins, and hemorrhage in some cases. In all samples, there was the infiltration of severe inflammatory cells dominated by neutrophils, in addition to the presence of some macrophages in some cases, some granulocytes in some cases, and some lymphocytes in others. various

inflammatory cells were also observed under the renal capsule, degeneration and necrosis in the renal tubules and glomerulonephritis, a presence of neutrophils, and inflammation in the renal interstitial tissue with clusters of inflammatory cells of neutrophils, eosinophils, lymphocytes, macrophages. In the liver tissue, degeneration and necrosis were found in the liver, the presence of neutrophils and granulocytes in some cases, and the neutrophils were accompanied by hepatic macrophage Kupffer cells in others, and in addition presence of neutrophils in the hepatic sinusoids and some granulocytes in others, and degeneration with the presence of inflammatory cells dominated by neutrophils with some eosinophils and macrophages was observed in others. An increase in mast cells was observed in the histological sections from the intestine, liver, kidney.

These results demonstrate the importance of studying the pathological changes in diagnosis, in addition to conducting a bacterial examination to confirm the identity of the cause and observing the symptoms that appear before death.

Keywords: pathological changes, Inflammatory Reactions, Mast Cells, Awassi sheep, Interotoxemia, *Clostridium perfringens*.

Syrian Arab Republic
Hama University
Faculty of Veterinary Medicine
Department of Pathology



Histopathological Changes Resulting from Enterotoxemia Caused by *Clostridium perfringens* in Awassi Sheep

Thesis submitted for Master degree (M.Sc.)
in veterinary medicine (Pathology)

Presented by Postgraduate student
Lolo Ghaleb Shaira

General Commission for Scientific Agricultural Research, Hama
Center (GCSAR)

Under Supervision

Dr. Wasef Al Wassouf
(Scientific Supervisor)
Assistant Professor in the Department of
Pathological Anatomy
Faculty of Veterinary Medicine -
Hama University

Dr. Ashraf AL-Saleh
(Co-Supervisor)
Lecturer in the Department of
Microbiology
Faculty of Veterinary Medicine
Hama University